

انورستم های مابۀ سریع DFT : حجم می بانی کمتر یا سرعت مابۀ بالاتر

computational complexity  
Burden

- ✓ Goertzel
- Winograd
- ✓ chirp

مبنی بر 6 نوکوشن

← انورستم های مابۀ DFT

⇒ Decimation in Time

← ساختارهای FFT

⇒ Decimation in Frequency

Fast Fourier Transform

تبدیل فوریۀ سریع

$M$  تا مولفۀ  $X[k]$  رابۀ دست دوم

$N$  تا مولفۀ  $x[n]$  دارم ←

کفین :

9.1: میسب متقیم DFT:

رابطه آنایز

$$X[k] = \sum_{n=0}^{N-1} x[n] W_N^{nk}$$

,  $k=0, 1, \dots, N-1$

$$W_N = e^{-j\left(\frac{2\pi}{N}\right)}$$

رابطه سنتر

$$x[n] = \frac{1}{N} \sum_{k=0}^{N-1} X[k] W_N^{-nk}$$

نکته: حجم میسب DFT نیز با حجم میسب DFT برابر است  $(O(N^2))$

$$X[k] = x[0]W_N^0 + x[1]W_N^k + x[2]W_N^{2k} + \dots + x[N-1]W_N^{k(N-1)}$$

ضرب نموده  
جمع نموده

$N$  تا ضرب نموده  
 $N-1$  تا جمع نموده  
برای هر  $X[k]$

$$\frac{2N+2N-2}{4N-2}$$

۴ ضرب حقیقی  
۲ جمع حقیقی  
هر ضرب نموده

$N^2$  ضرب نموده  
 $N(N-1)$  جمع نموده  
برای کل  $X[k]$   $N$  تا

$4N^2$  ضرب حقیقی  
 $N(4N-2)$  جمع حقیقی

$$z_1 z_2 = (x_1 + jy_1)(x_2 + jy_2)$$

$$= \underbrace{x_1 x_2 - y_1 y_2}_x + j \underbrace{(x_1 y_2 + x_2 y_1)}_x$$

۲ جمع حقیقی  
۲ جمع حقیقی

$$x_1 + jy_1 + x_2 + jy_2$$

بسیار مقایسه: از مرتبه  $N^2$  order  $O(N^2)$

# 9.2 Decimation in Time روش FFT

فرض:  $N = 2^V$

(برای  $N = 2, 4, 8, 16, 32, \dots$ )

$$W_N = e^{-j2\pi \frac{r}{N}}$$

$$X[k] = \sum_{n=0}^{N-1} x[n] W_N^{nk}$$

$$= \sum_{n=0}^{N-1} x[n] W_N^{nk} + \sum_{n=N}^{N-1} x[n] W_N^{nk}$$

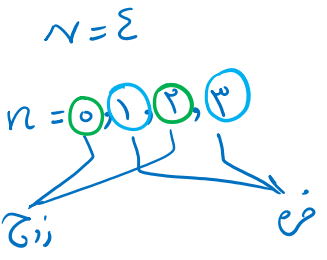
$$= \sum_{r=0}^{\frac{N}{2}-1} x[2r] W_N^{rk} + \sum_{r=0}^{\frac{N}{2}-1} x[2r+1] W_N^{(2r+1)k}$$

$$= \sum_{r=0}^{\frac{N}{2}-1} x[2r] (W_N^2)^{rk} + W_N^k \sum_{r=0}^{\frac{N}{2}-1} x[2r+1] (W_N^2)^{rk}$$

$$= \sum_{r=0}^{\frac{N}{2}-1} x[2r] W_{\frac{N}{2}}^{rk} + W_N^k \sum_{r=0}^{\frac{N}{2}-1} x[2r+1] W_{\frac{N}{2}}^{rk} = G[k] + W_N^k H[k]$$

$\frac{N}{2}$  DFT نقطه ای از مولفه های فرد  $x[n]$

$\frac{N}{2}$  DFT نقطه ای از مولفه های زوج  $x[n]$

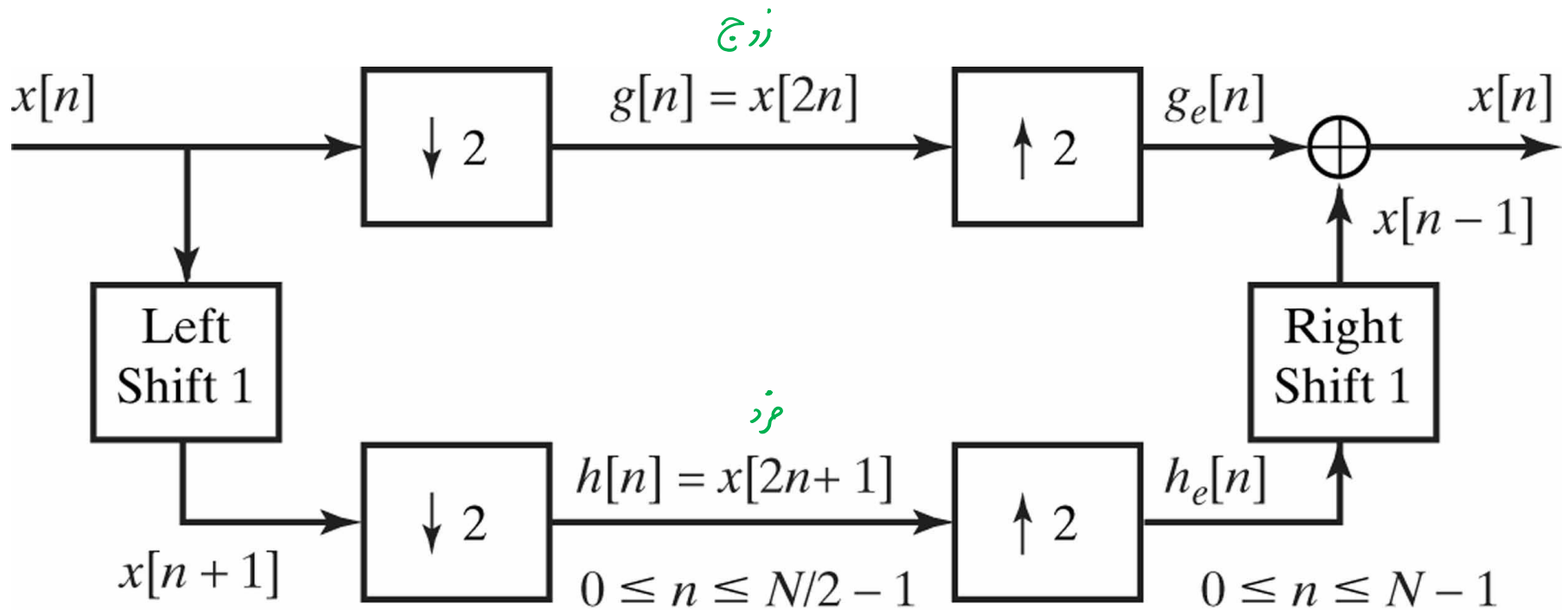


$n \rightarrow 2r$   
 $r = 0, \dots, \frac{N}{2}-1$   
 $r = 0, 1, \dots, \frac{N}{2}-1$

$$W_N^{2r} = (e^{-j2\pi \frac{r}{N}})^2 = e^{-j2\pi \frac{r}{N/2}} = W_{\frac{N}{2}}^r$$

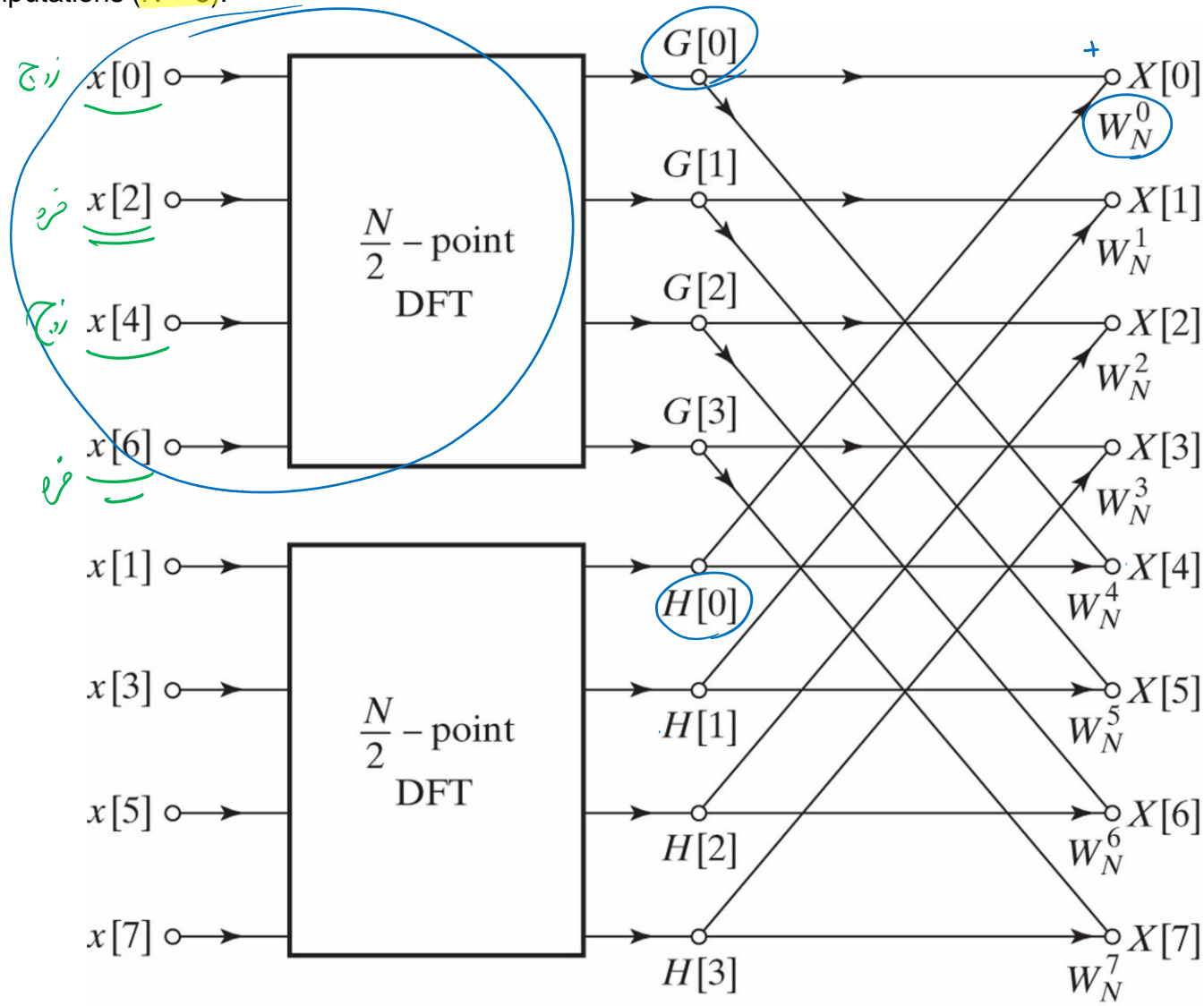
$\frac{N}{2}$  ها: دس ۱۲۰ این ب کون

**Figure 9.3** Illustration of the basic principle of decimation-in-time.





**Figure 9.4** Flow graph of the decimation-in-time decomposition of an  $N$ -point DFT computation into two  $(N/2)$ -point DFT computations ( $N=8$ ).

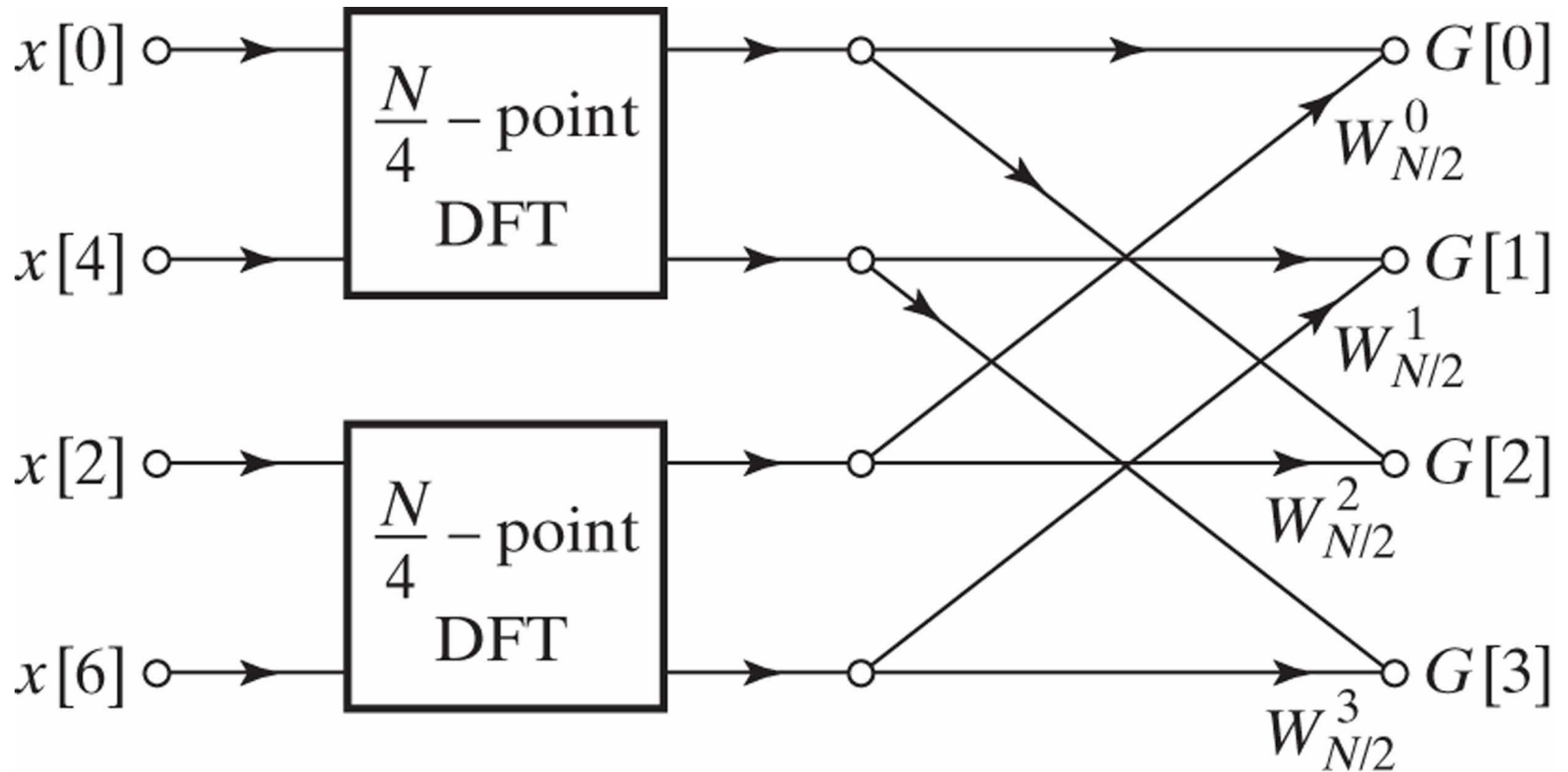


زوج  
 زوج  
 زوج  
 زوج  
 اعداد زوجي

$$= G[4] + W_N^4 H[4]$$

$$\begin{matrix} G[0] & H[0] \end{matrix}$$

**Figure 9.5** Flow graph of the decimation-in-time decomposition of an  $(N/2)$ -point DFT computation into two  $(N/4)$ -point DFT computations ( $N = 8$ ).



**Figure 9.6** Result of substituting the structure of Figure 9.5 into Figure 9.4.

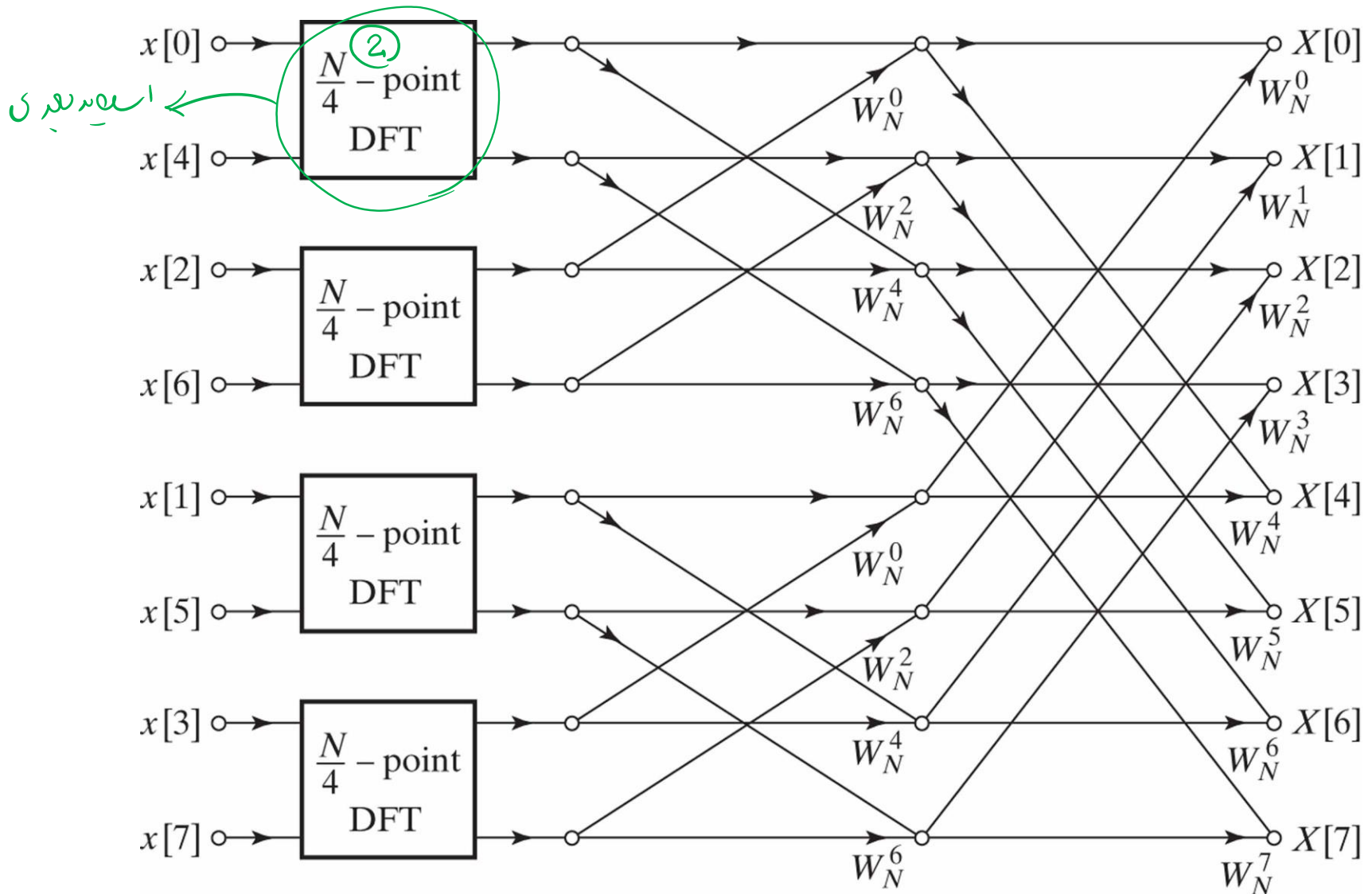


Figure 9.7 Flow graph of a 2-point DFT.

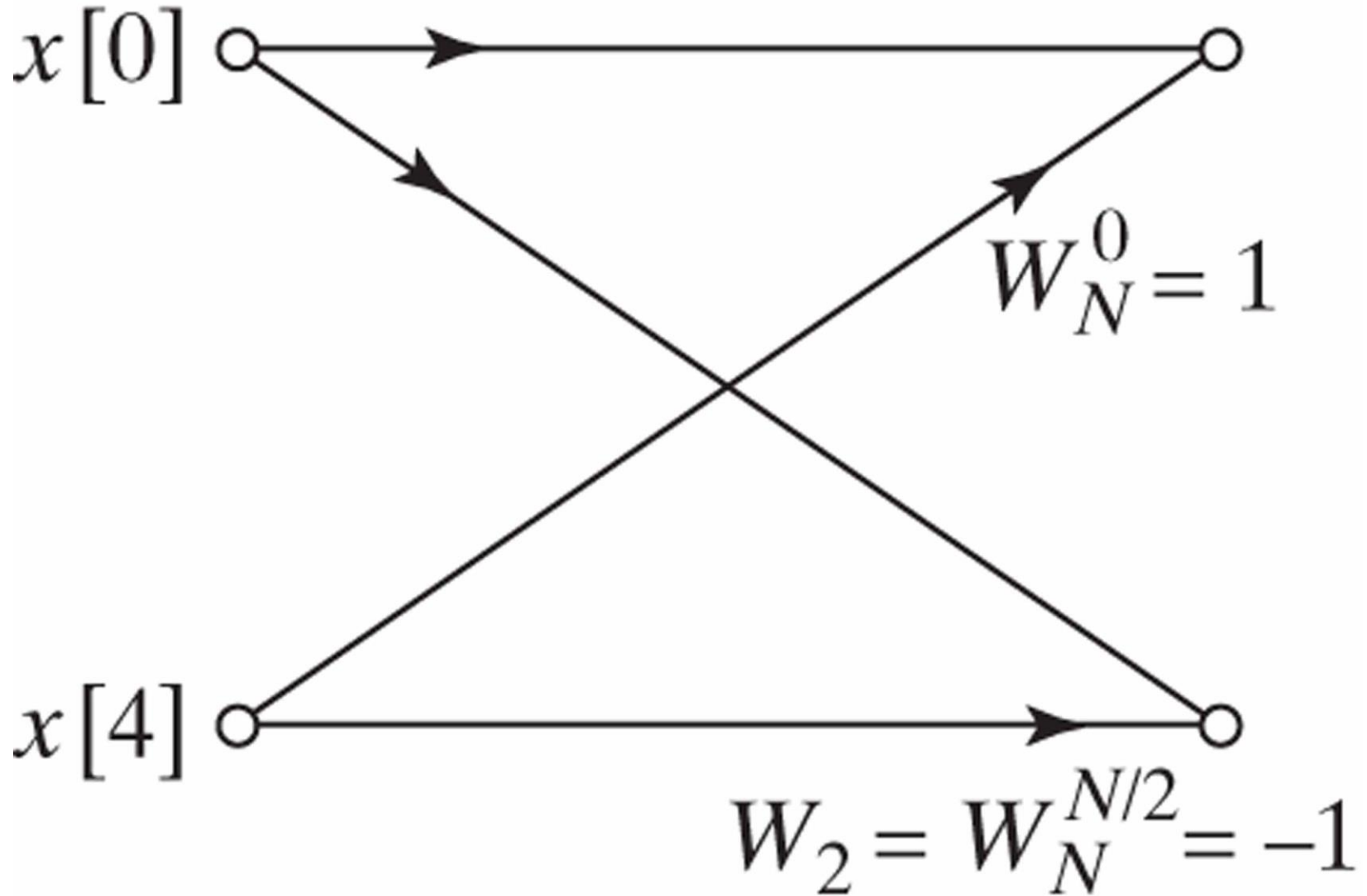
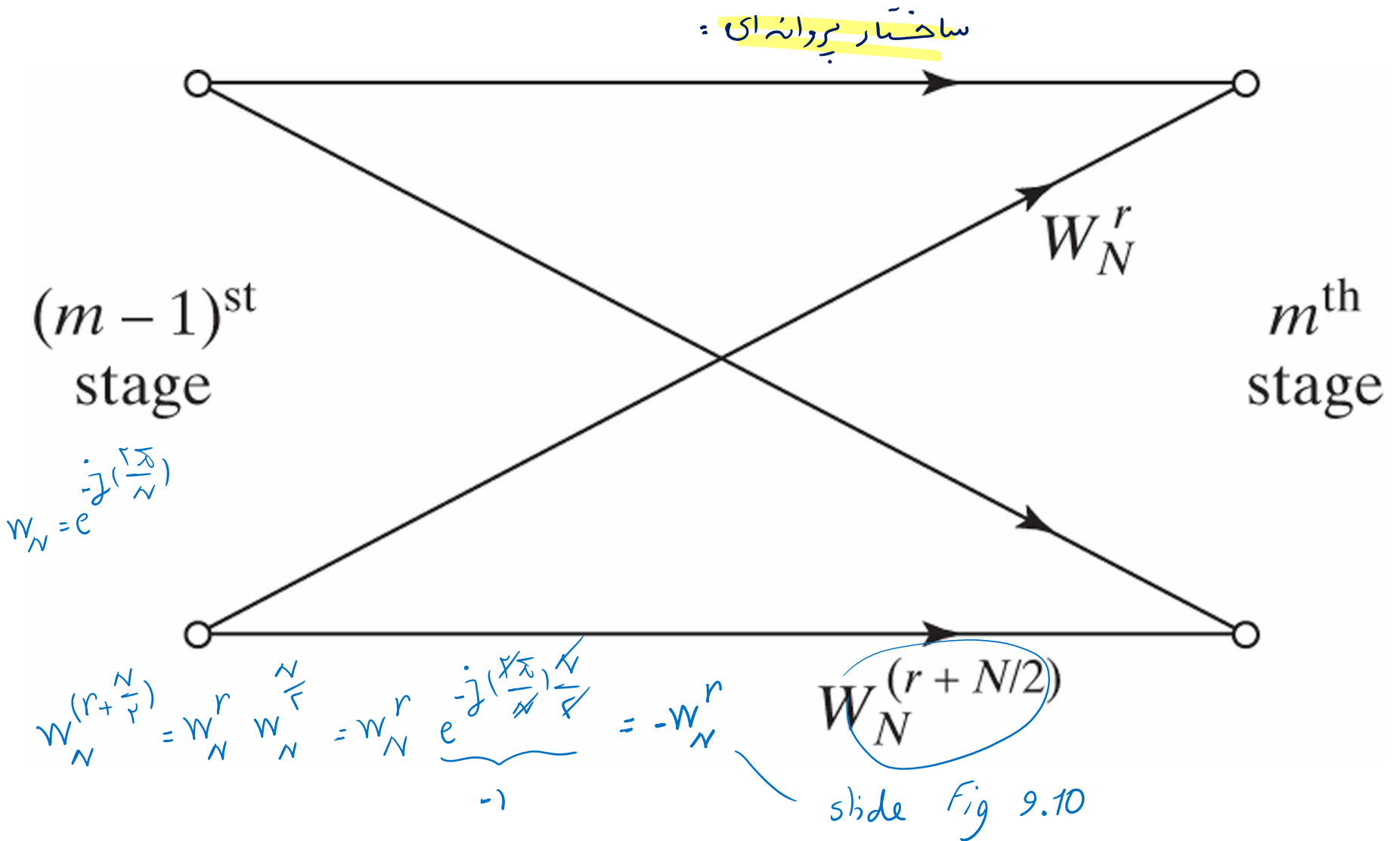
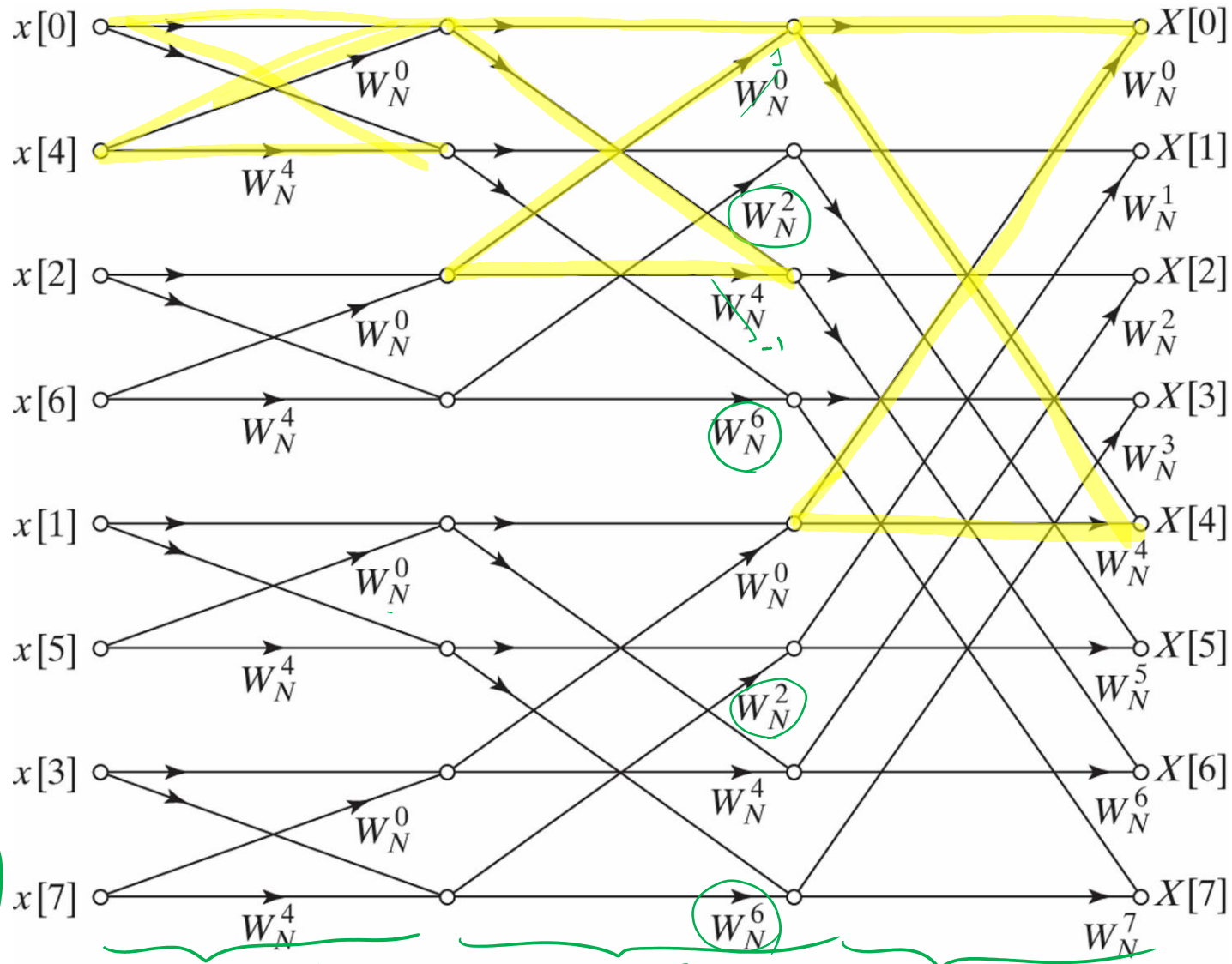


Figure 9.8 Flow graph of basic butterfly computation in Figure 9.9.



$2^V = N = 8 = 2^3 \rightarrow$  تعداد آنها  $V = \log_2 N$   
 تعداد ضرب های مرحله ۱: ۴ ضرب  $\frac{N}{2}$  ضرب  
 جمع های مرحله ۱: ۸ جمع  $\frac{N}{2}$  جمع  
 تعداد ضرب های مرحله ۲: ۴ ضرب  $\frac{N}{4}$  ضرب  
 جمع های مرحله ۲: ۸ جمع  $\frac{N}{4}$  جمع  
 تعداد ضرب های مرحله ۳: ۴ ضرب  $\frac{N}{8}$  ضرب  
 جمع های مرحله ۳: ۸ جمع  $\frac{N}{8}$  جمع

Figure 9.9 Flow graph of complete decimation-in-time decomposition of an 8-point DFT computation.



مرحله ۱:  
 ضرب:  $\frac{N}{2} \log_2 N$   
 جمع:  $\frac{N}{2}$   
 مرحله ۲:  
 ضرب:  $\frac{N}{4} \log_2 N$   
 جمع:  $\frac{N}{4}$   
 مرحله ۳:  
 ضرب:  $\frac{N}{8} \log_2 N$   
 جمع:  $\frac{N}{8}$   
 جمع:  $O(N \log_2 N)$

تعمیر پیچیدگی می بایستی به روش مستقیم و FFT :

DFT از مرتبه  $N^2$

FFT از مرتبه  $N \log_2 N$

$$N = 2^{10} = 1024$$

مثال

$$\text{DFT} : N^2 = 2^{20} = 1,048,576$$

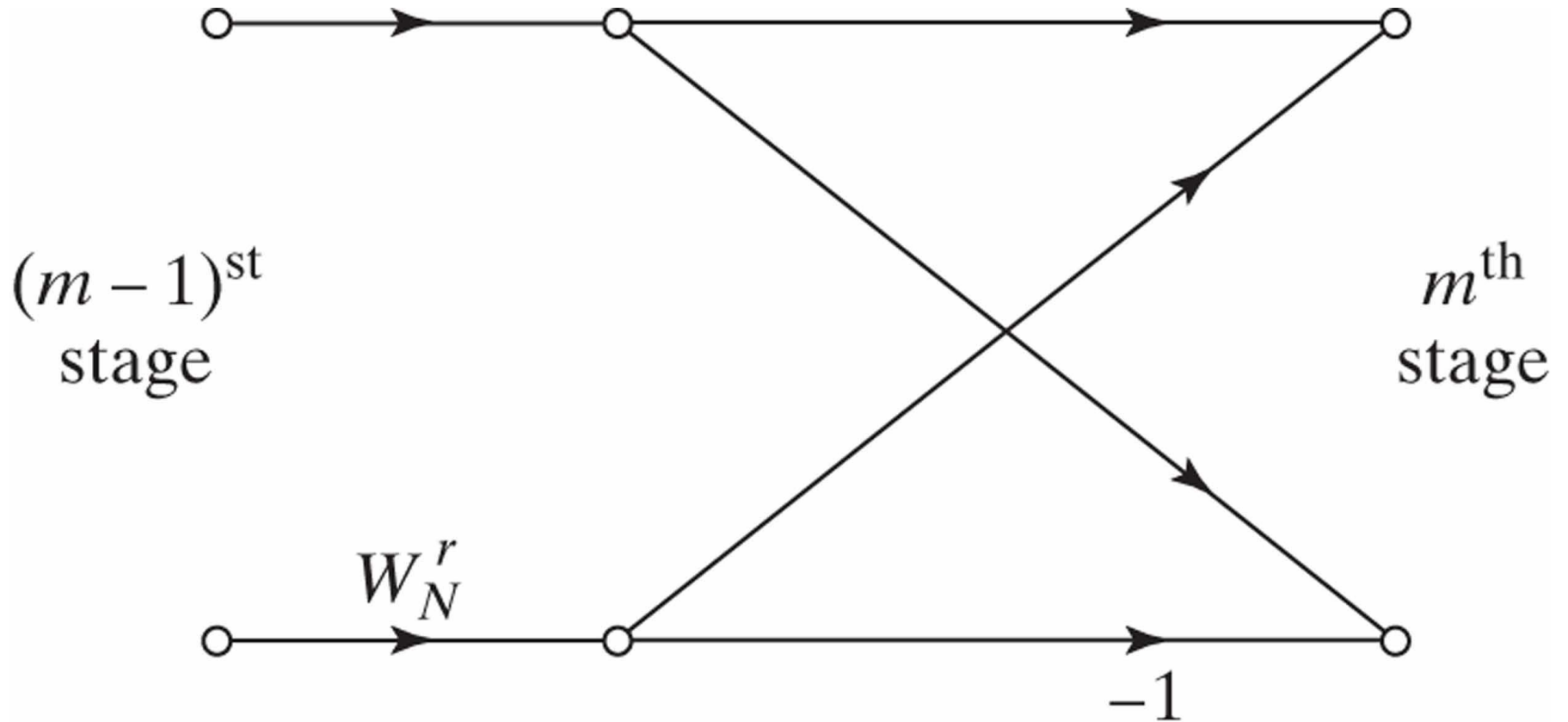
$$\text{FFT} : N \log_2 N = 2^{10} \times 10 = 10,240$$

$$\frac{2^{20}}{10 \times 2^{10}} = 100$$

MATLAB  $\gg$  FFT

**Figure 9.10** Flow graph of simplified butterfly computation requiring only one complex multiplication.

ساده شدهٔ ساختار پردازشی از Fig 9.8:





in-place computation سب سے درجی

Figure 9.11 Flow graph of 8-point DFT using the butterfly computation of Figure 9.10.

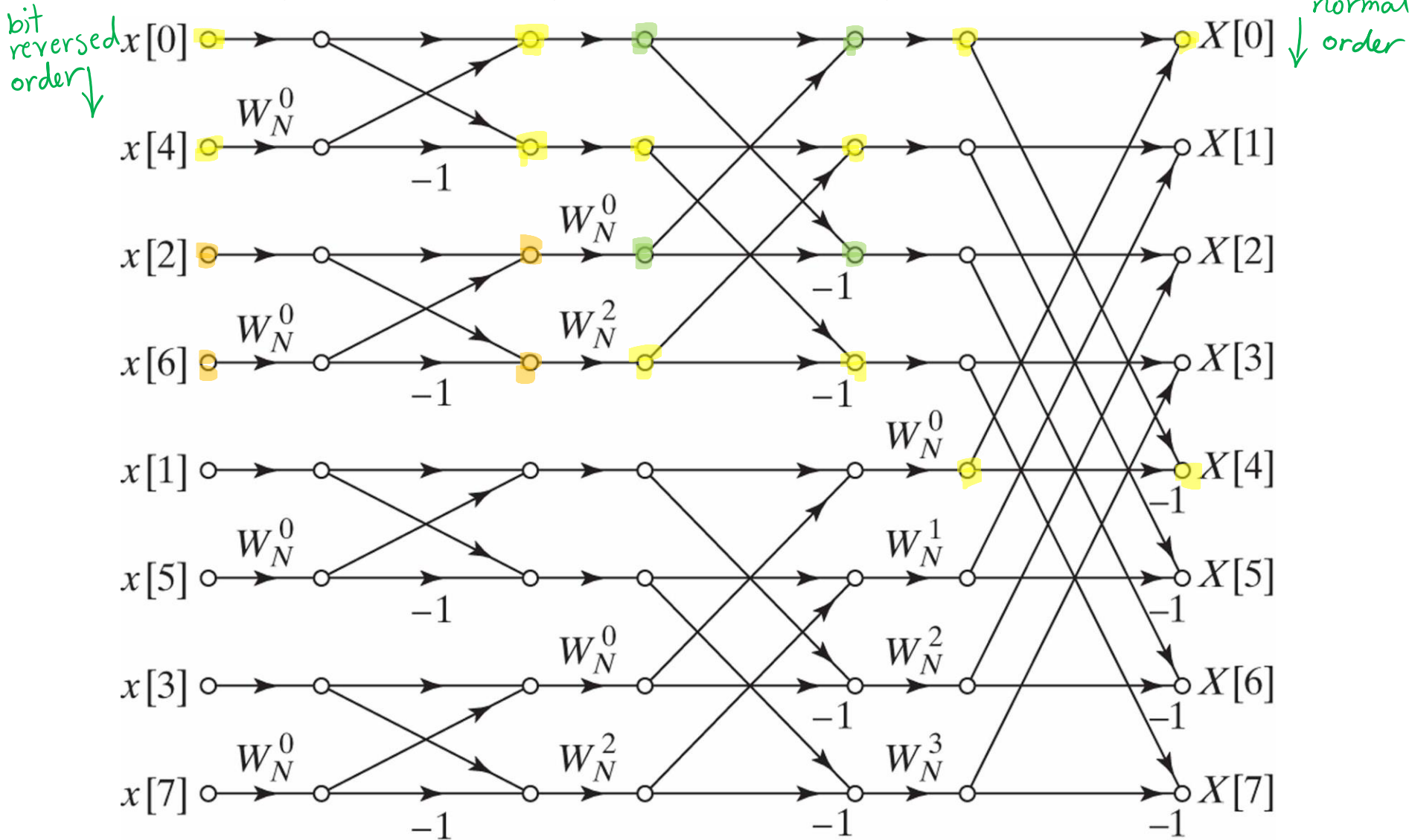
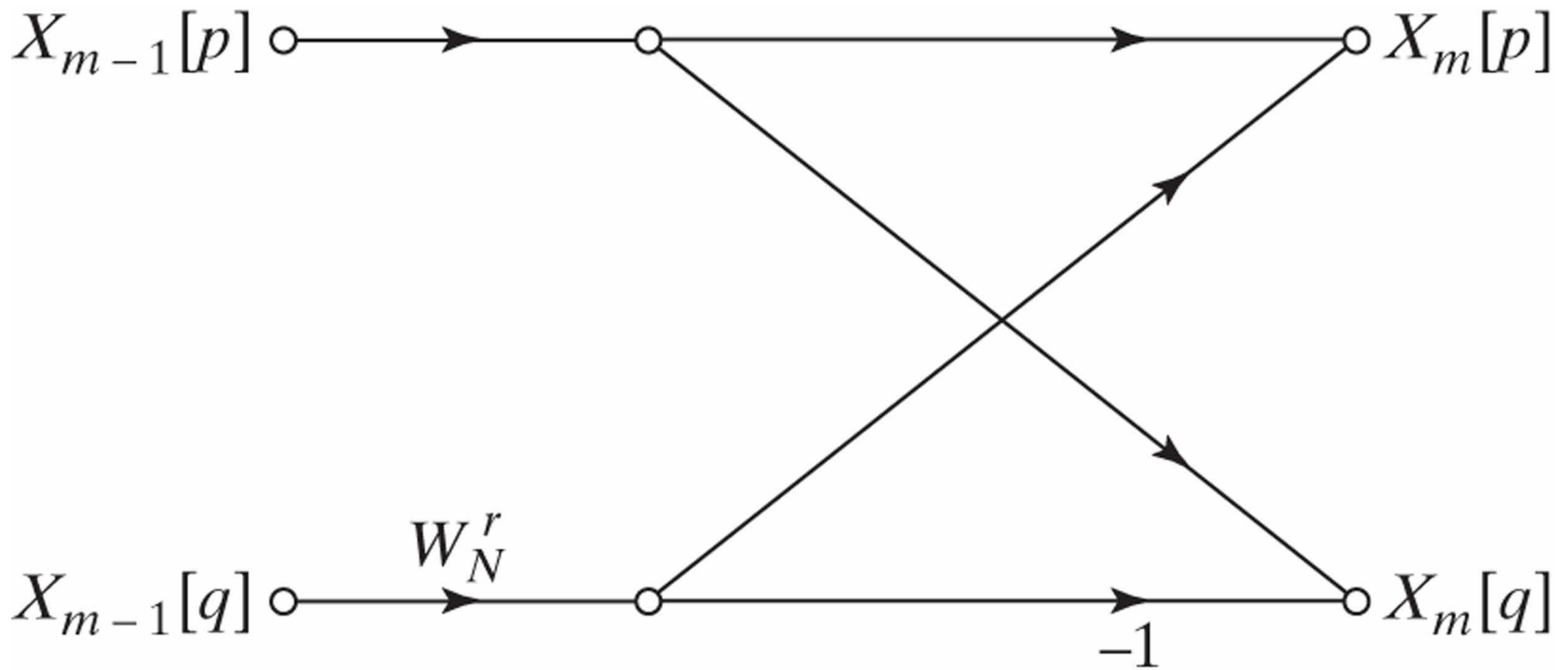
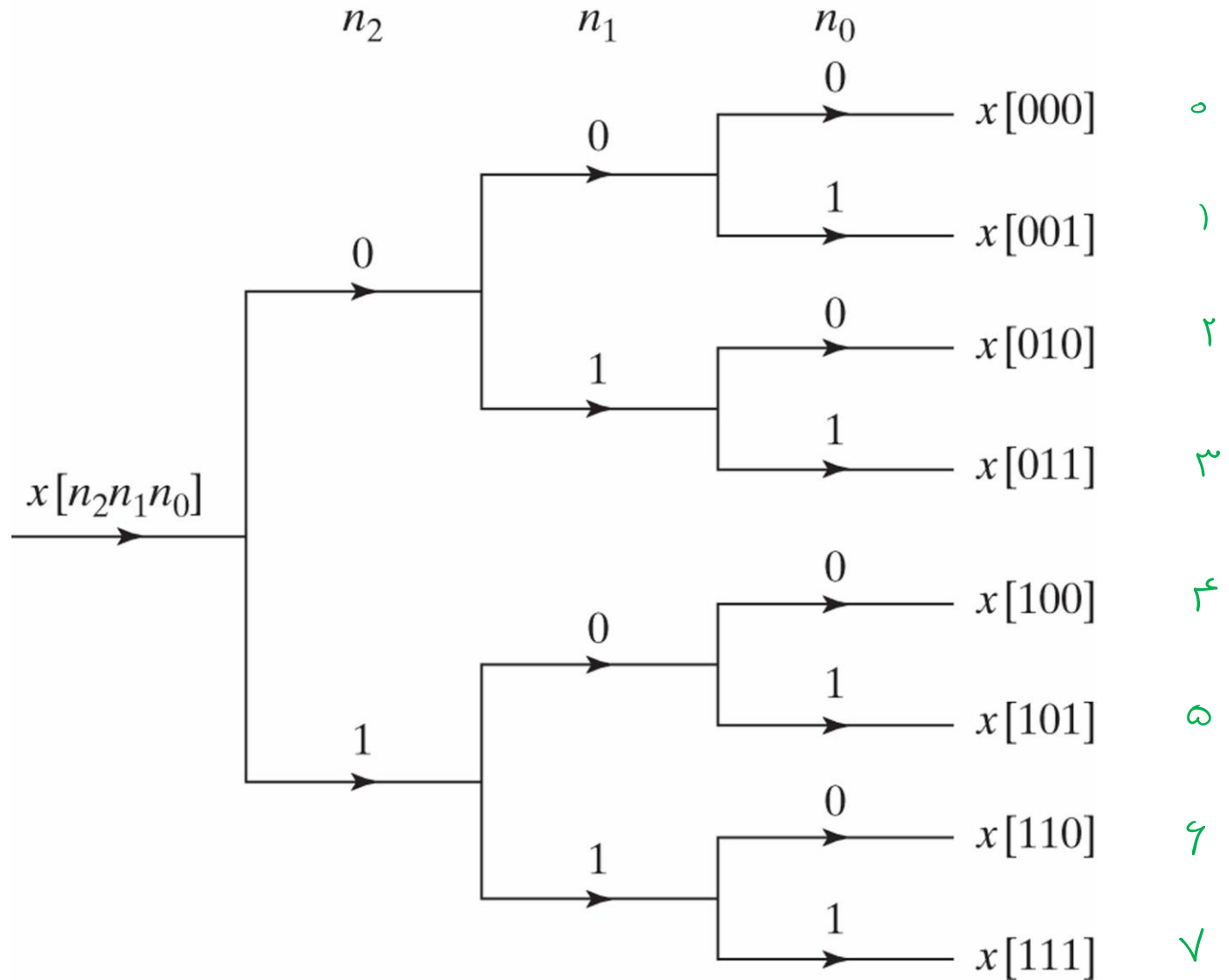


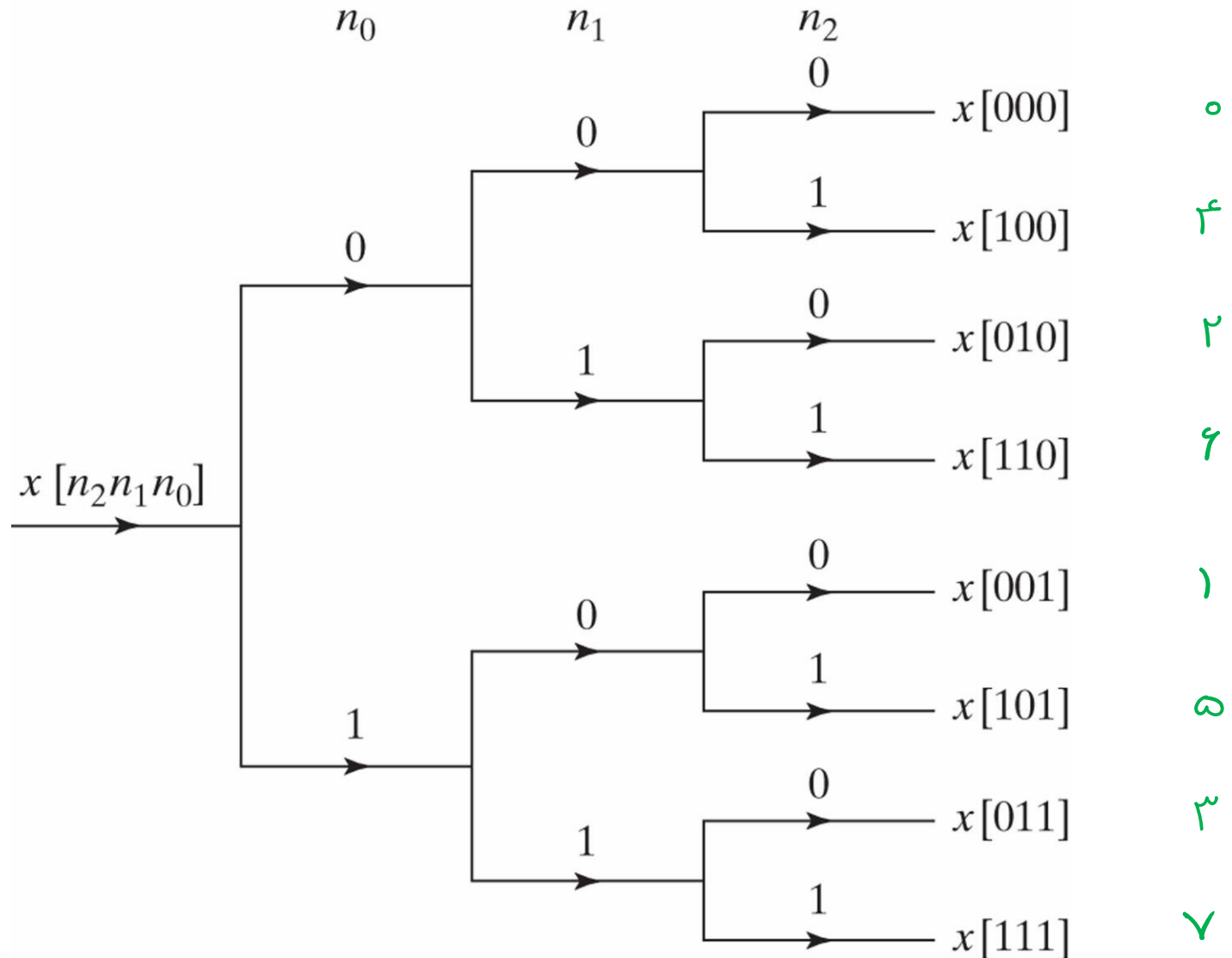
Figure 9.12 Flow graph of Eqs. (9.28).



**Figure 9.13** Tree diagram depicting normal-order sorting.



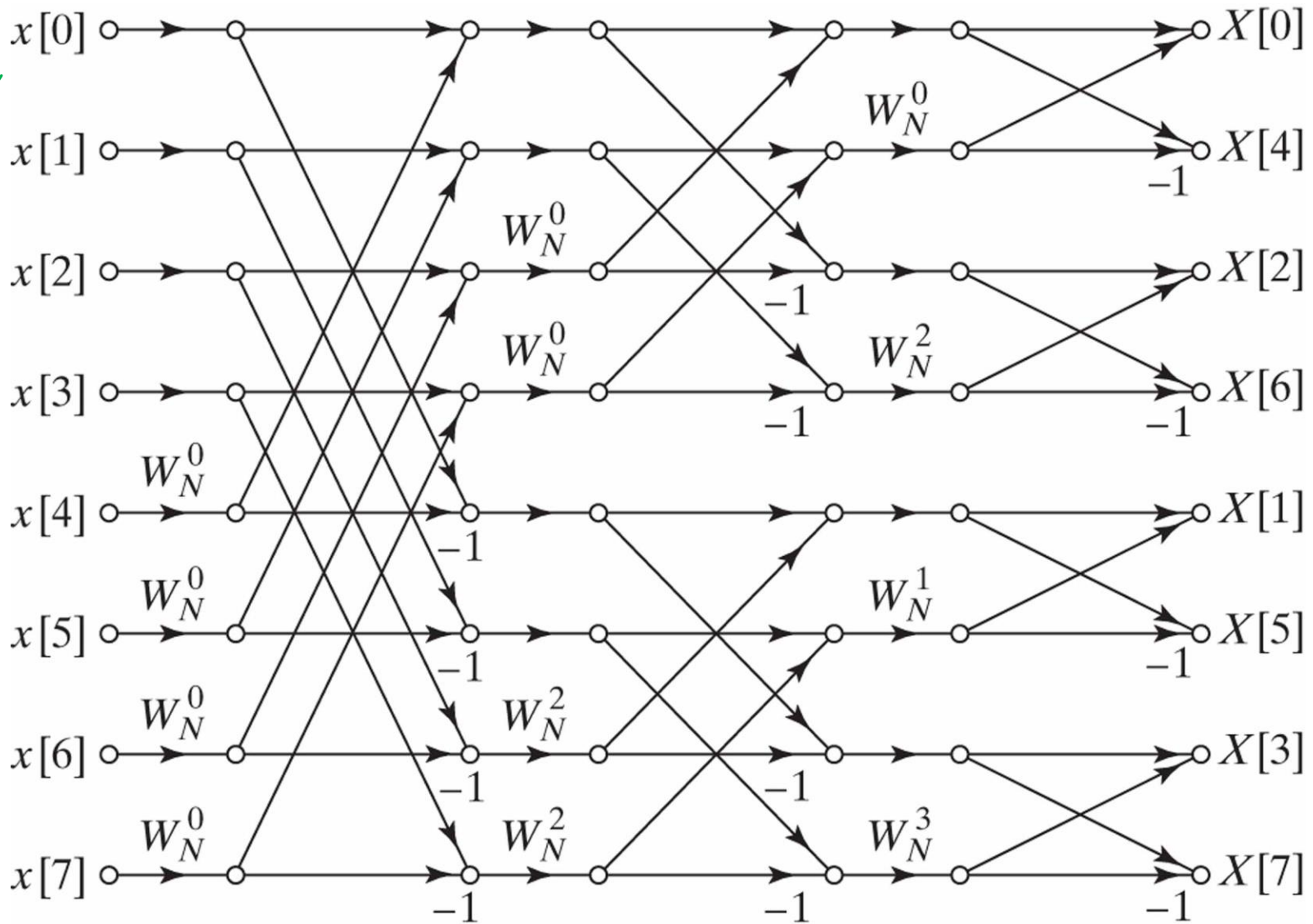
**Figure 9.14** Tree diagram depicting bit-reversed sorting.



**Figure 9.15** Rearrangement of Figure 9.11 with input in normal order and output in bit-reversed order.

normal order ↓

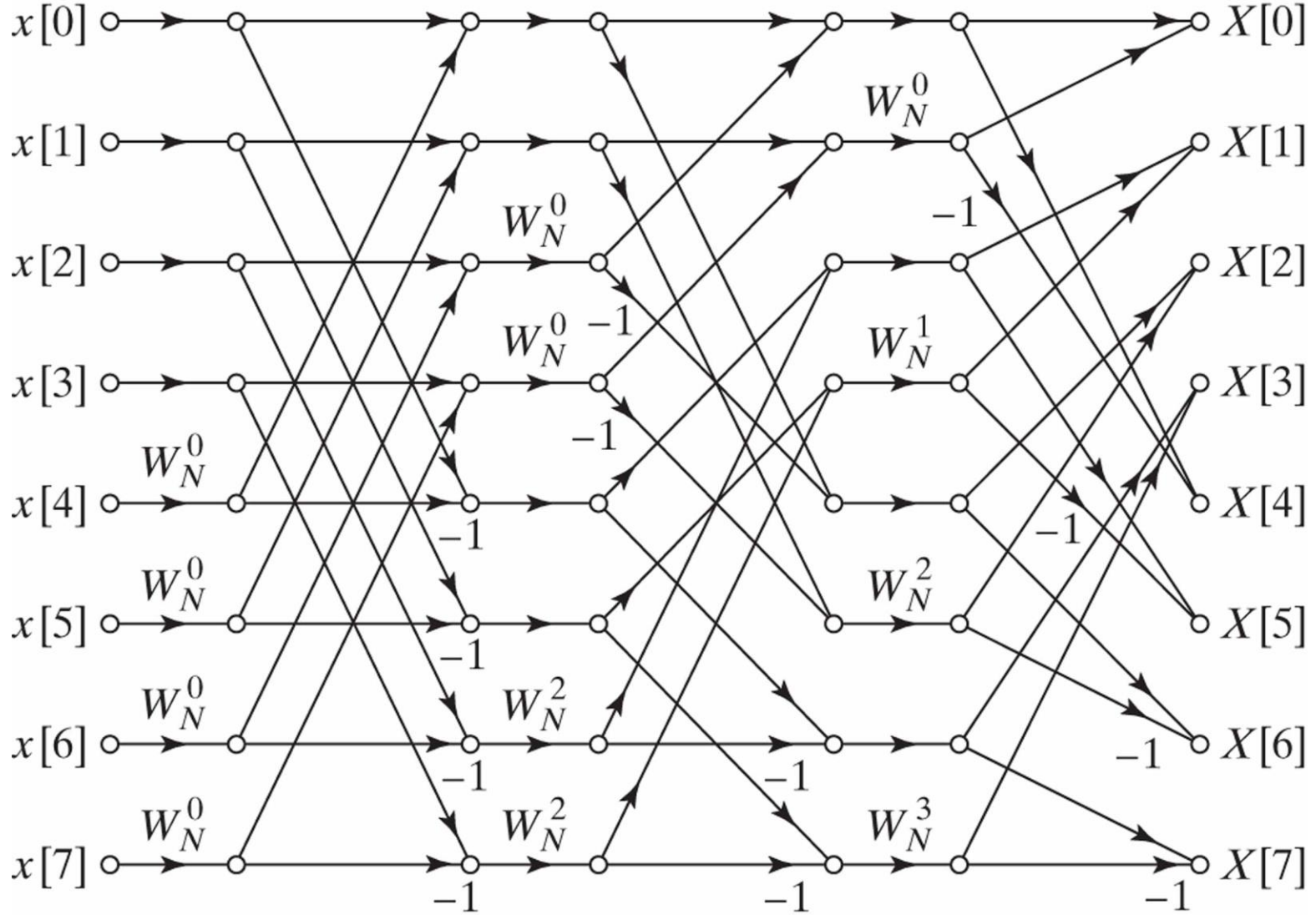
bit reversed order ↓



**Figure 9.16** Rearrangement of Figure 9.11 with both input and output in normal order.

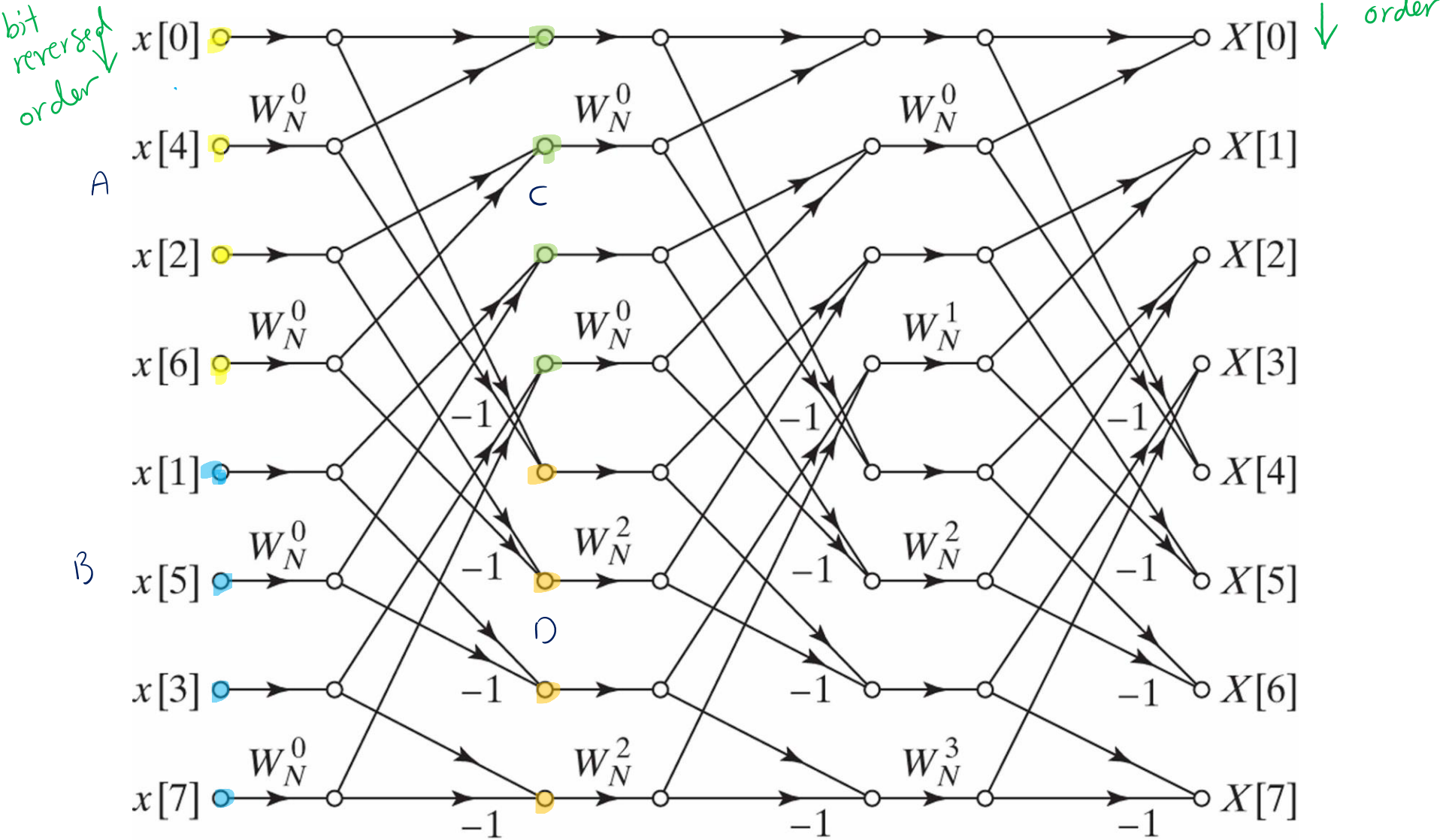
normal order ↓

normal order ↓





**Figure 9.17** Rearrangement of Figure 9.11 having the same geometry for each stage, thereby simplifying data access.



$$N = 2^{\nu}$$

: Decimation

9.3 الخوارزمية FFT في

in Frequency

$$X_0[k] = \sum_{n=0}^{\frac{N}{r}-1} \underbrace{(x[n] + x[n + \frac{N}{r}])}_{g[n]} w_{\frac{N}{r}}^{nk}$$

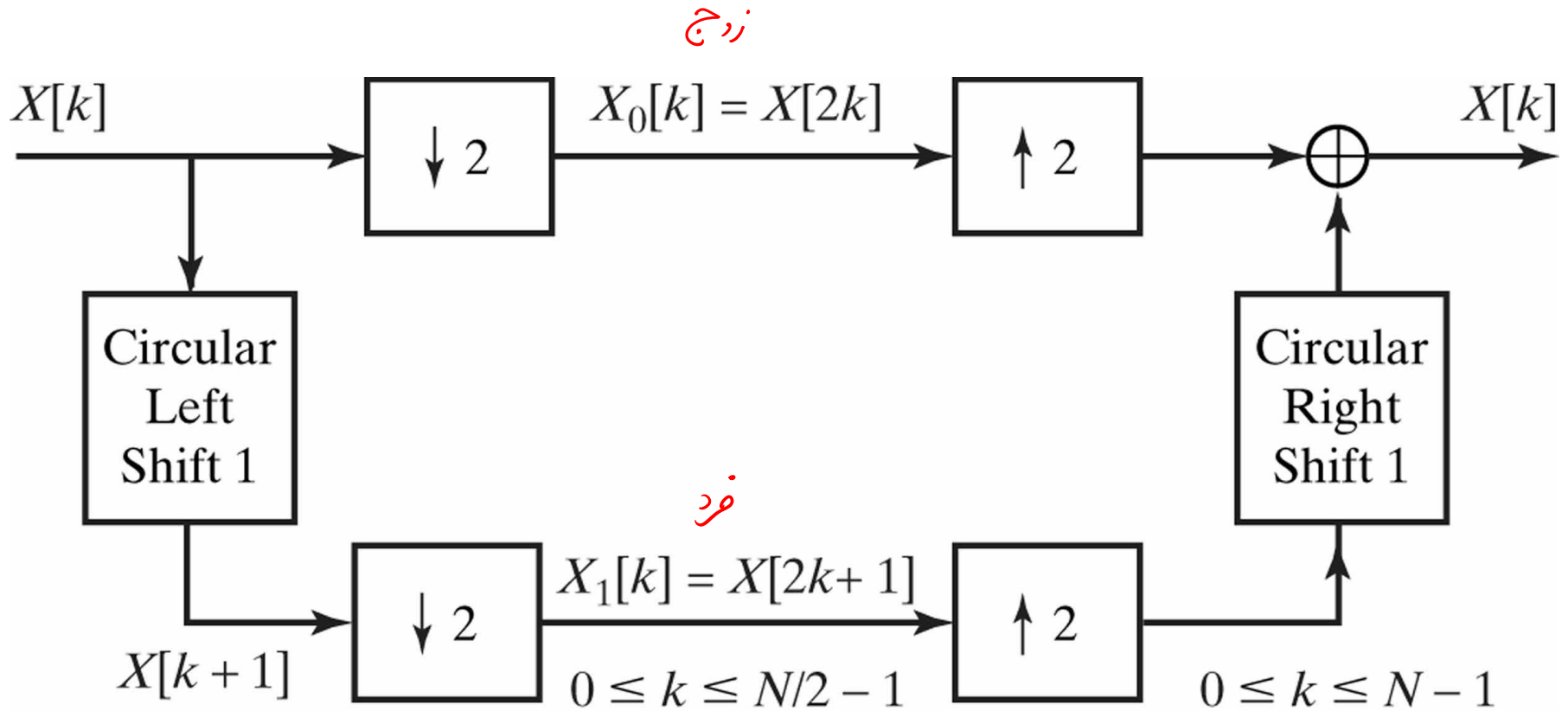
$$k = 0, 1, \dots, \frac{N}{r} - 1$$

$$X_1[k] = \sum_{n=0}^{\frac{N}{r}-1} \underbrace{(x[n] - x[n + \frac{N}{r}])}_{h[n]} w_{\frac{N}{r}}^{nr} w_{\frac{N}{r}}^{nk}$$

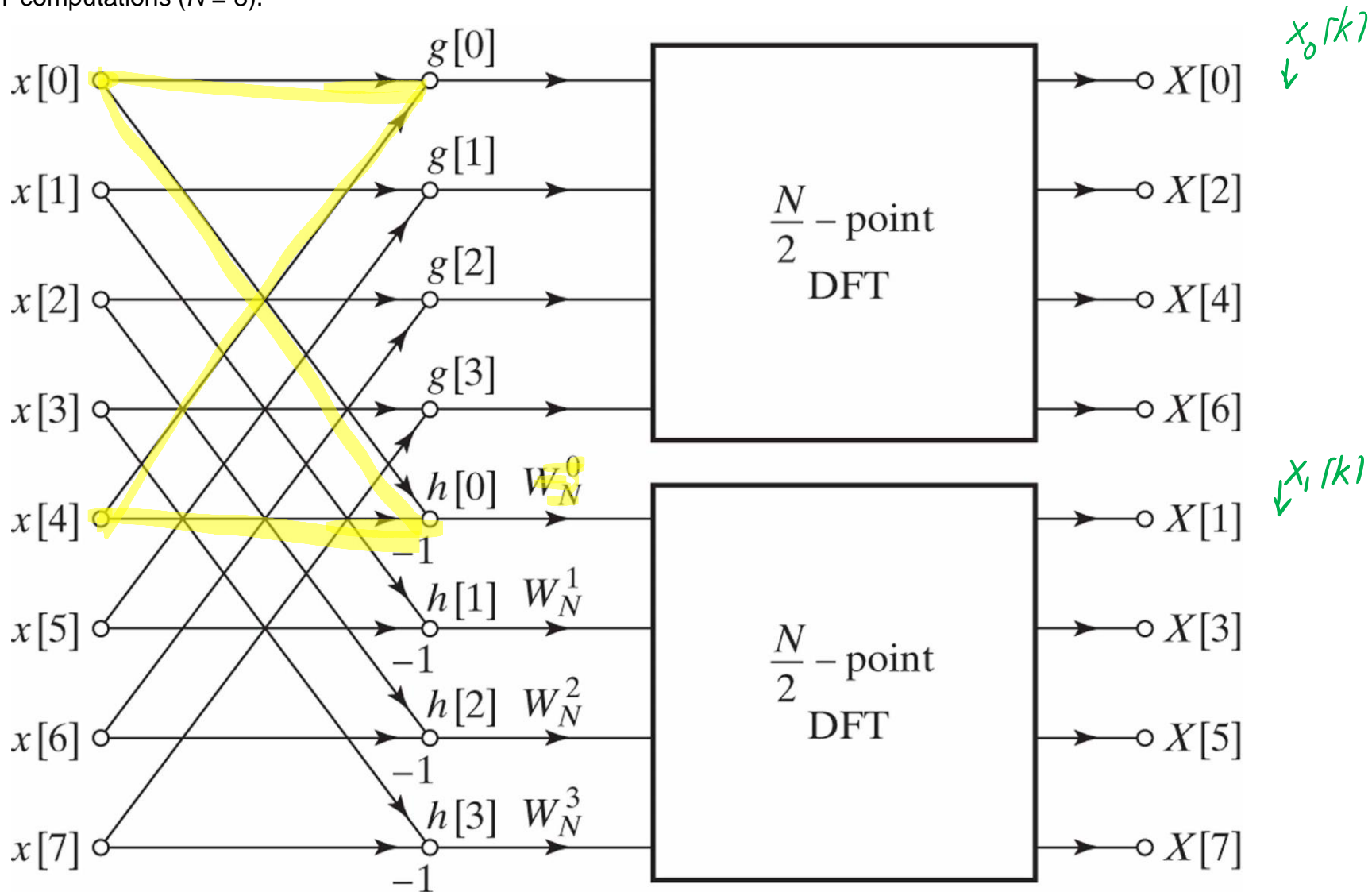
$$O(N \log_r N)$$



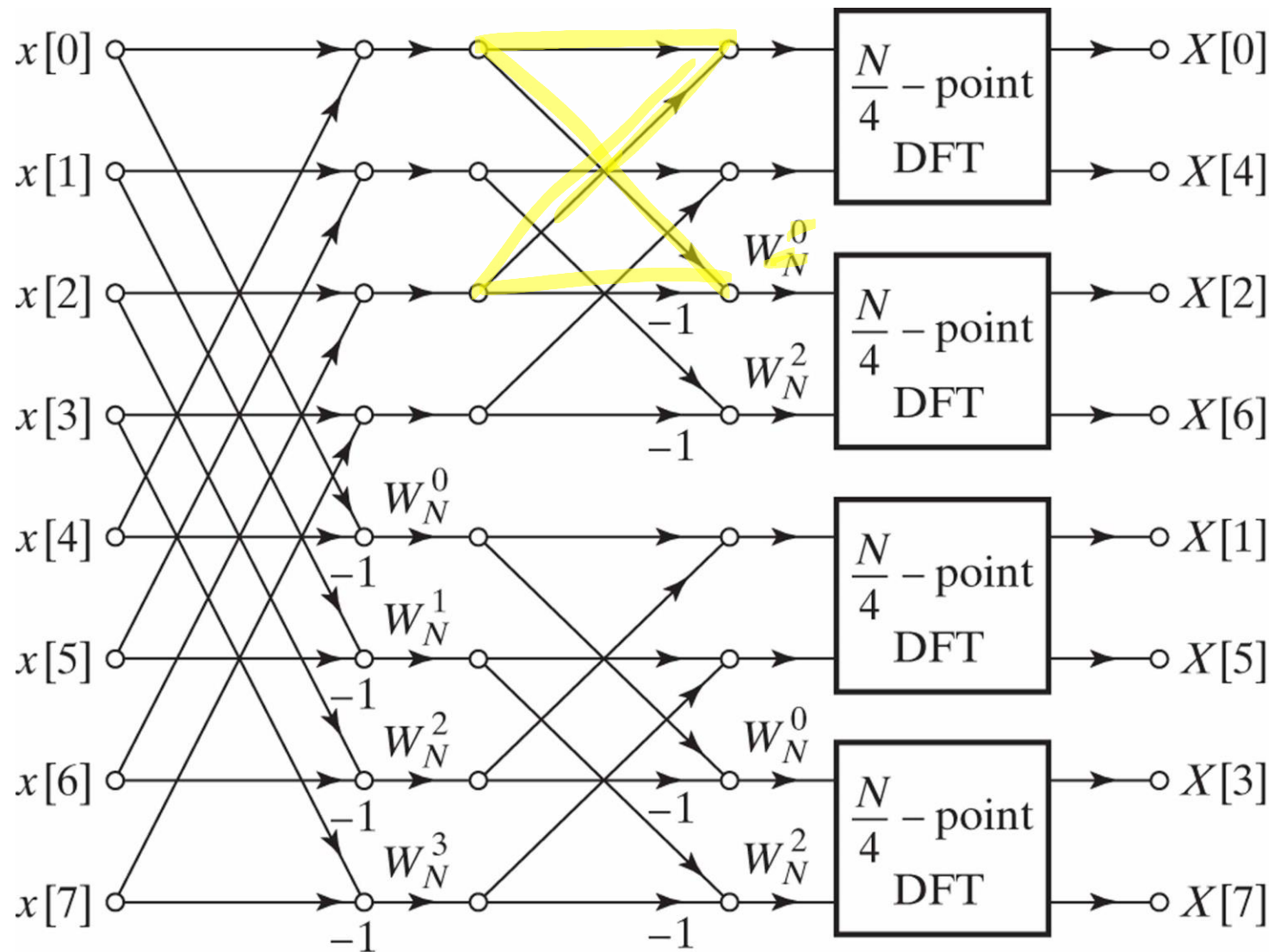
**Figure 9.18** Illustration of the basic principle of decimation-in-frequency.



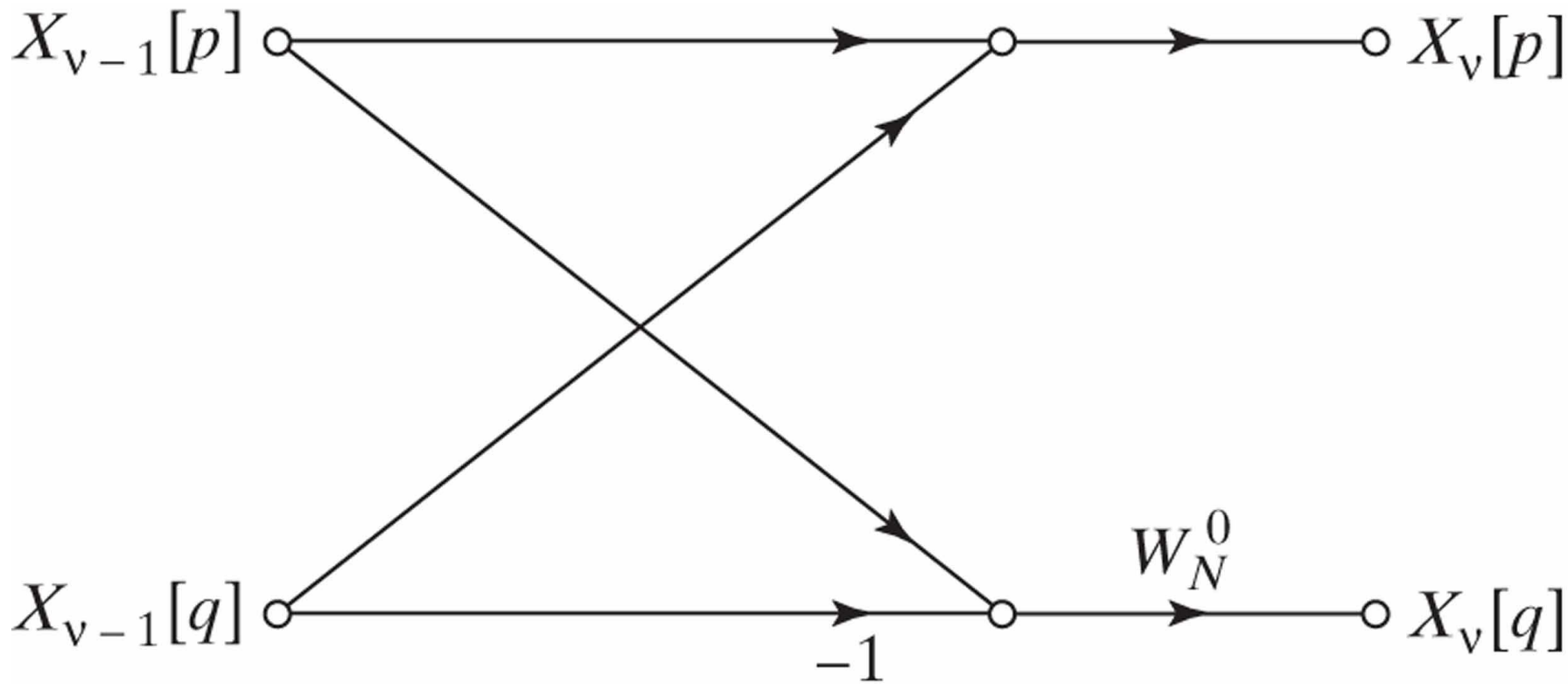
**Figure 9.19** Flow graph of decimation-in-frequency decomposition of an  $N$ -point DFT computation into two  $(N/2)$ -point DFT computations ( $N = 8$ ).



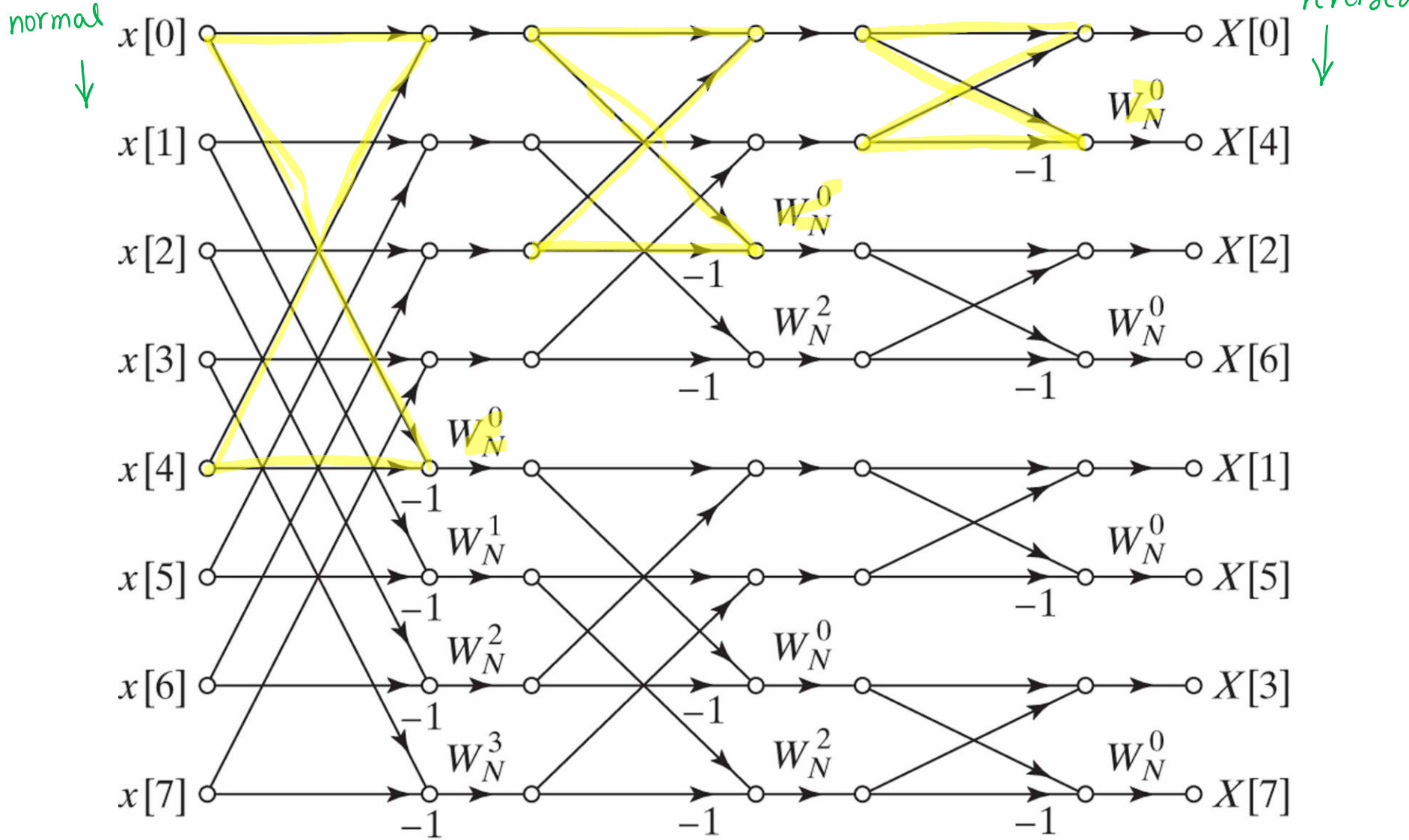
**Figure 9.20** Flow graph of decimation-in-frequency decomposition of an 8-point DFT into four 2-point DFT computations.



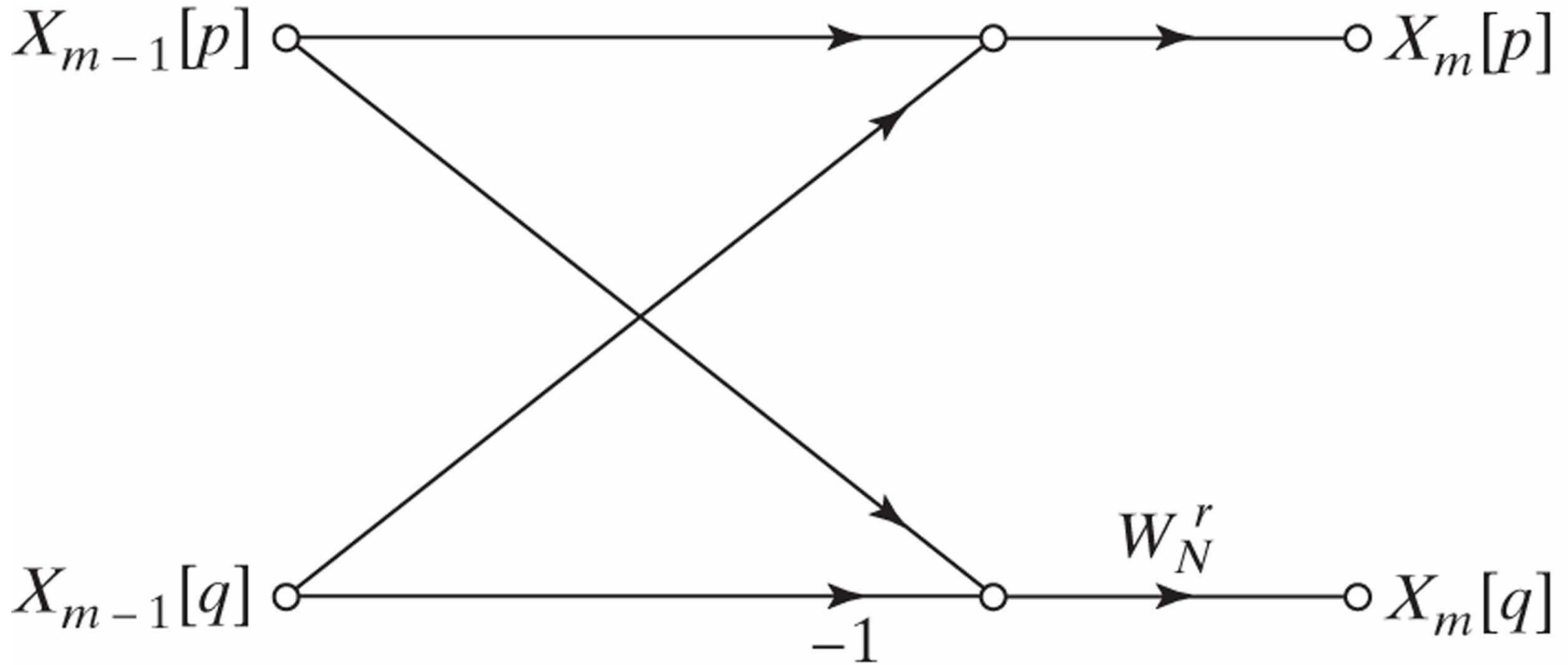
**Figure 9.21** Flow graph of a typical 2-point DFT as required in the last stage of decimation-in-frequency decomposition.



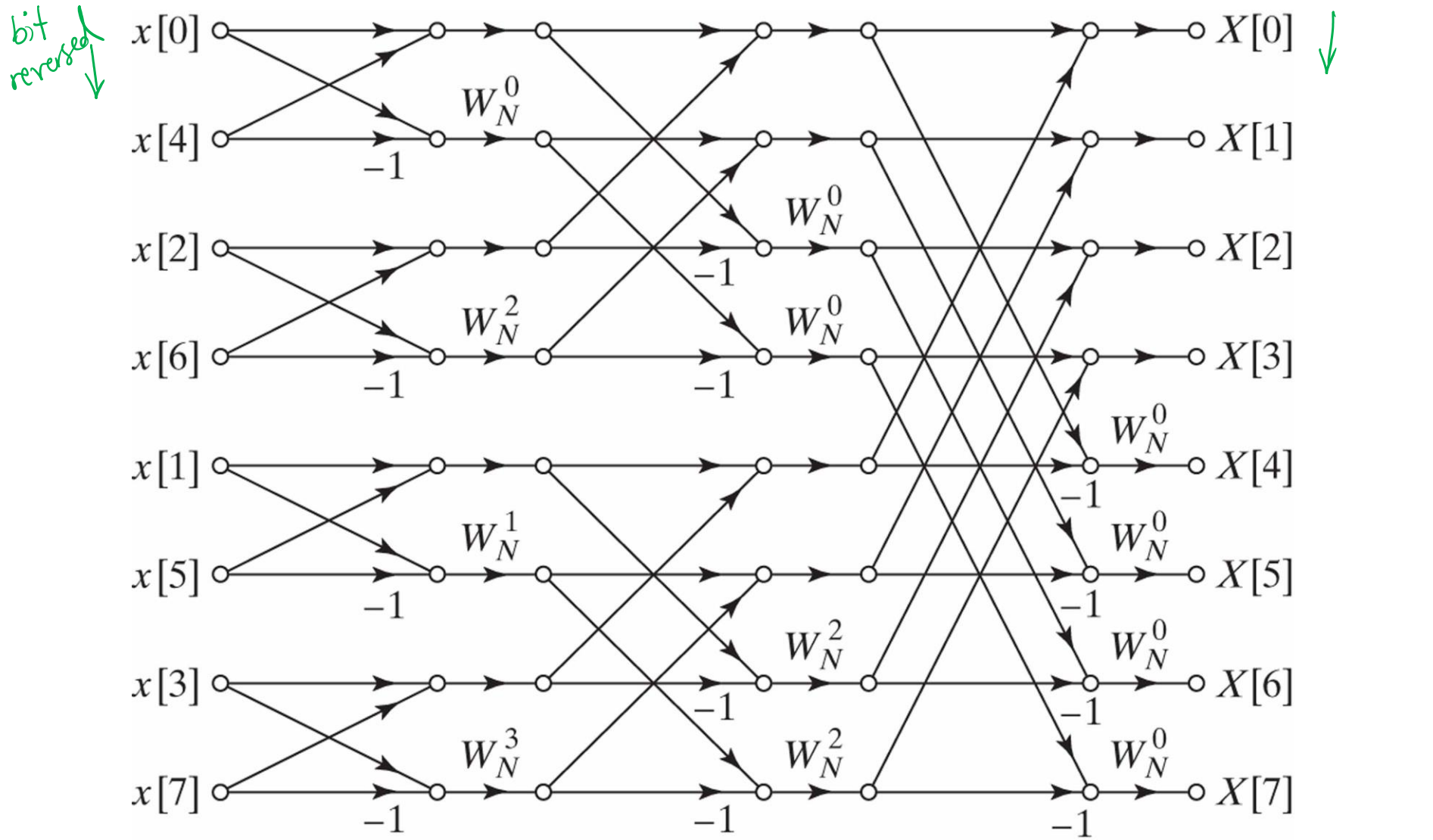
**Figure 9.22** Flow graph of complete decimation-in-frequency decomposition of an 8-point DFT computation.



**Figure 9.23** Flow graph of a typical butterfly computation required in Figure 9.22.

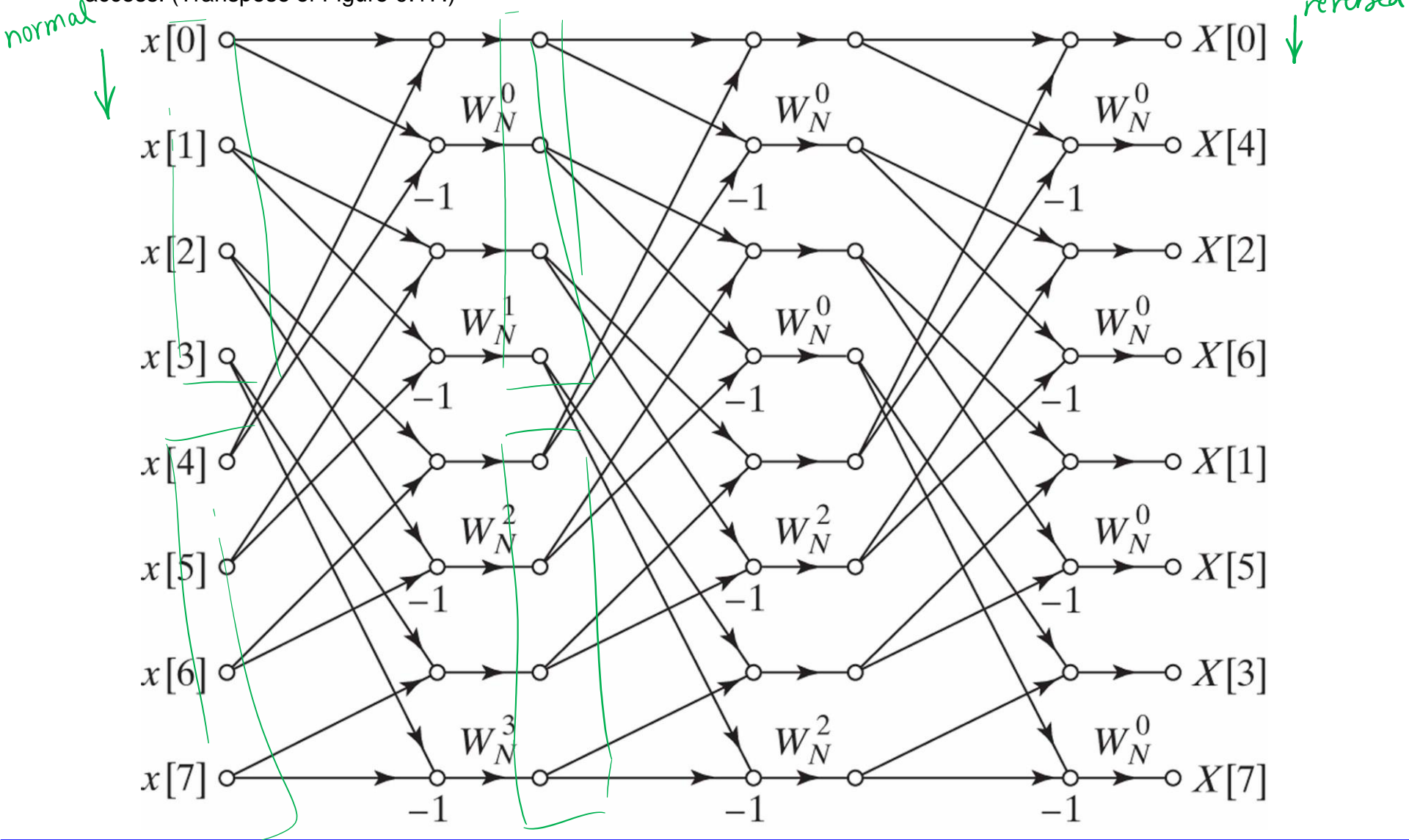


**Figure 9.24** Flow graph of a decimation-in-frequency DFT algorithm obtained from Figure 9.22. Input in bit-reversed order and output in normal order. (Transpose of Figure 9.15.)



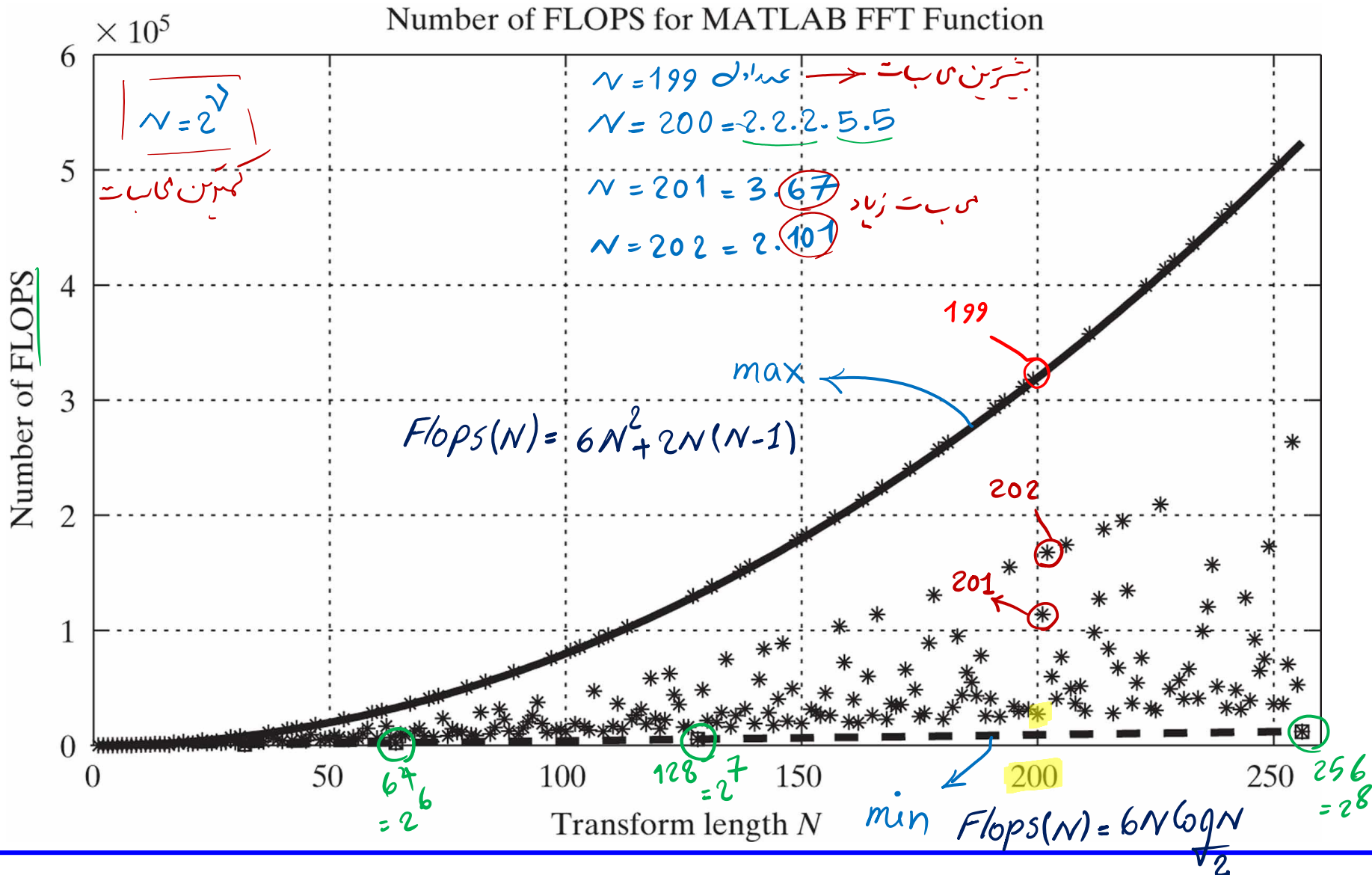


**Figure 9.25** Rearrangement of Figure 9.22 having the same geometry for each stage, thereby simplifying data access. (Transpose of Figure 9.17.)





**Figure 9.26** Number of floating-point operations as a function of  $N$  for MATLAB `fft` function (revision 5.2).



می سبب DFT با استفاده از الگوریتم های مبتنی بر کانولوشن:

$N = 2^{\nu} \leftarrow FFT$   
 الگوریتم های FFT با هزینه ای کم به دست می آید و حتی اگر تنهایی تبدیل از آنها پیدا باشد.

$N$  غیر از  $2^{\nu}$  فقط  $N$  مولفه } برای حل این مشکلات از الگوریتم های convolution based استفاده می کنیم.

نکته: اگر  $N = 2^{\nu}$  و هم مولفه ها را بخواهیم الگوریتم های FFT بهتر عمل می کنند.

$w_N^{-kN} = e^{j2\pi \left(\frac{2\pi}{N}\right) kN} = e^{j2\pi k} = 1$  : Goentzel الگوریتم

$$X[k] = \sum_{n=0}^{N-1} x[n] w_N^{nk} \xrightarrow{x w_N^{-kn}} X[k] = w_N^{-kN} \sum_{r=0}^{N-1} x[r] w_N^{rk}$$

$$X[k] = \sum_{r=0}^{N-1} x[r] w_N^{-k(N-r)}, \quad \text{تعریف: } y_k[n] = \sum_{r=-\infty}^{+\infty} x[r] w_N^{-k(n-r)} u[n-r]$$

$X[k] = y_k[n] \Big|_{n=N}$

$$y_k[n] = w_N^{-k} y_k[n-1] + x[n] \quad \rightarrow \text{Fig 9.1}$$

$$x[k] = \sum_{r=0}^{N-1} x[r] w_N^{-k(N-r)}$$

$x[k] = y_k[n] \Big|_{n=N}$

is:  $y_k[n] = \sum_{r=-\infty}^{+\infty} x[r] w_N^{-k(N-r)} u[n-r]$

$h_k[r]$

---

$$\Rightarrow y_k[n] = x[n] * h_k[n]$$

$$x[k] = y_k[n] \Big|_{n=N}$$

Figure 9.1 Flow graph of 1<sup>st</sup>-order complex recursive computation of  $X[k]$ .

$$y_k[n] = W_N^{-k} y_k[n-1] + x[n] \quad , \quad H_k(z) = \frac{x(1 - W_N^{-k} z^{-1})}{1 - W_N^{-k} z^{-1}}$$

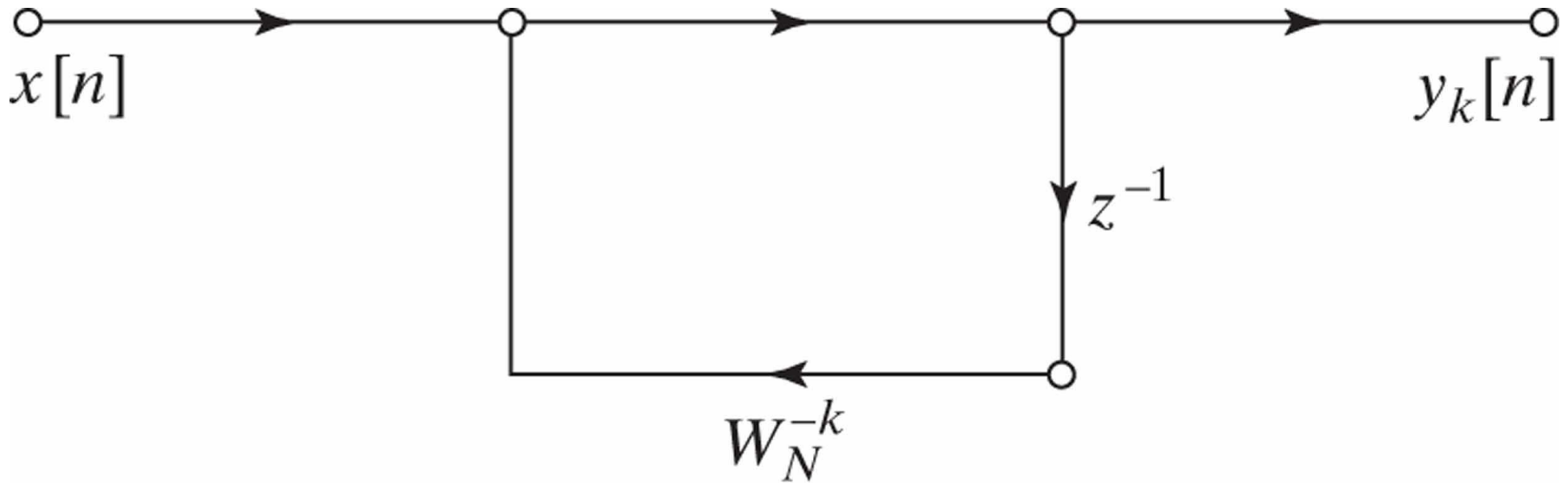
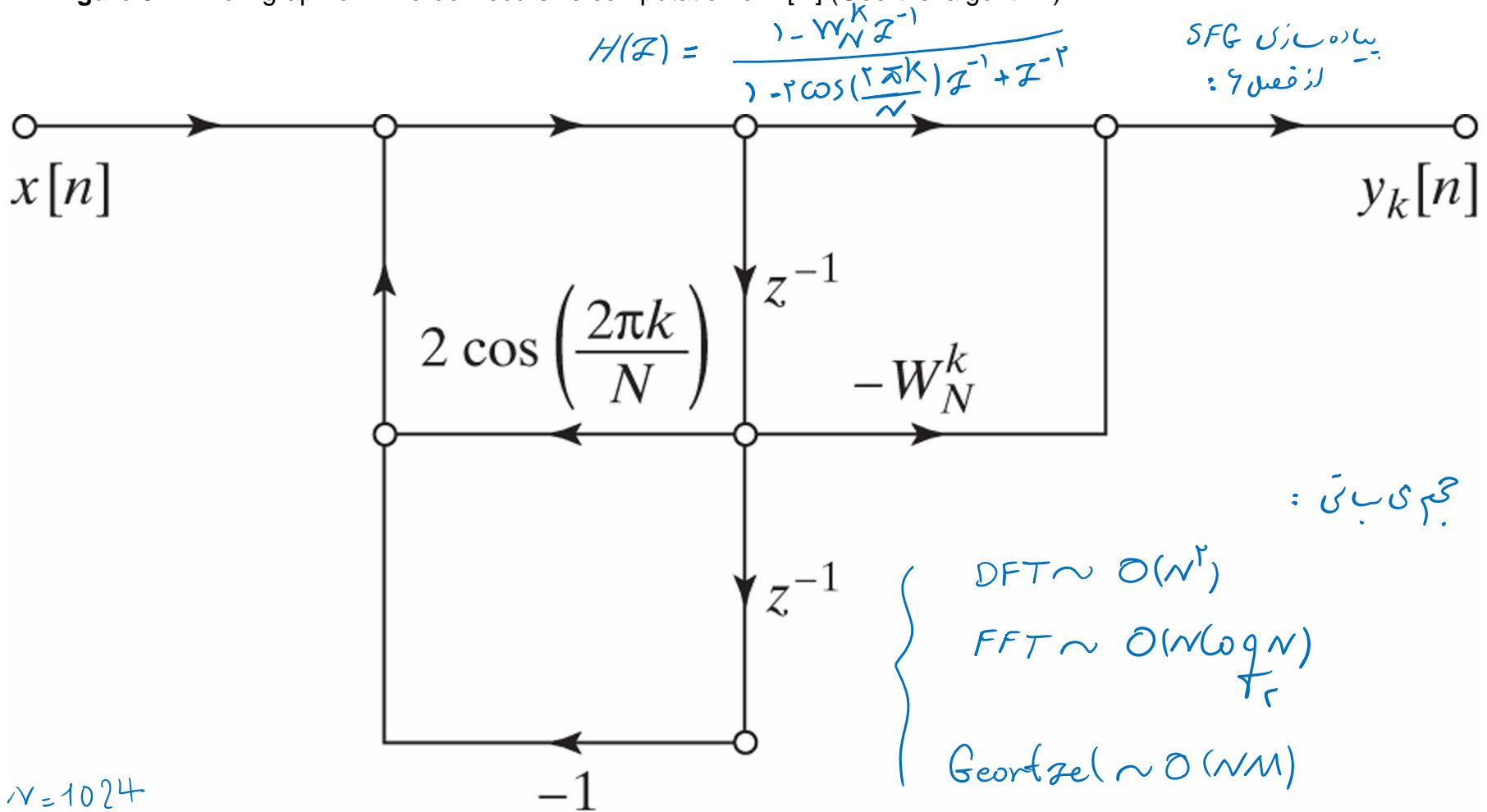


Figure 9.2 Flow graph of 2<sup>nd</sup>-order recursive computation of  $X[k]$  (Goertzel algorithm).



$$H(z) = \frac{1 - W_N^k z^{-1}}{1 - 2 \cos\left(\frac{2\pi k}{N}\right) z^{-1} + z^{-2}}$$

بیاده سازی SFG  
از فصل ۶:

حجمی بانی :

DFT  $\sim O(N^2)$

FFT  $\sim O(N \log N)$   
T<sub>r</sub>

Goertzel  $(\sim O(NM))$

در چه حالتی از FFT بهتر است ؟ اگر

$N = 1024$

$M < 10$

$M < \log_2 N$  باشد از FFT بهتر است

: chirp <sup>اللو رستم</sup>

قفسیه: با استفاده از سیستم شکل 3.3 و می توان  $x[k]$  را به صورت زیر به دست آورد:

$$x[n] ; 0 \leq n \leq N-1$$

$$y_k[n] \Big|_{n=k+N} = x[k] \quad k=0, 1, \dots, N-1$$

$$h_r[n] = \begin{cases} w^{-n^2/c} & ; -(N-1) \leq n \leq (M-1) \\ 0 & ; \text{o.w.} \end{cases}$$

$0 \leq M \leq N$

CTA : chirp تبدیل  
chirp Transform Algorithm

دیسانہ  $x[n]$  را با  $N$  نقطه فرض می کنیم و تبدیل عدیده آن DTFT  $X(e^{j\omega})$  هدف: می بیه  $M$  نمونه از  $X(e^{j\omega})$  است نه با آهاس بین روی دایره واحد قرار گرفته اند (Fig 9.27)

$$\omega_k = \omega_0 + k\Delta\omega \quad ; \quad k = 0, 1, \dots, M-1$$

$$X(e^{j\omega_k}) = \sum_{n=0}^{N-1} x[n] e^{-j\omega_k n} \quad ; \quad k = 0, 1, \dots, M-1$$

$\omega_k = \omega_0 + k\Delta\omega$  →  $X(e^{j\omega_k}) = \sum_{n=0}^{N-1} x[n] e^{-j\omega_0 n} e^{-jk\Delta\omega n}$

$|e^{-jk\Delta\omega} = W|$  →  $X(e^{j\omega_k}) = \sum_{n=0}^{N-1} x[n] e^{-j\omega_0 n} W^{nk}$

$nk = \frac{1}{r} [n^r + k^r - (k-n)^r]$  →  $X(e^{j\omega_k}) = \sum_{n=0}^{N-1} x[n] e^{-j\omega_0 n} \underbrace{W^{n^r/r}}_{g[n]} \underbrace{W^{k^r/r}}_W \underbrace{W^{-(k-n)^r/r}}_W$

$$X(e^{j\omega_k}) = W^{\frac{k^r}{r}} \left( \sum_{n=0}^{N-1} g[n] W^{\frac{-(k-n)^r}{r}} \right) ; k = 0, 1, \dots, M-1$$

$n \leftrightarrow k$

$$X(e^{j\omega_n}) = \underbrace{W^{\frac{n^r}{r}}}_{= e^{-\frac{n^r}{r}}} \left( \sum_{k=0}^{N-1} g[k] W^{\frac{-(n-k)^r}{r}} \right) ; n = 0, 1, \dots, M-1$$

$g[n] * W^{\frac{-n^r}{r}}$

→ Fig 9.28

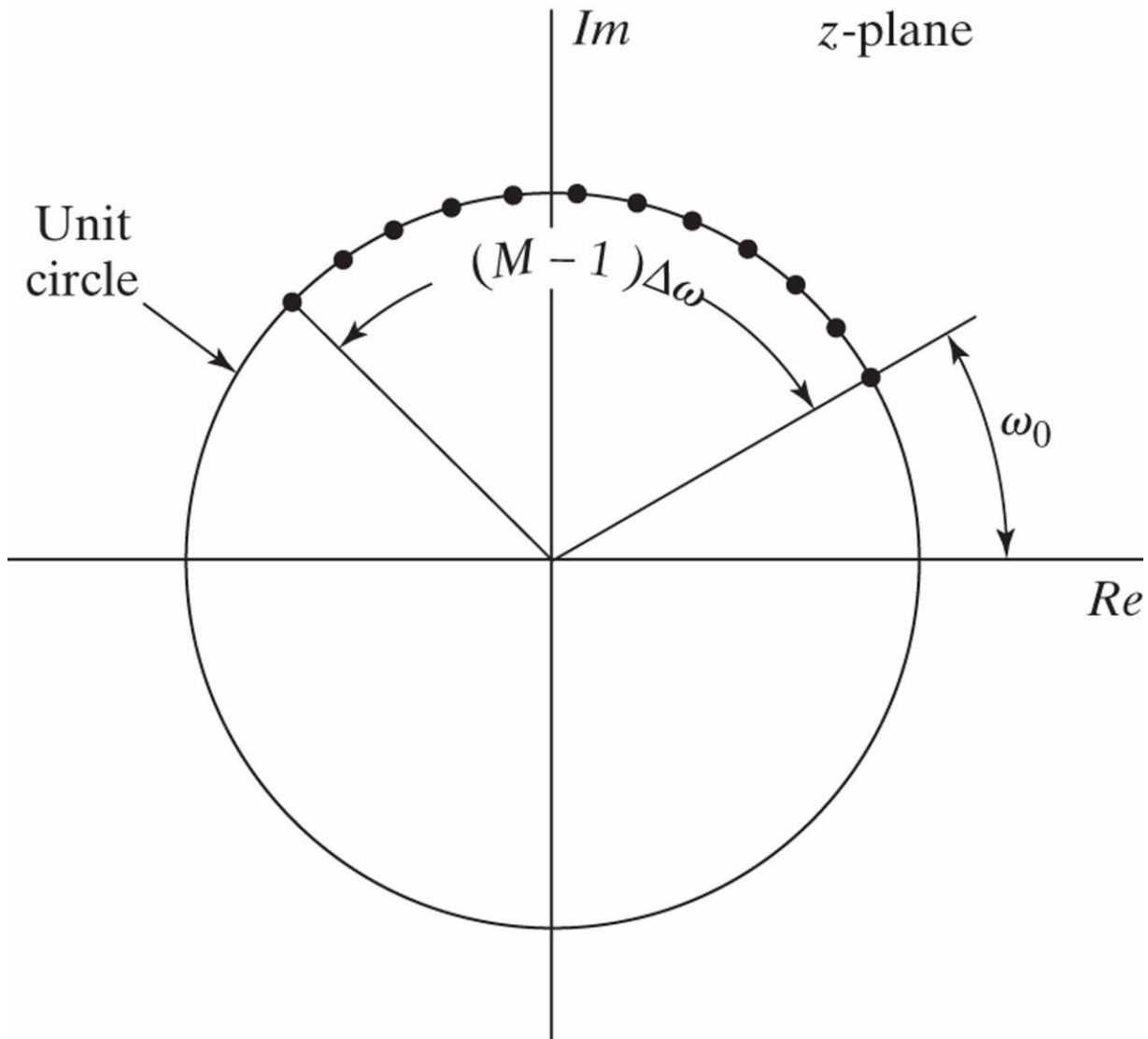
$$W^{\frac{-n^r}{r}} = \left( e^{-j\omega \Delta t} \right)^{\frac{-n^r}{r}} = e^{\frac{1}{r} j(n \Delta \omega) n}$$

نمایی متناسب با فرکانس  $n \Delta \omega$

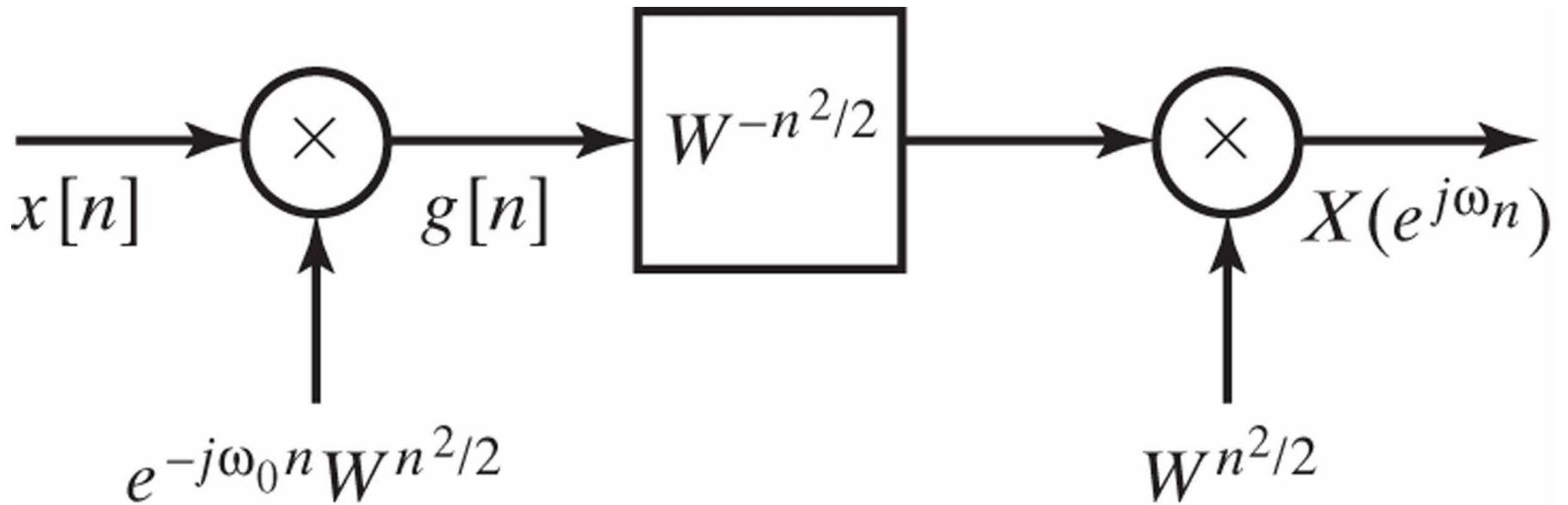
افزایش فرکانس به صورت خطی → chirp — radar, sonar



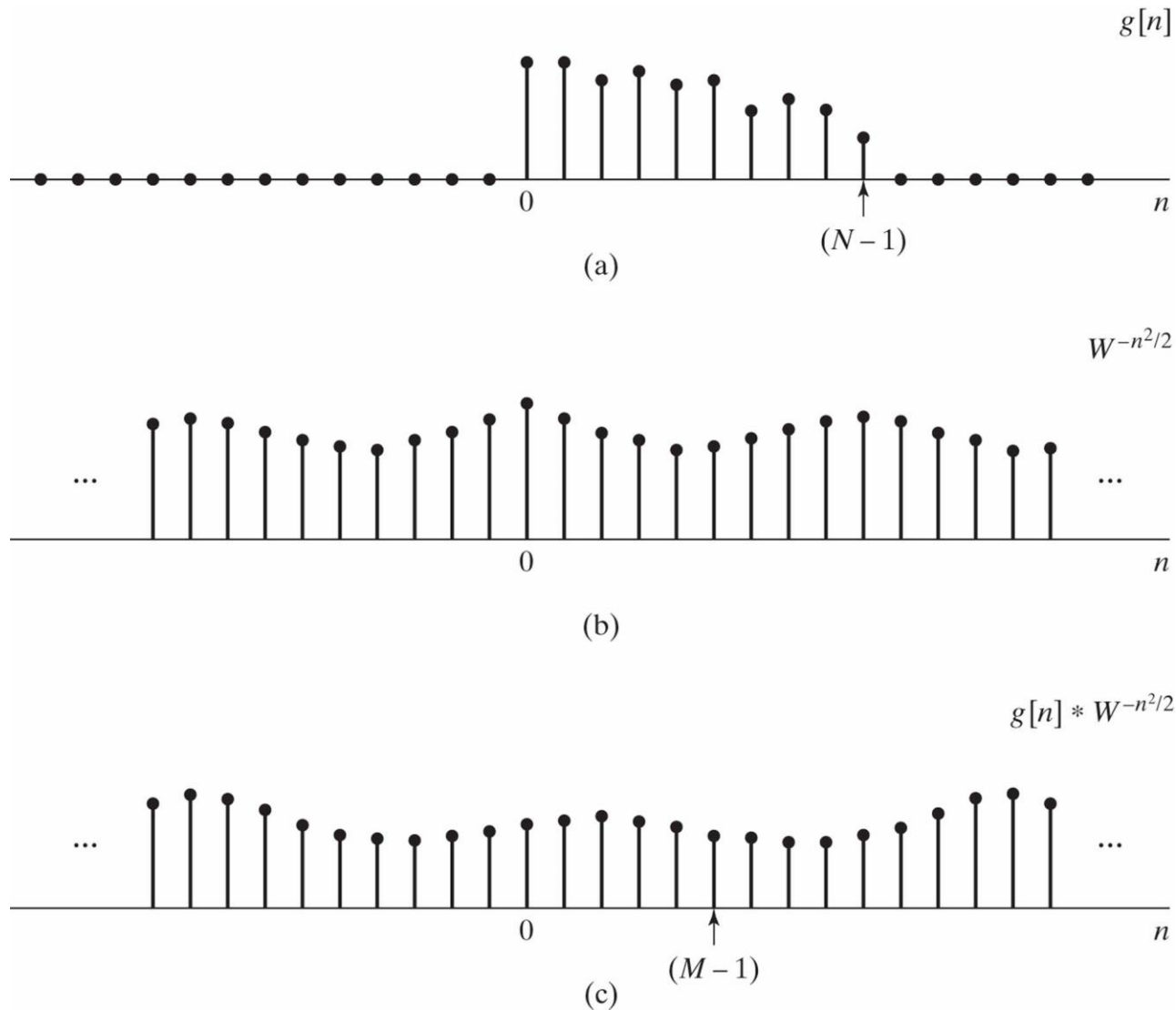
**Figure 9.27** Frequency samples for chirp transform algorithm.



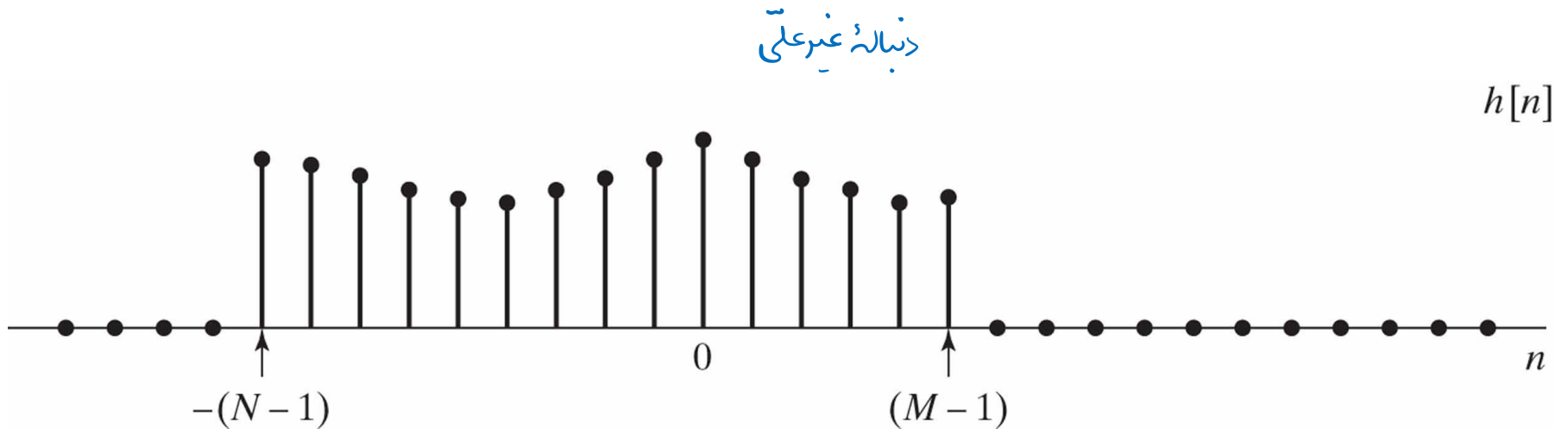
**Figure 9.28** Block diagram of chirp transform algorithm.



**Figure 9.29** An illustration of the sequences used in the chirp transform algorithm. Note that the actual sequences involved are complex valued. (a)  $g[n] = x[n]e^{-j\omega_0 n} W^{n^2/2}$ . (b)  $W^{-n^2/2}$ . (c)  $g[n] * W^{-n^2/2}$ .



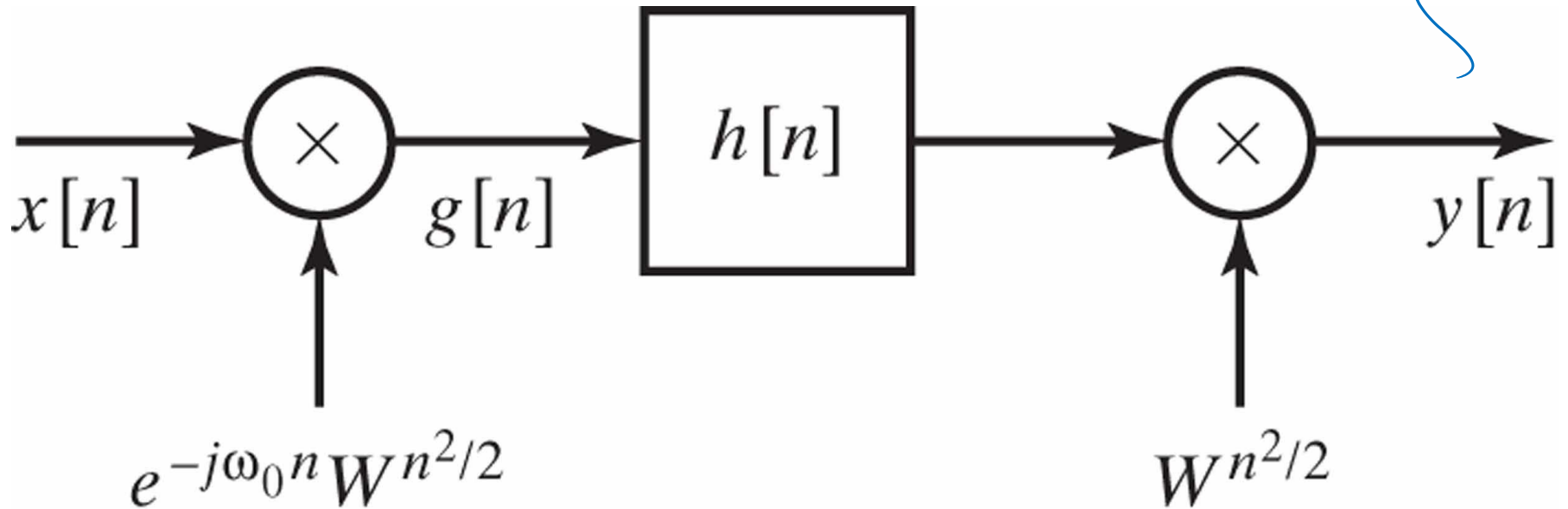
**Figure 9.30** An illustration of the region of support for the FIR chirp filter. Note that the actual values of  $h[n]$  as given by Eq. (9.48) are complex.



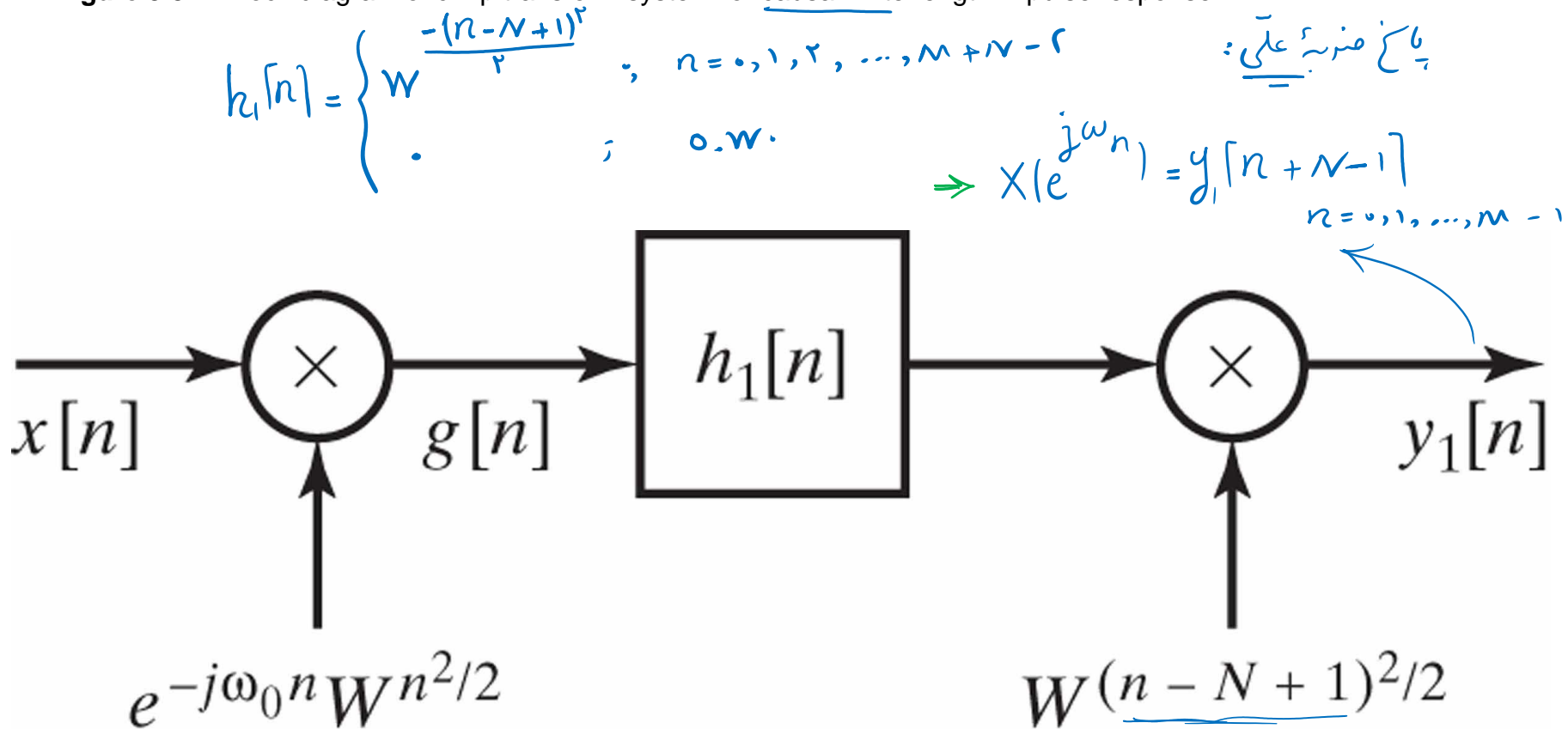
**Figure 9.31** Block diagram of chirp transform system for finite-length impulse response.

$$h[n] = \begin{cases} W^{-\frac{n^2}{2}} & ; \quad -(N-1) \leq n \leq (M-1) \\ 0 \cdot W & . \end{cases}$$

$$X(e^{j\omega n}) = Y[n] \\ n = 0, 1, \dots, M-1$$



**Figure 9.32** Block diagram of chirp transform system for causal finite-length impulse response.



سیستم DFT با استفاده از تبدیل چیرپ

Figure 9.33 Block diagram of chirp transform system for obtaining DFT samples.

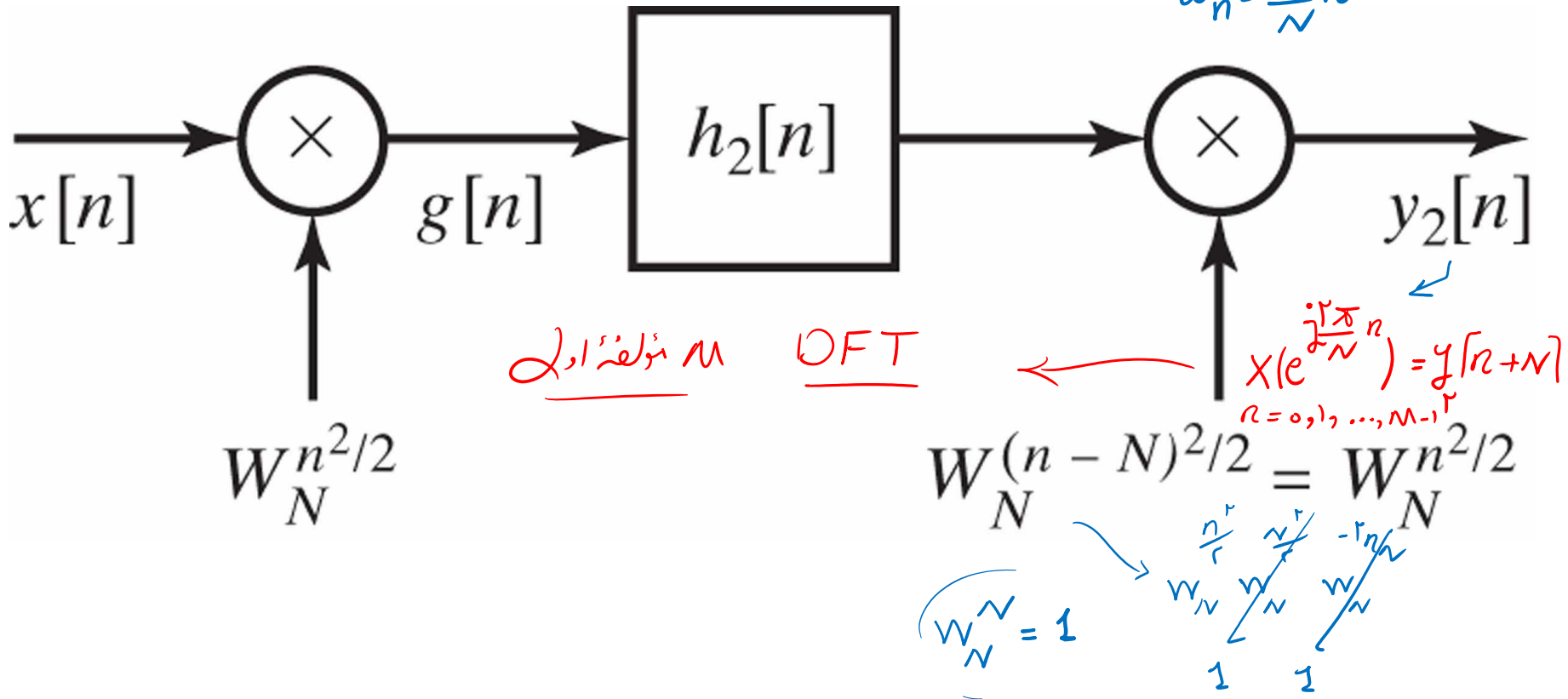
$$h_2[n] = \begin{cases} W_N^{-n^2/2} & ; n=1, 2, \dots, M+N-1 \\ 0 & ; \text{o.w.} \end{cases}$$

ساده‌تری:

$$\omega_0 = 0$$

$$W = e^{-j\frac{2\pi}{N}} \Delta\omega = W_N$$

$$\omega_n = \frac{2\pi}{N} n$$



نمونه: پارسه‌های تبدیل chirp

$N=26$   
 غیر صفر باشد  $n=0, \dots, 25$

فرض کنید  $x[n]$  در بازه

می‌خواهم ۱۶ نمونه از  $X(e^{j\omega})$  را در بازه

$\omega_k = \frac{2\pi}{27} + \frac{2\pi k}{1024}$

$\omega_0 = \frac{2\pi}{27}, \Delta\omega = \frac{2\pi}{1024}$

$W = e^{-j\Delta\omega} = e^{-j\frac{2\pi}{1024}}$

$n+N-1 = 16+26-1 = 41$

Fig 9.32

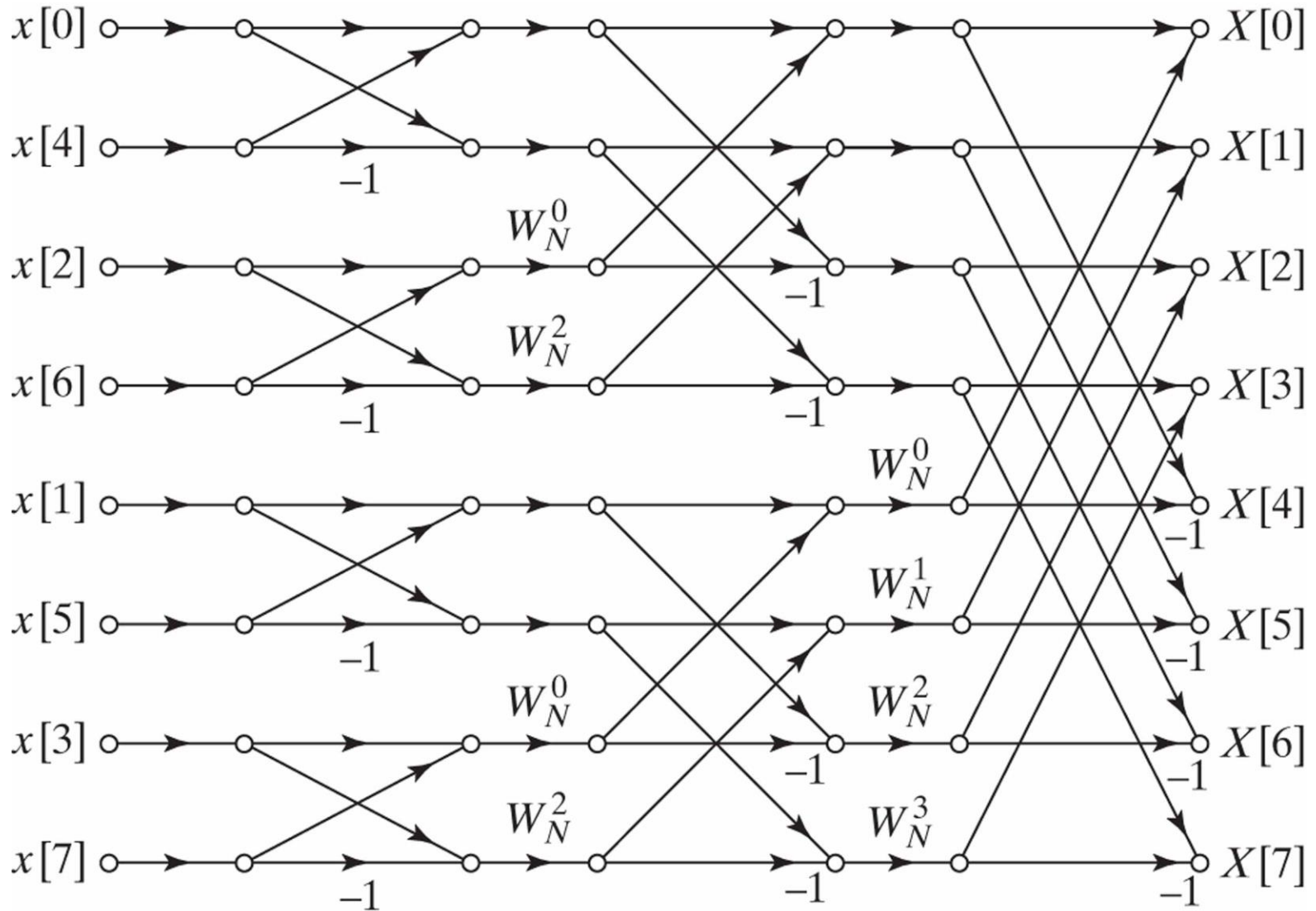
$h_1[n] = \begin{cases} e^{-j\frac{2\pi}{1024}n} \frac{-(n-2\omega)^2}{2} & , n=0, \dots, 40 \\ 0 & ; \text{o.w} \end{cases}$

$y_1[n+2\omega] = X(e^{j\omega_n})$

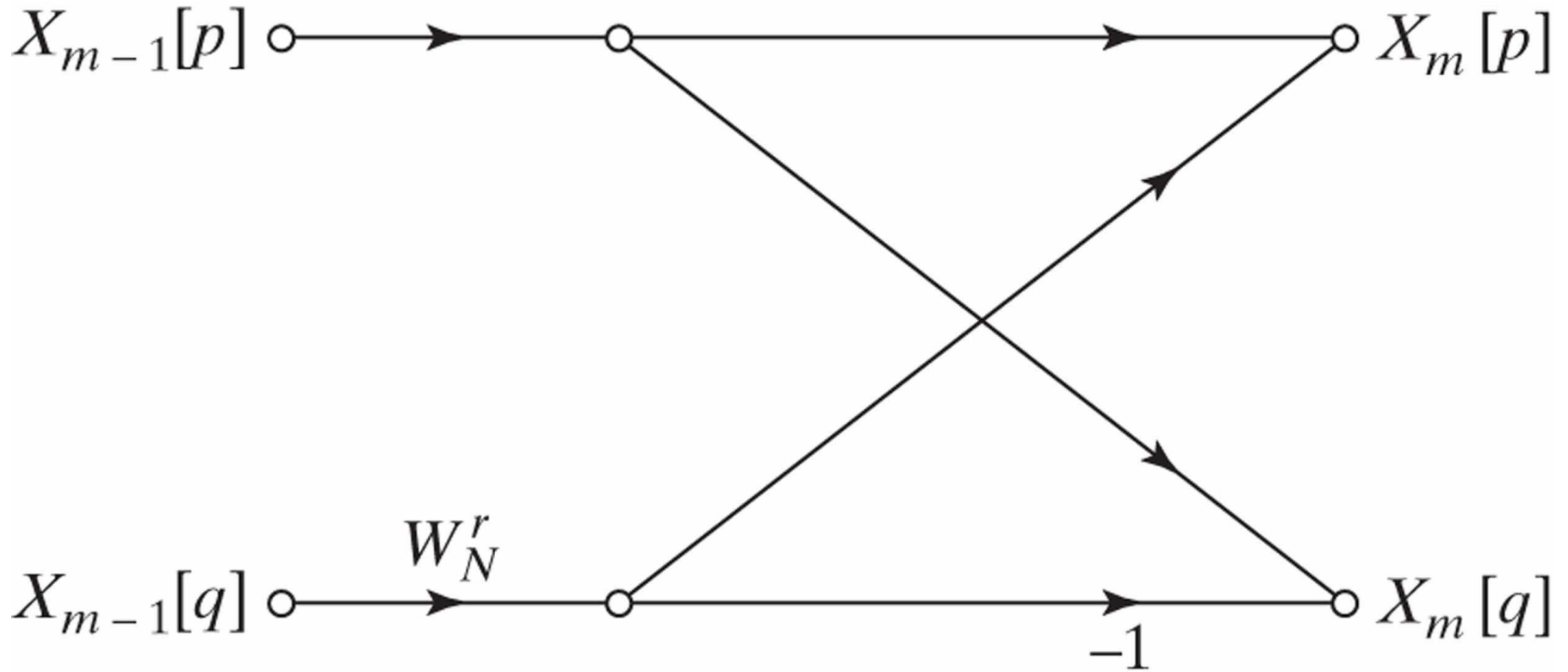
$\omega_n = \frac{2\pi}{27} + \frac{2\pi n}{1024}; n=0, 1, \dots, 15$



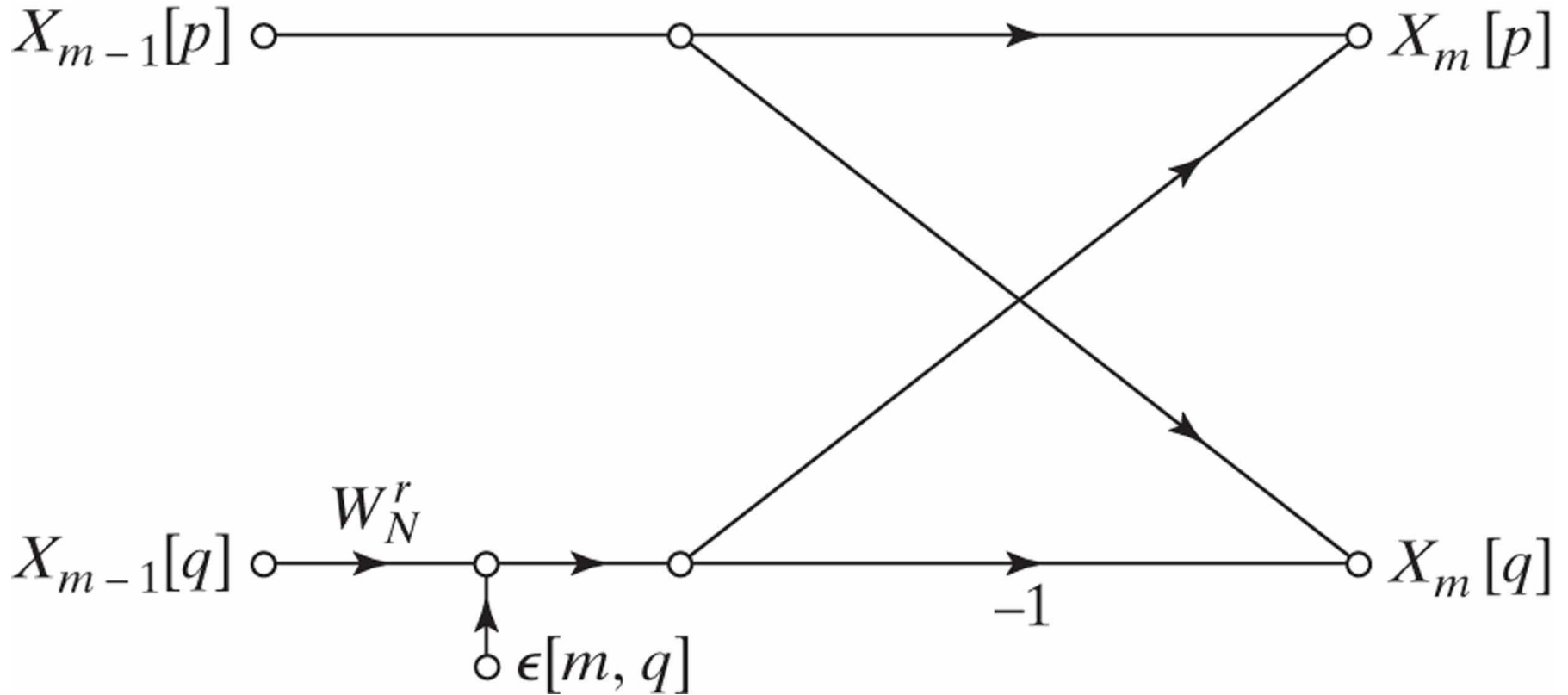
**Figure 9.34** Flow graph for decimation-in-time FFT algorithm.



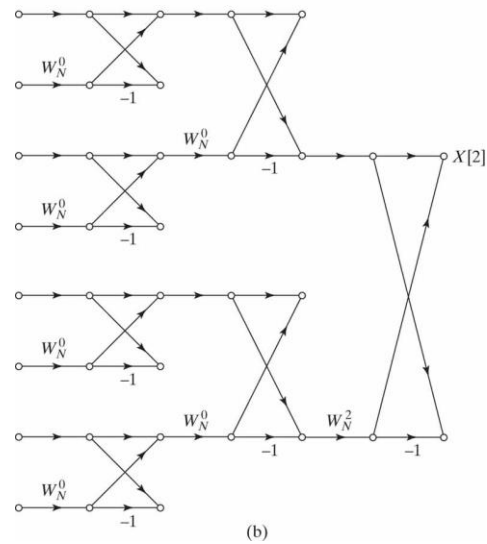
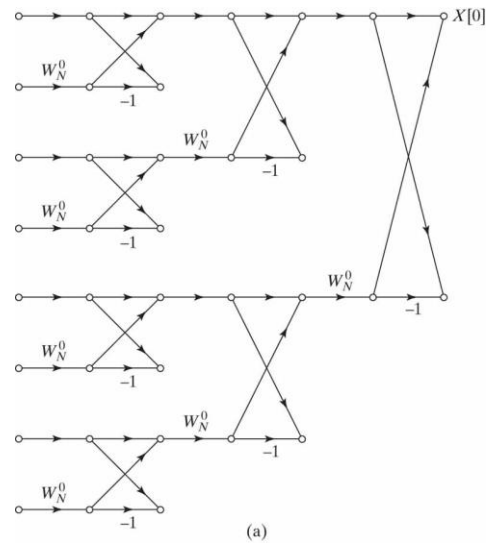
**Figure 9.35** Butterfly computation for decimation-in-time.



**Figure 9.36** Linear-noise model for fixed-point round-off noise in a decimation-in-time butterfly computation.



**Figure 9.37** (a) Butterflies that affect  $X[0]$ ; (b) butterflies that affect  $X[2]$ .



**Figure 9.38** Butterfly showing scaling multipliers and associated fixed-point round-off noise.

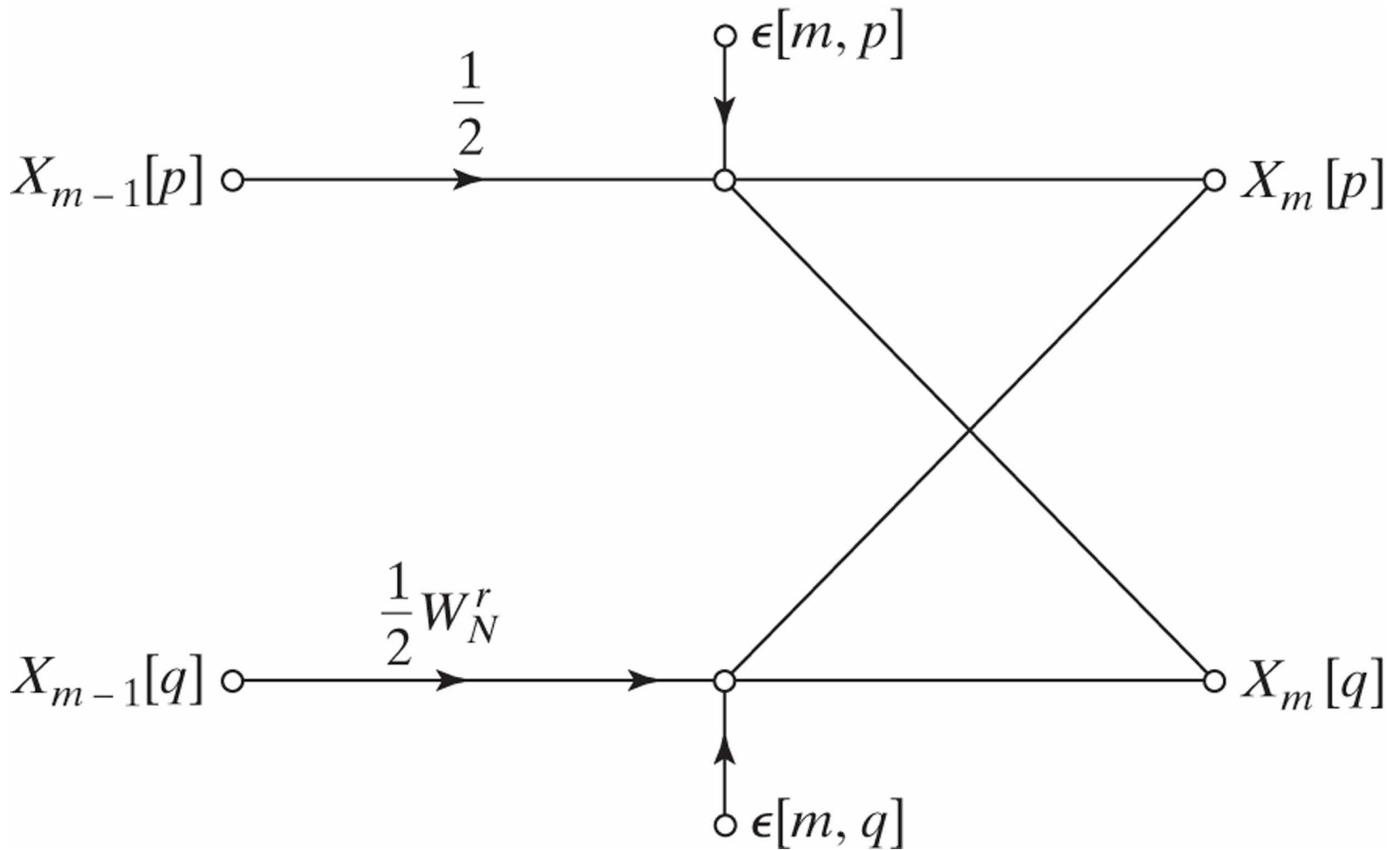


Figure P9.4

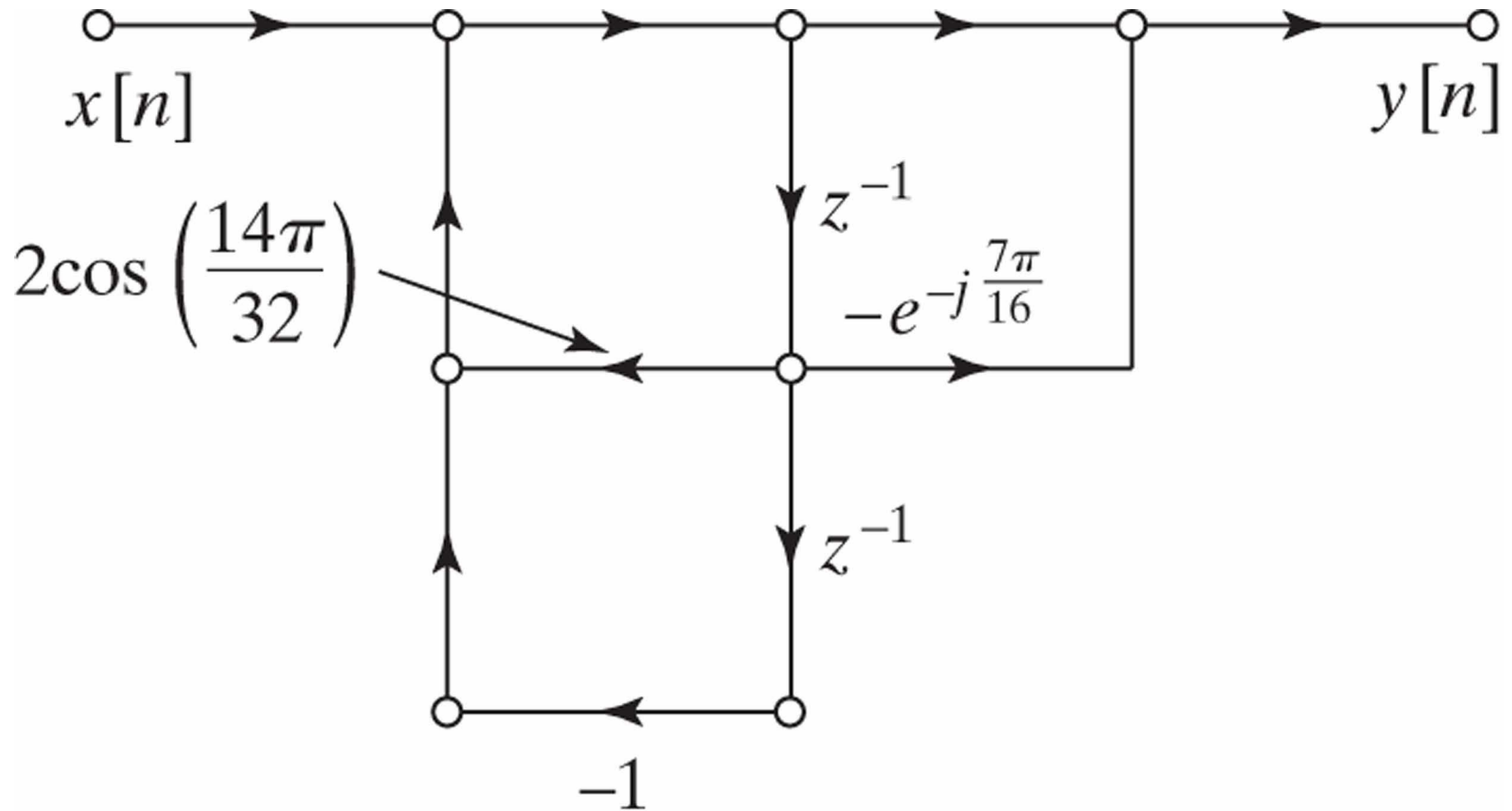


Figure P9.5

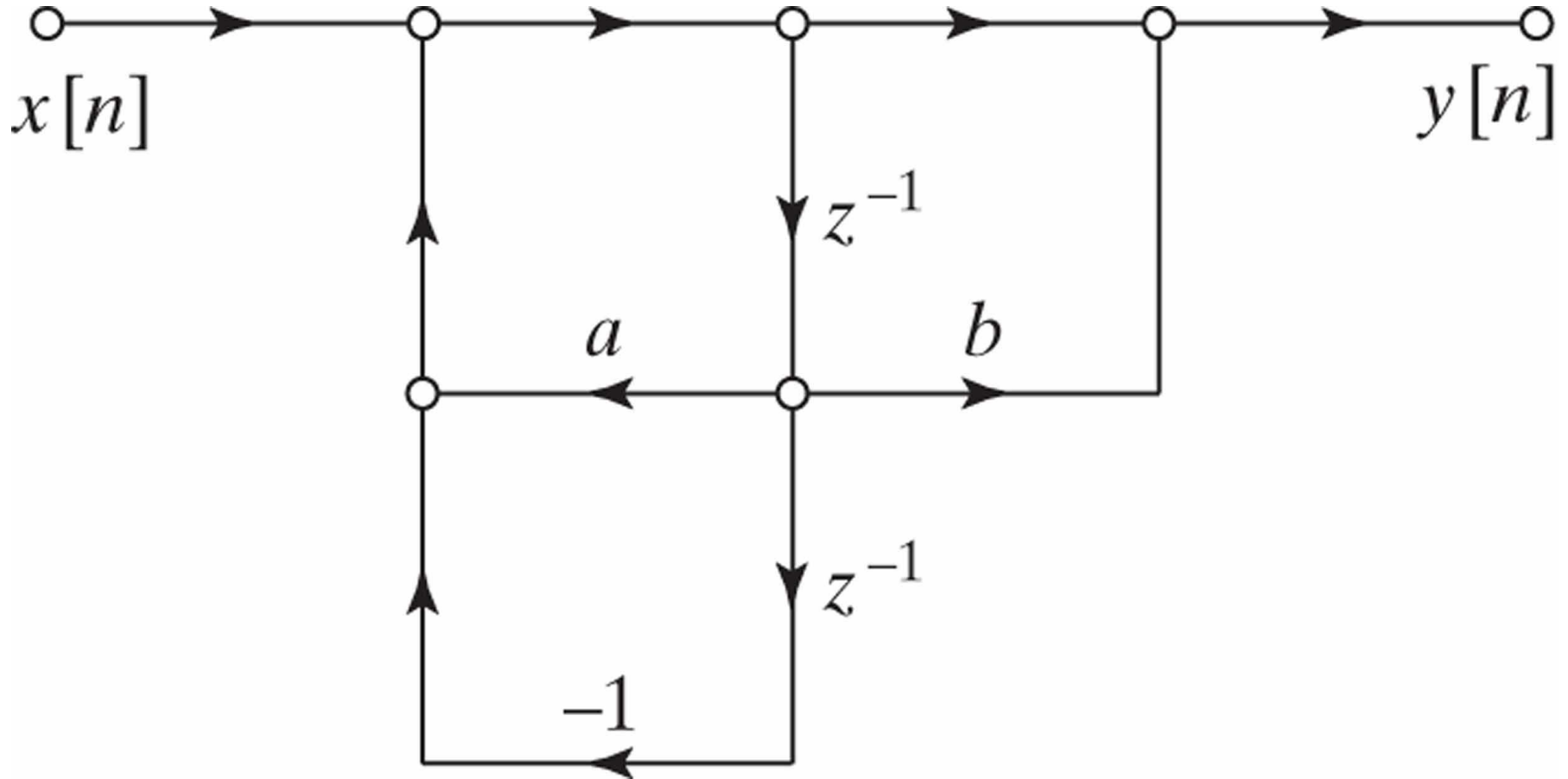


Figure P9.6

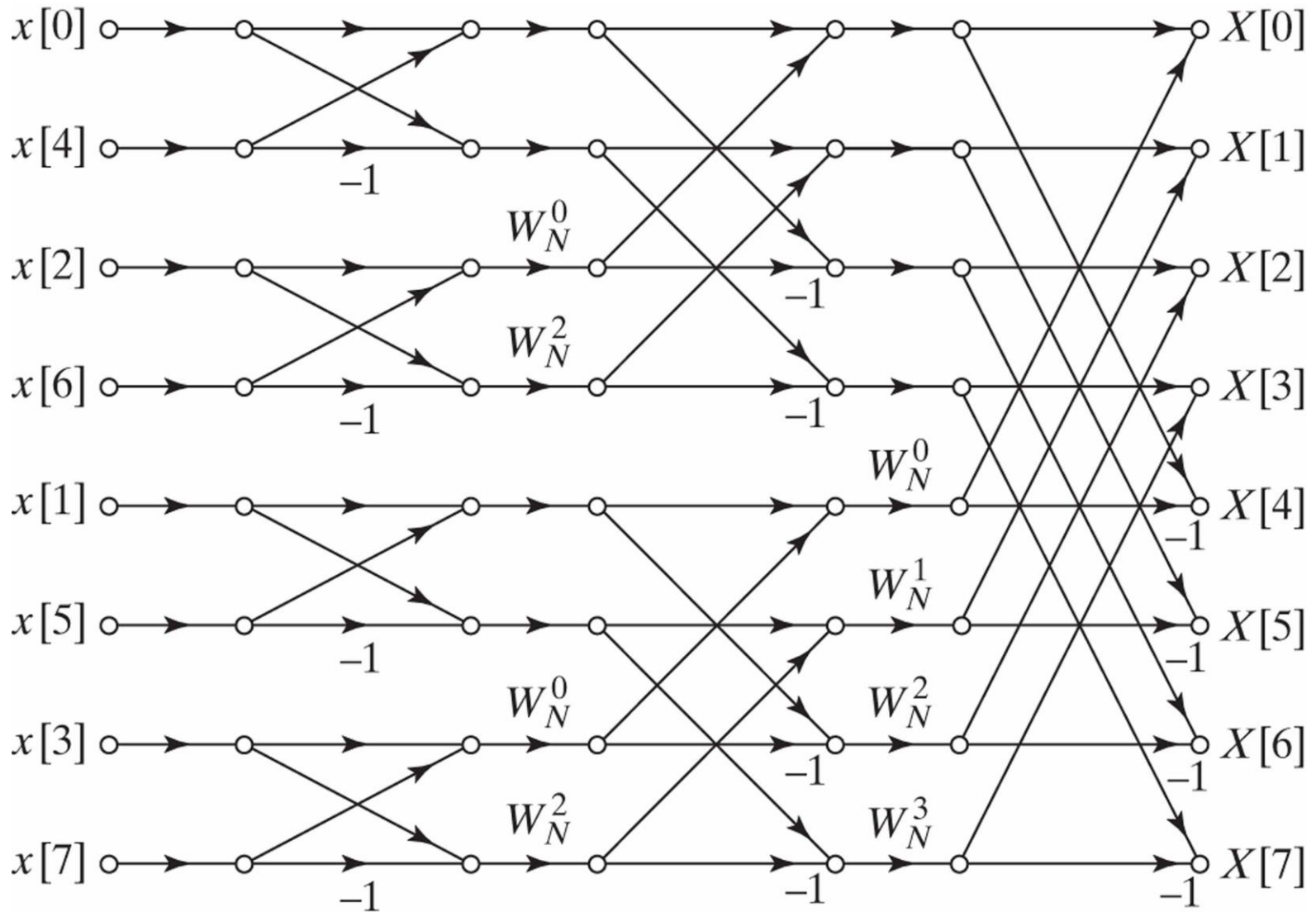




Figure P9.7

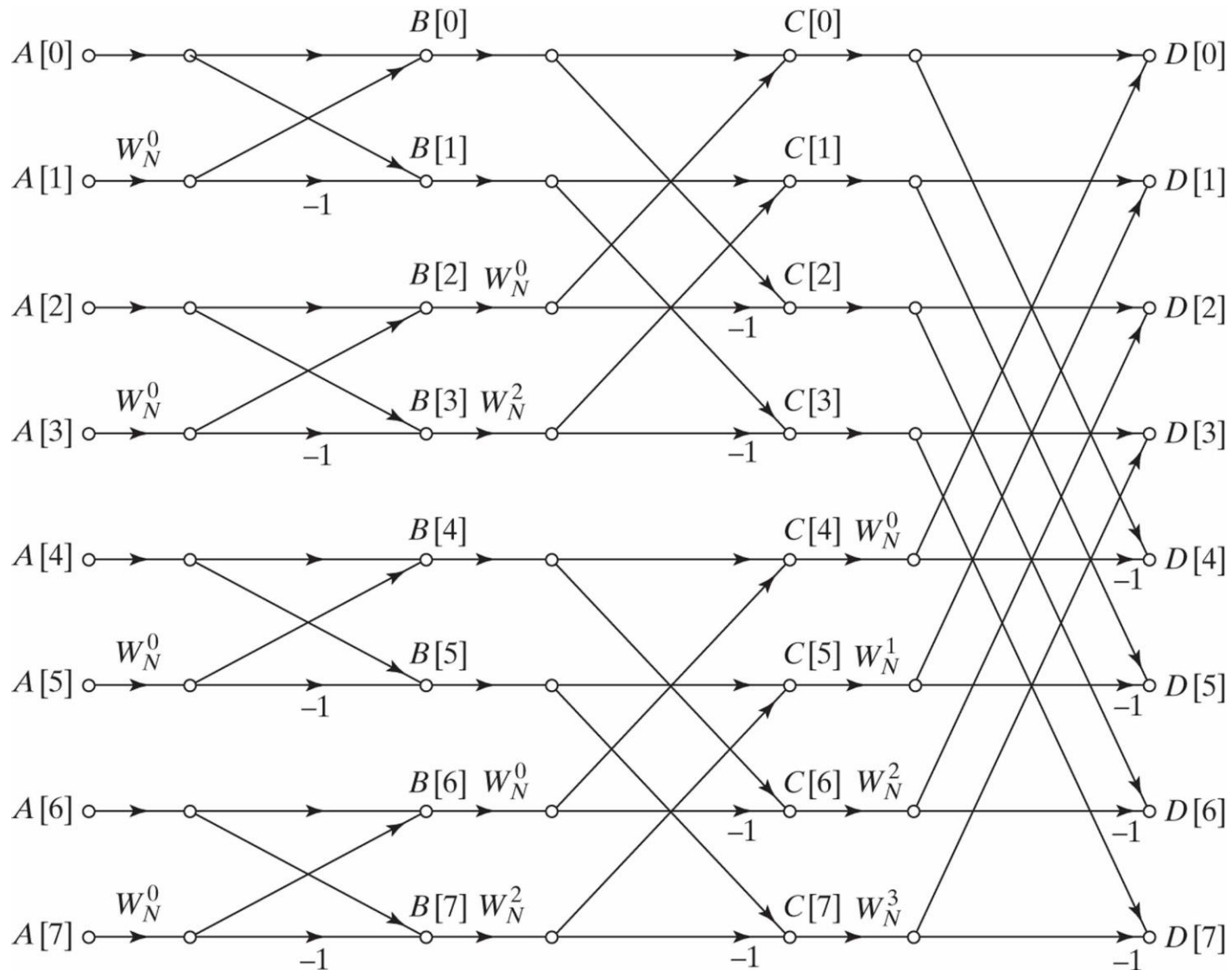


Figure P9.9

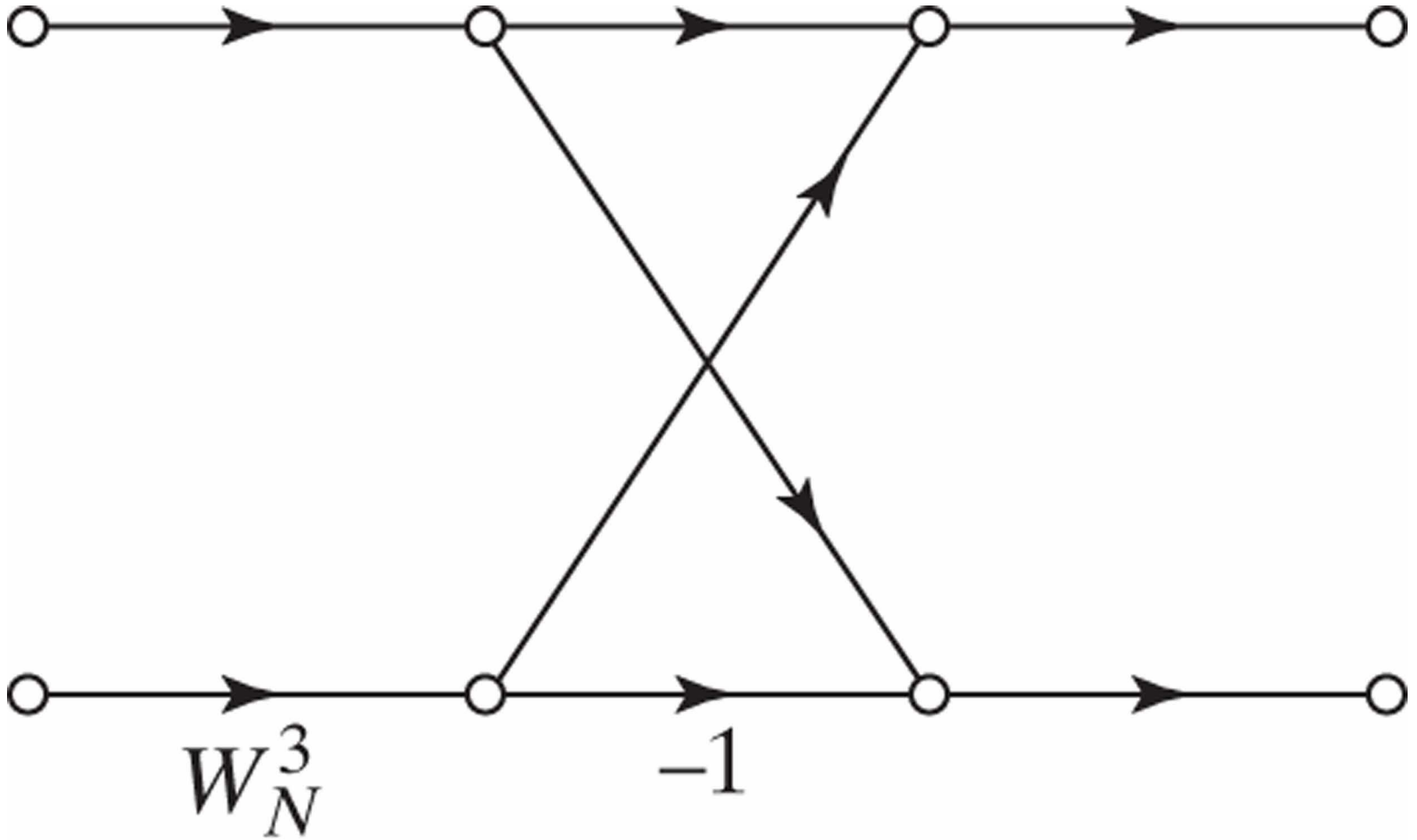


Figure P9.10

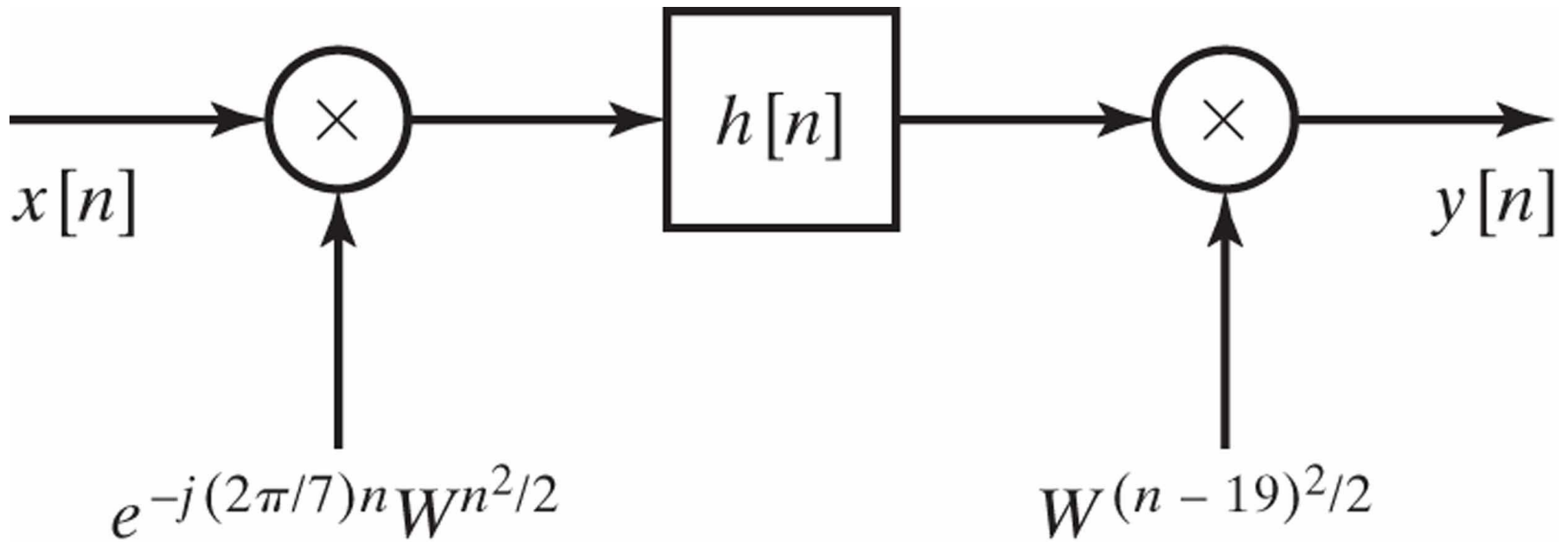


Figure P9.12

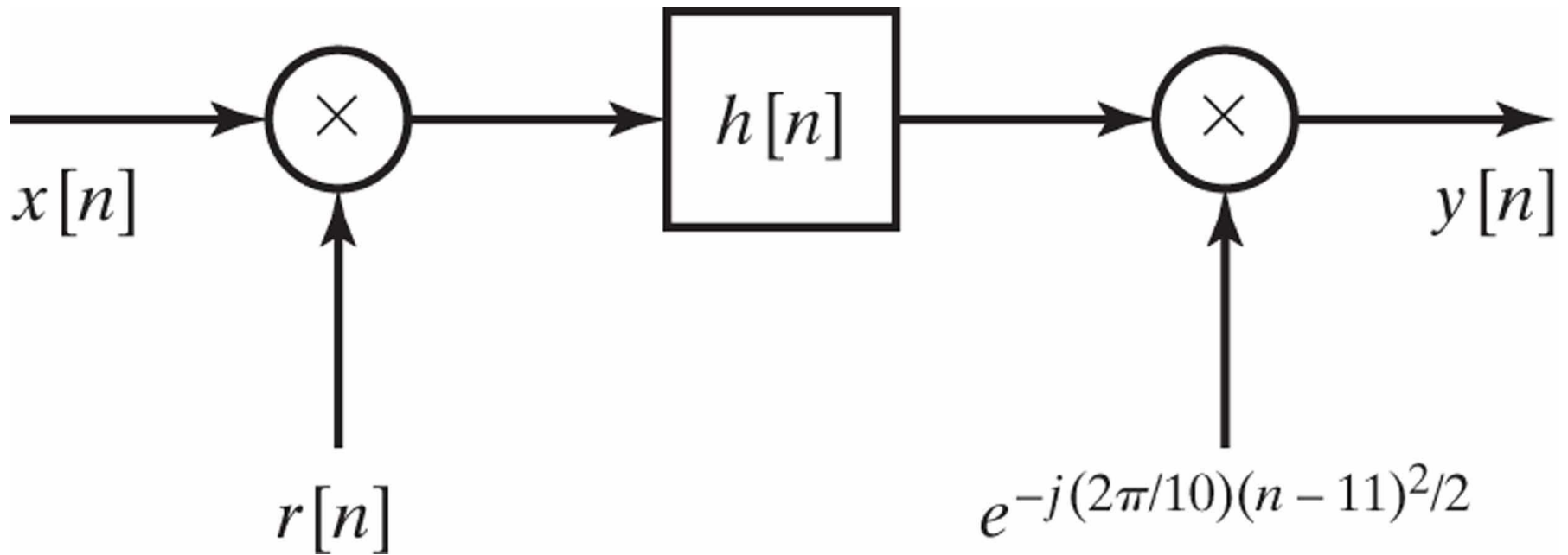


Figure P9.15

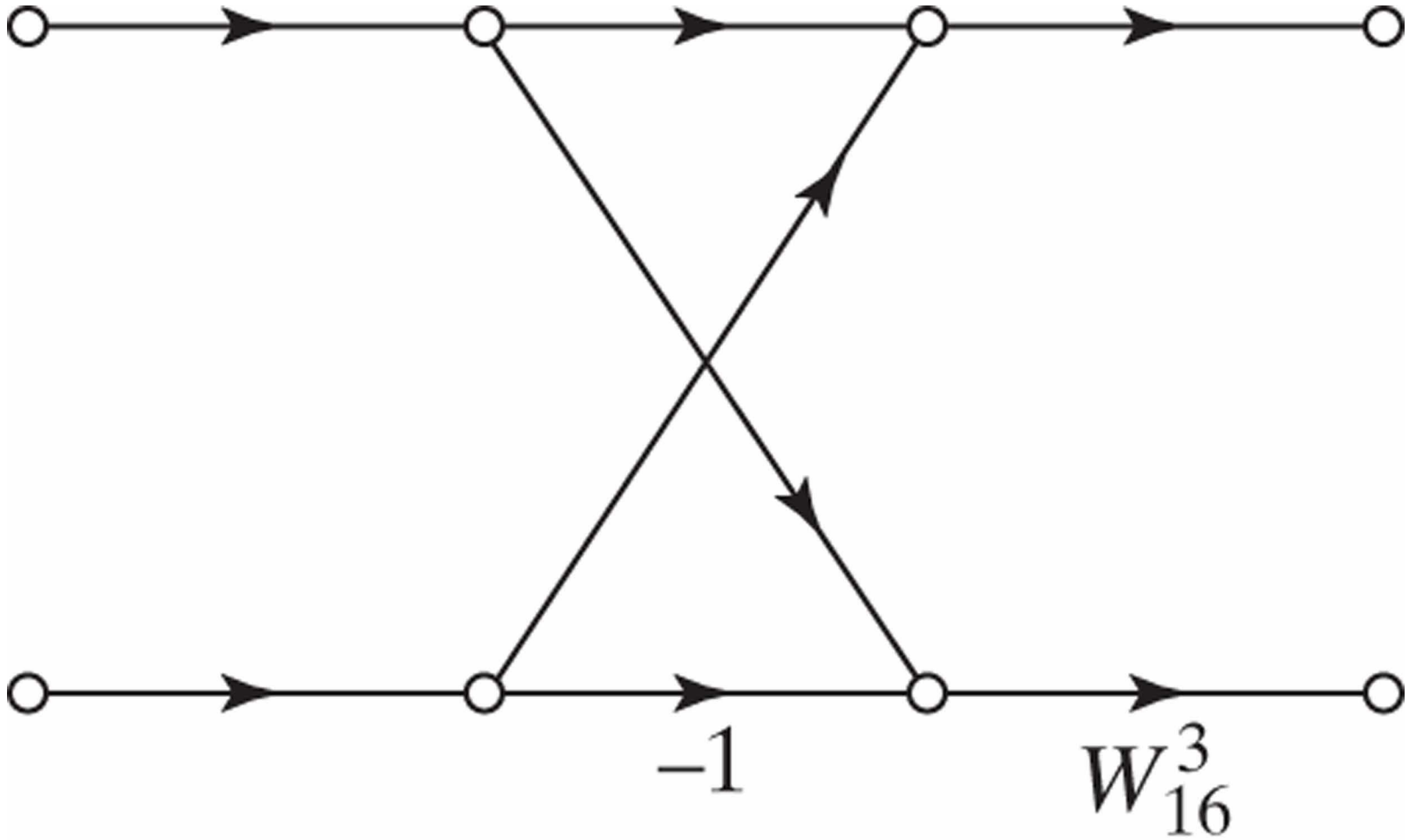


Figure P9.16

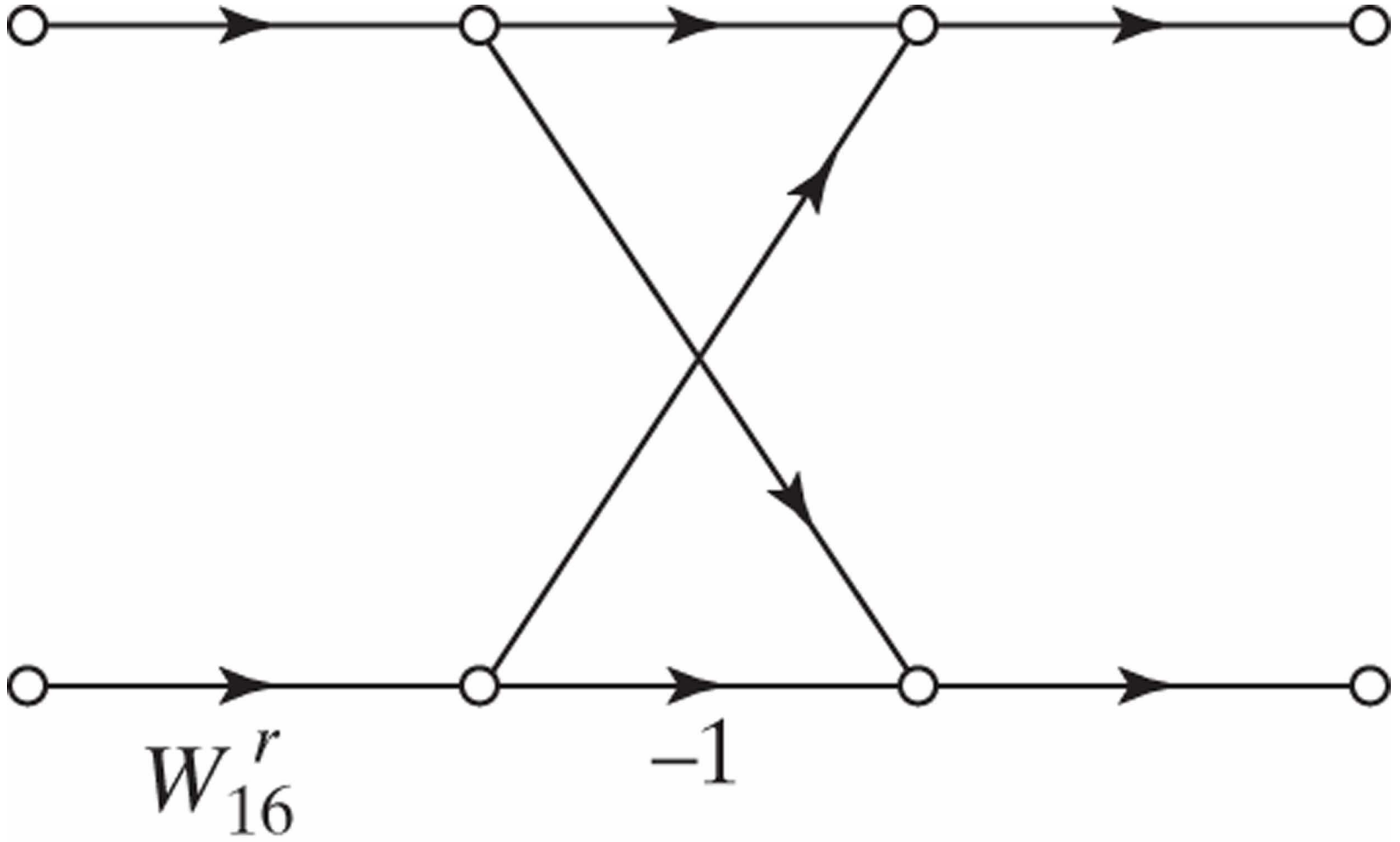


Figure P9.18

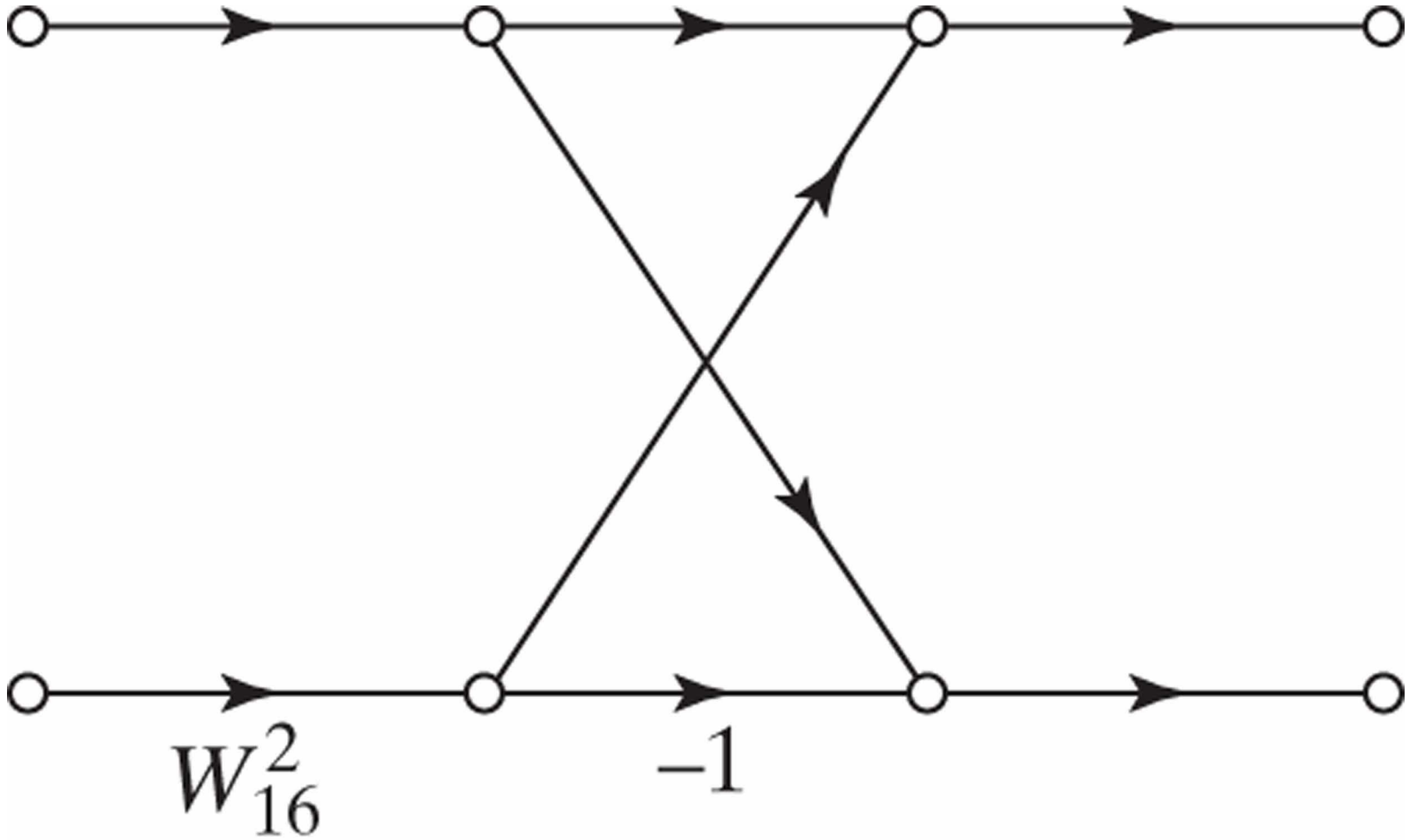


Figure P9.21-1

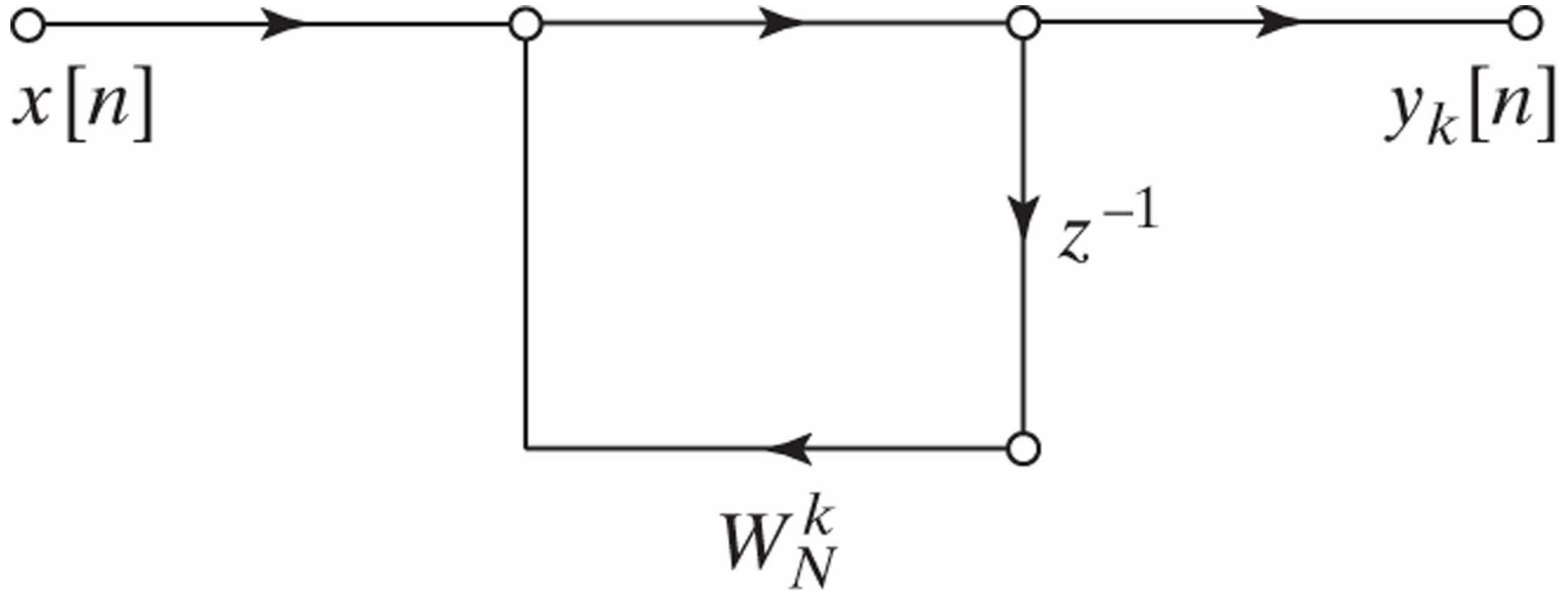




Figure P9.21-2

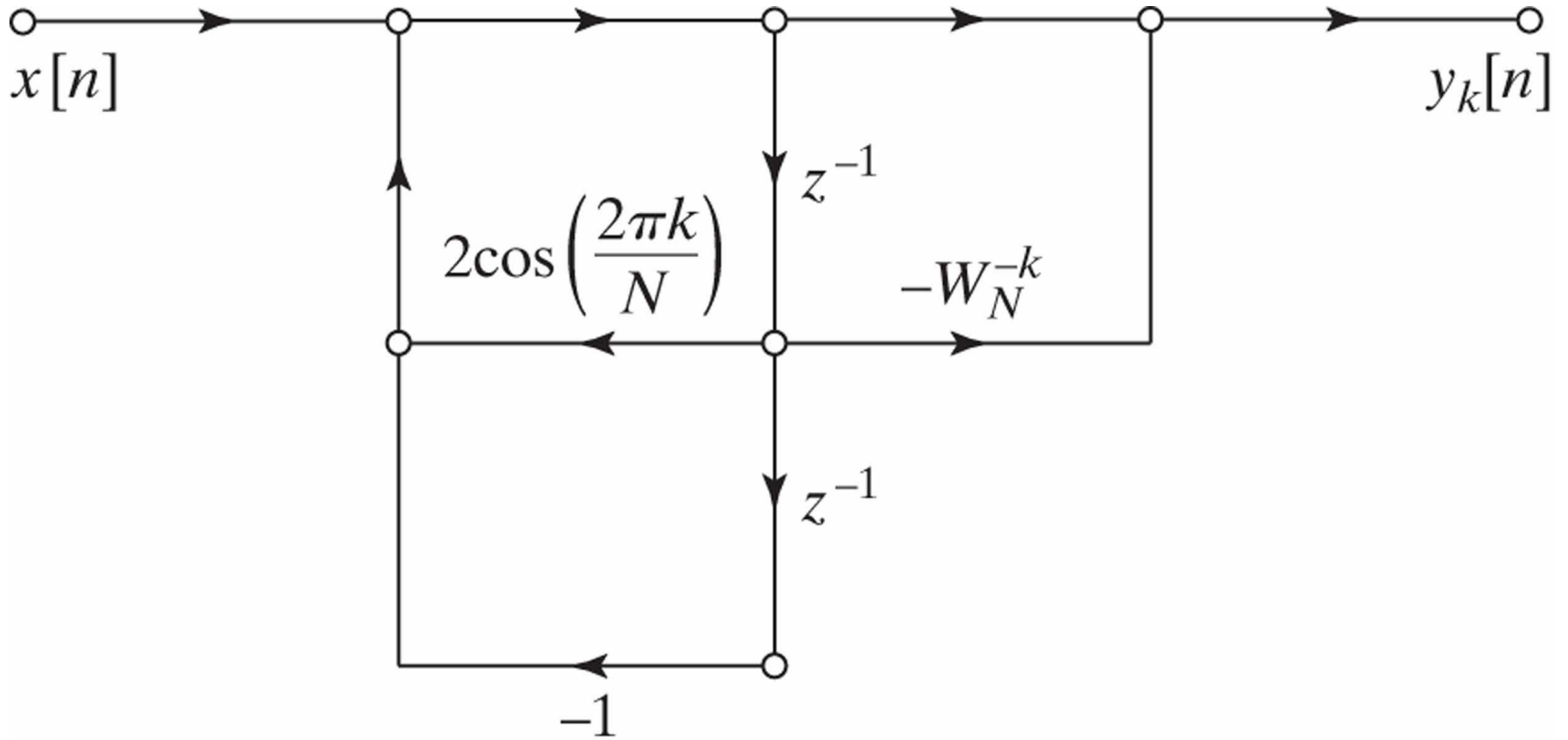


Figure P9.22

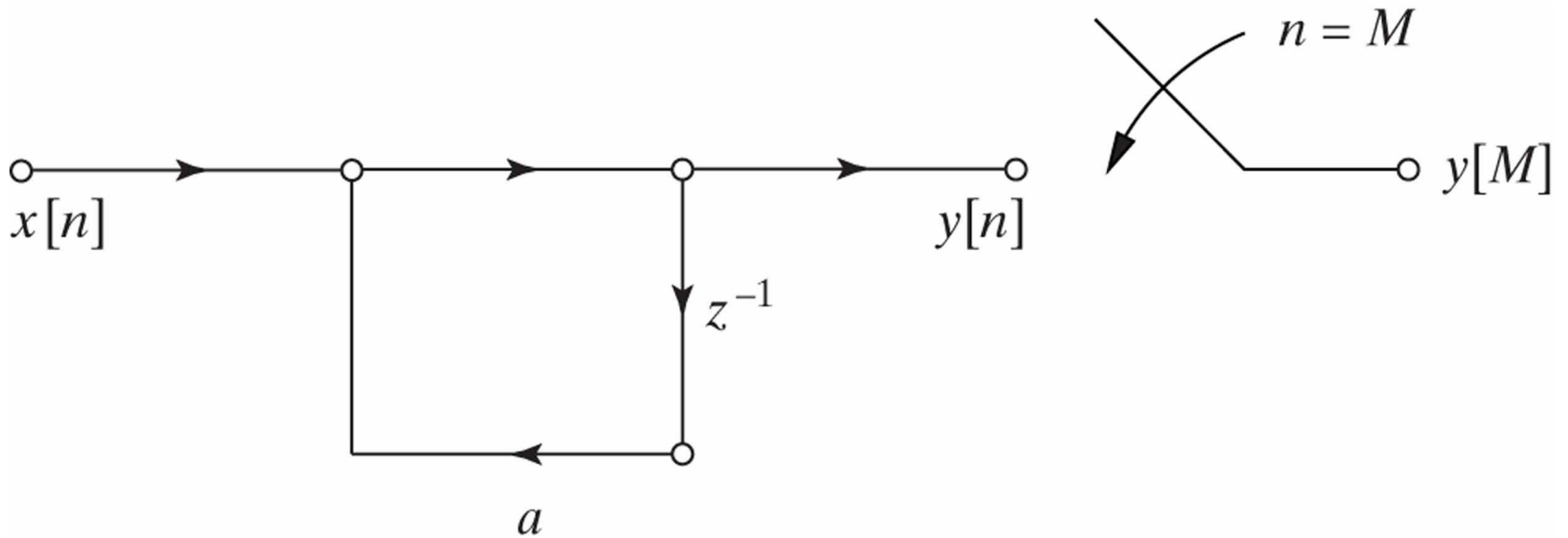


Table 9.1

**TABLE 9.1**

Module	Per-Unit Cost
8-point DFT	\$1
8-point IDFT	\$1
adder	\$10
multiplier	\$100

Figure P9.30

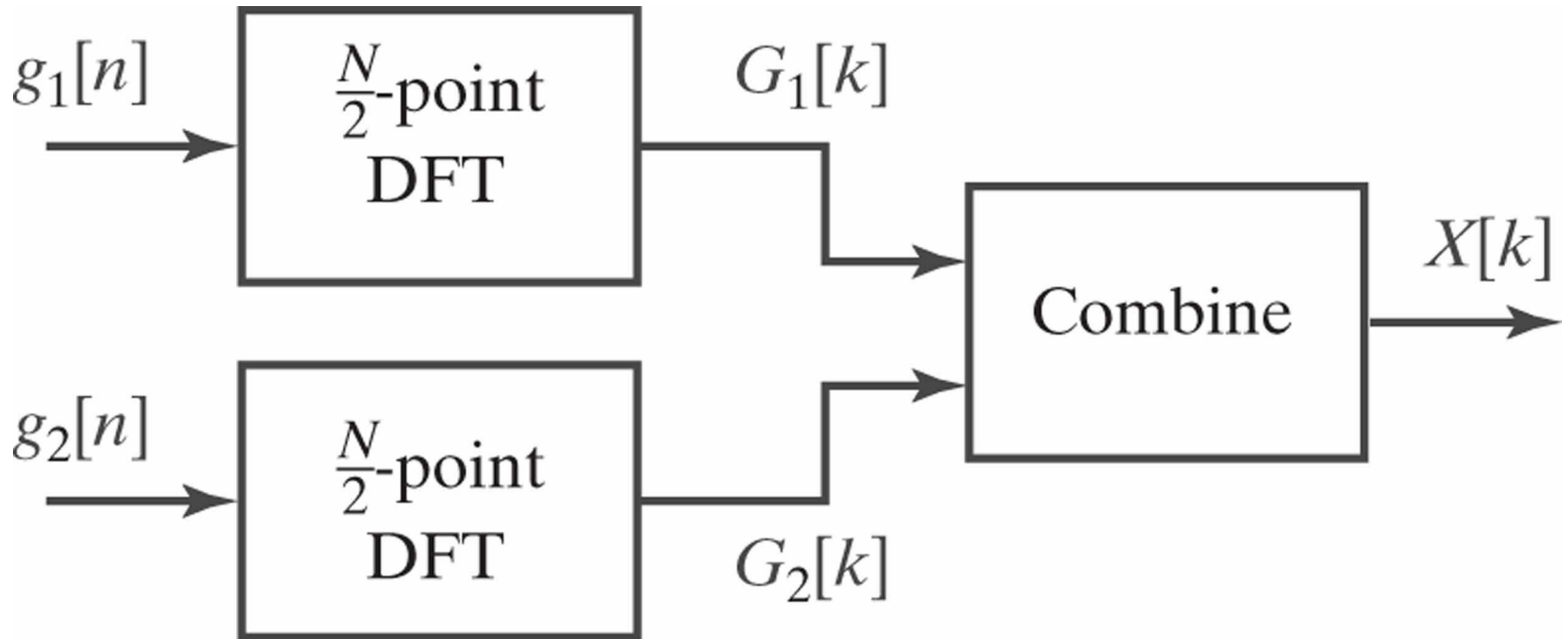


Figure P9.31-1

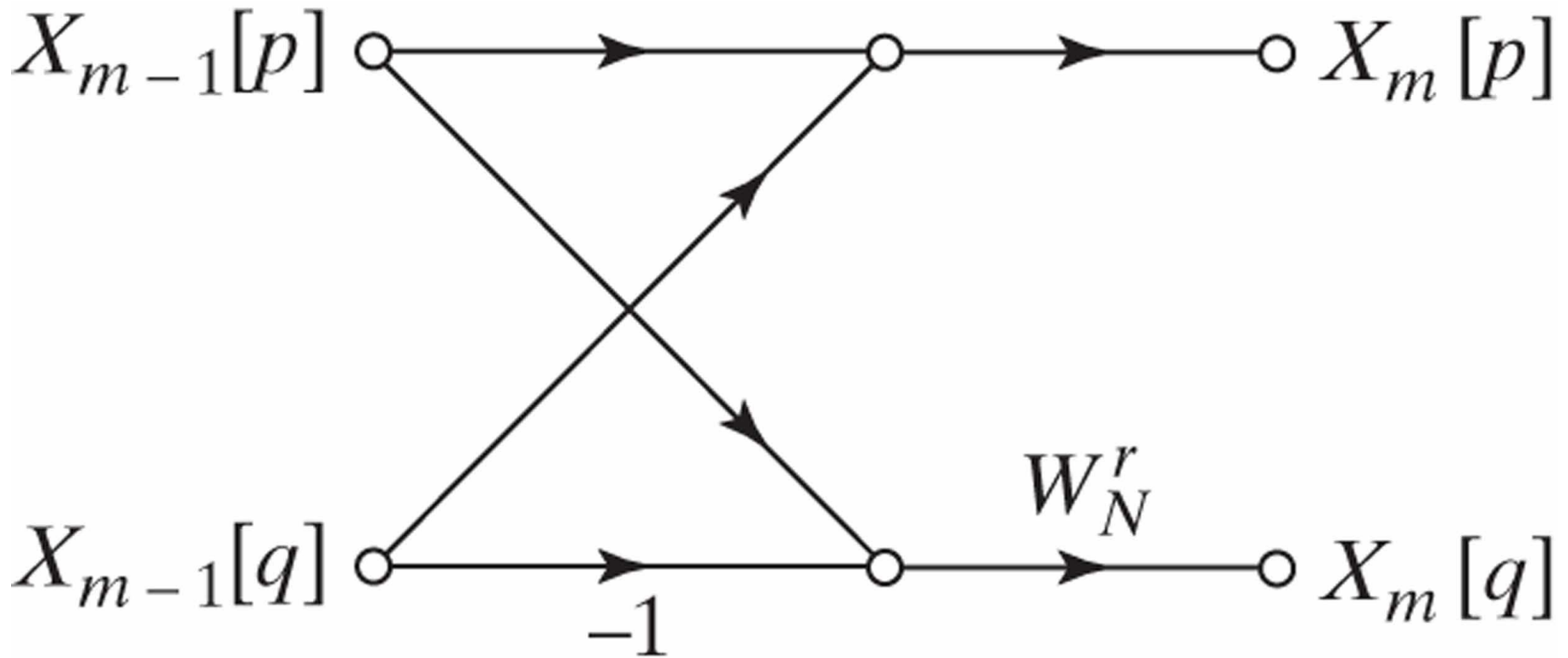


Figure P9.31-2

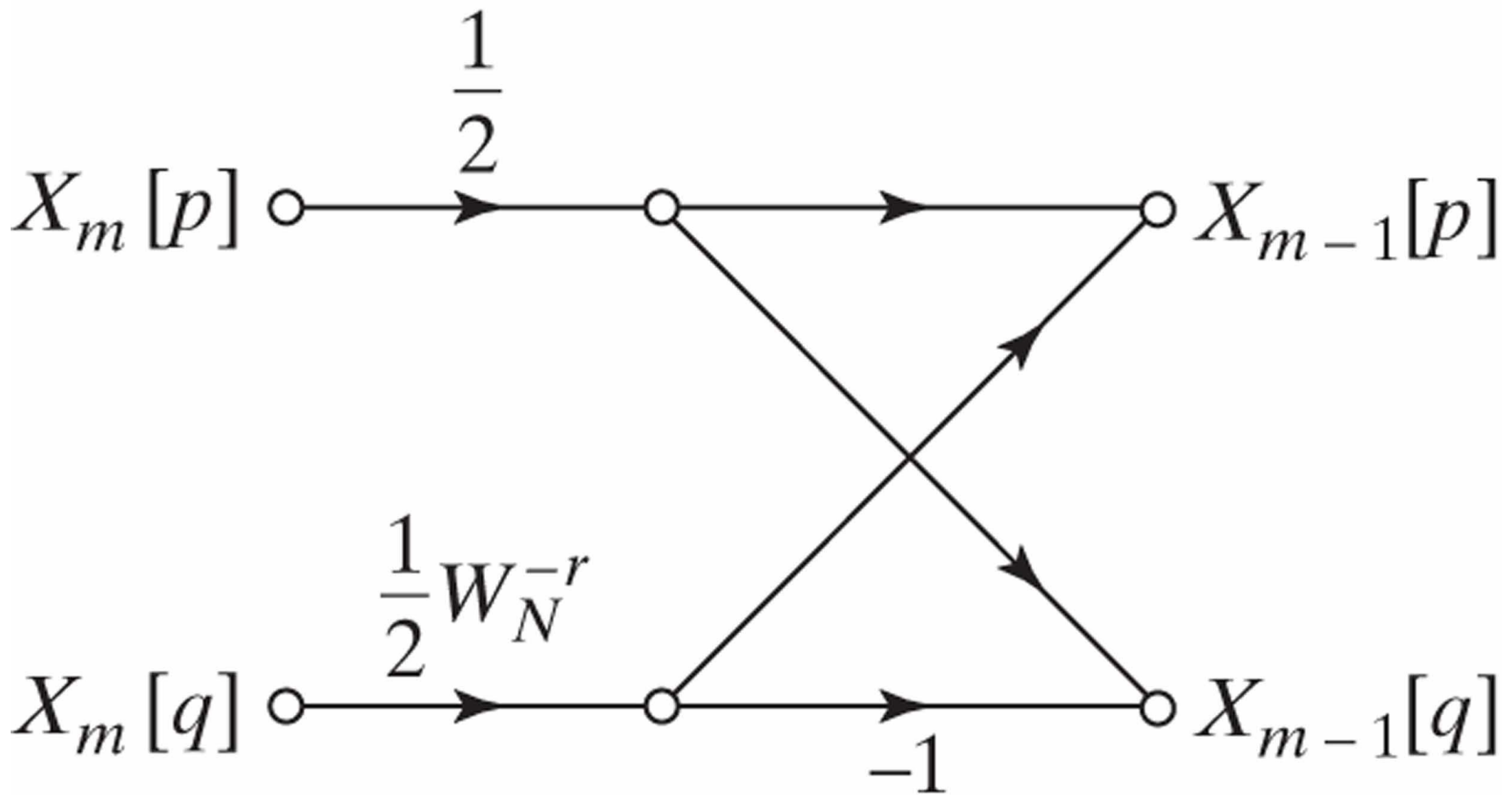


Figure P9.32-1

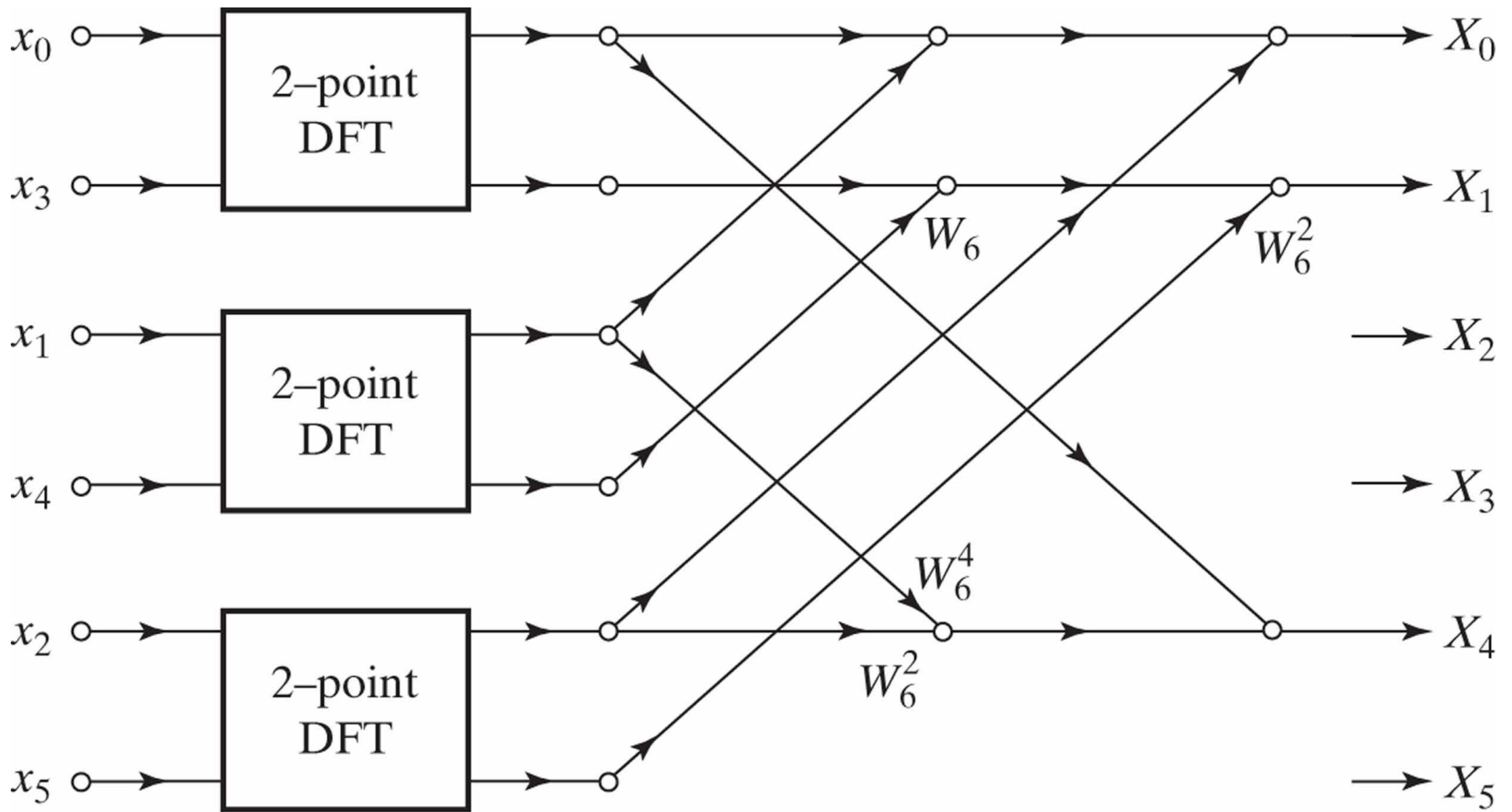


Figure P9.32-2

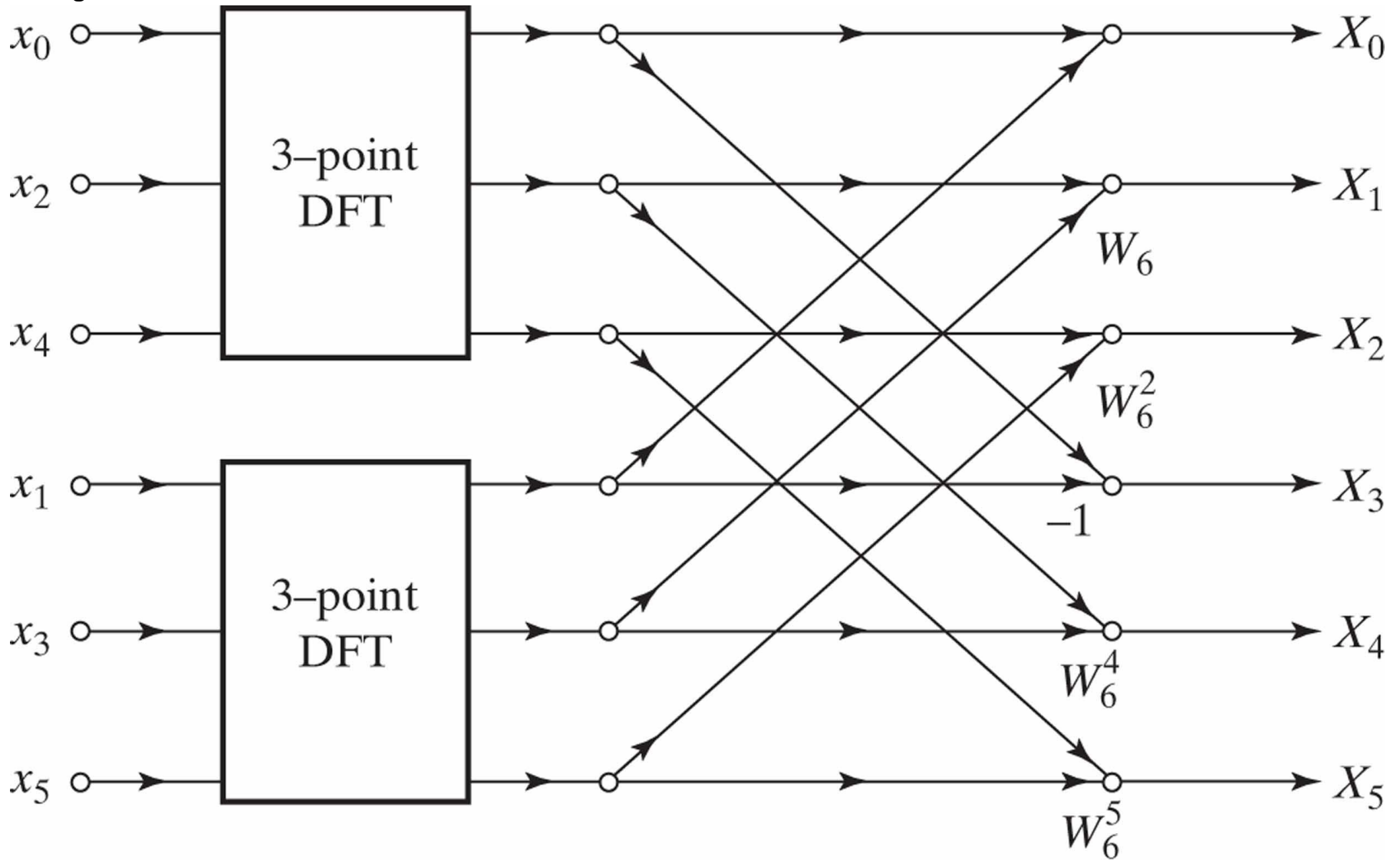




Figure P9.34-1

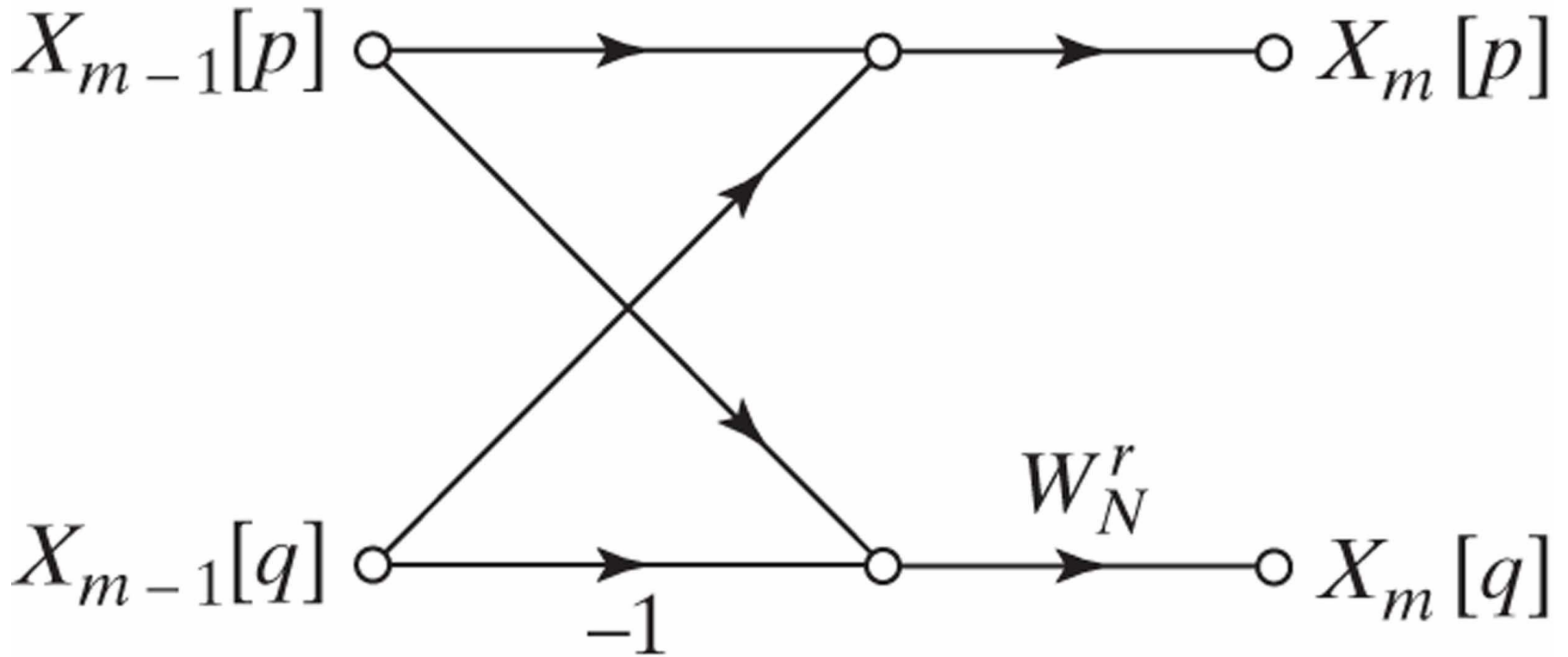


Figure P9.34-2

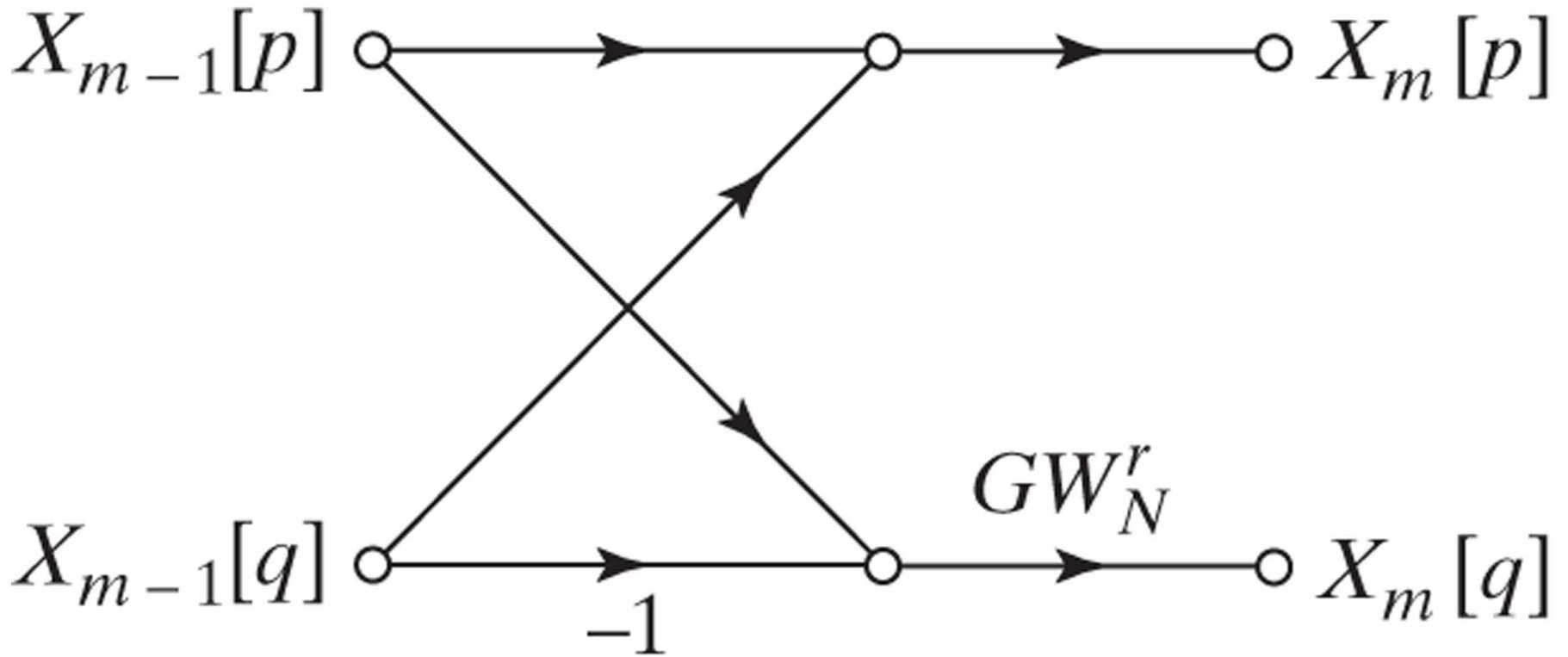


Figure P9.34-3

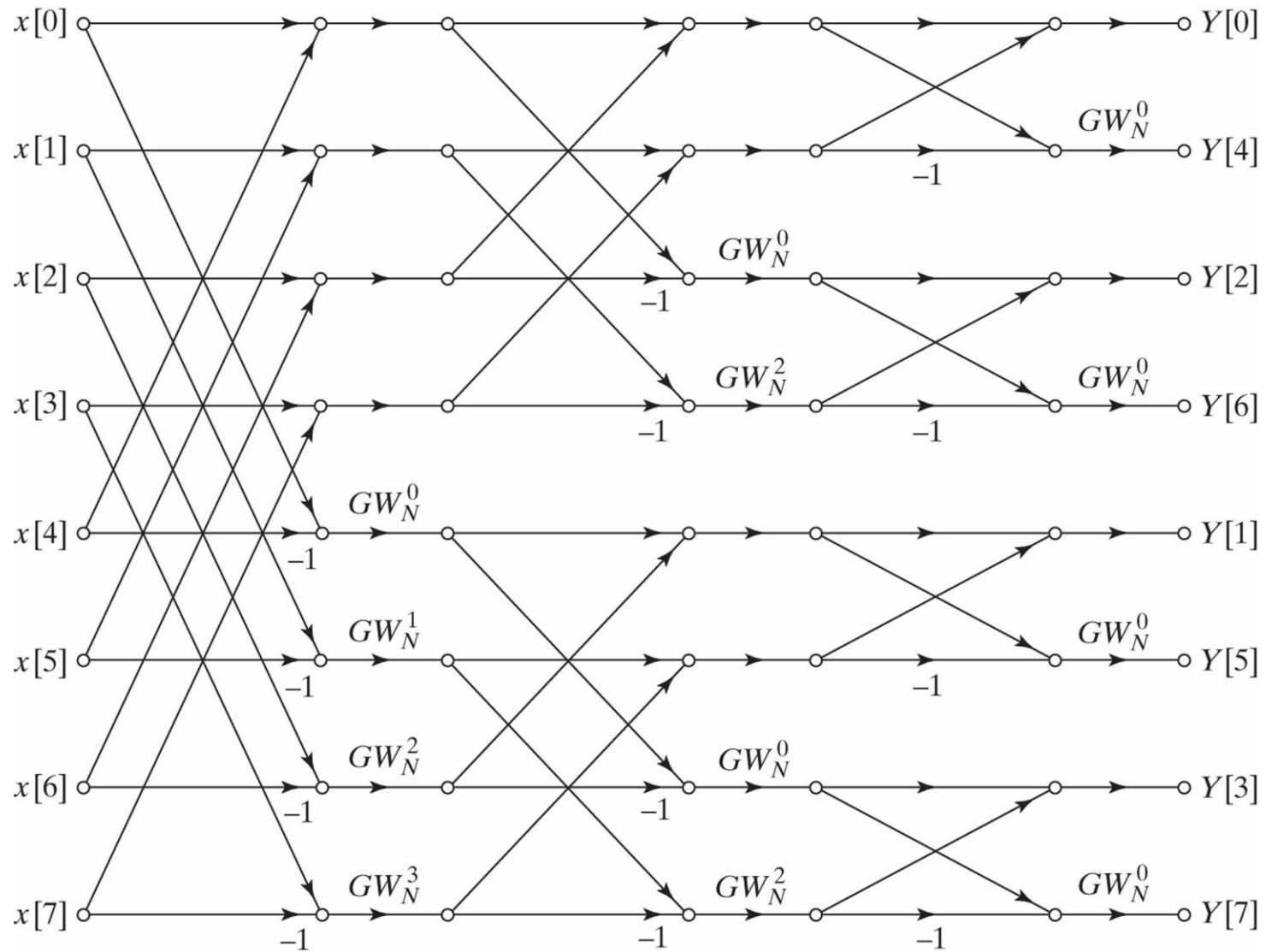


Figure P9.36

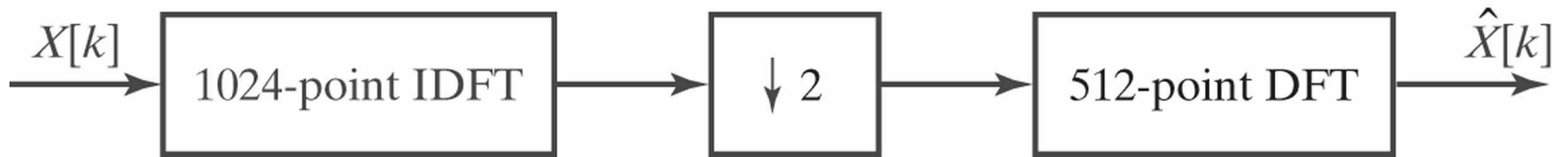


Figure P9.40

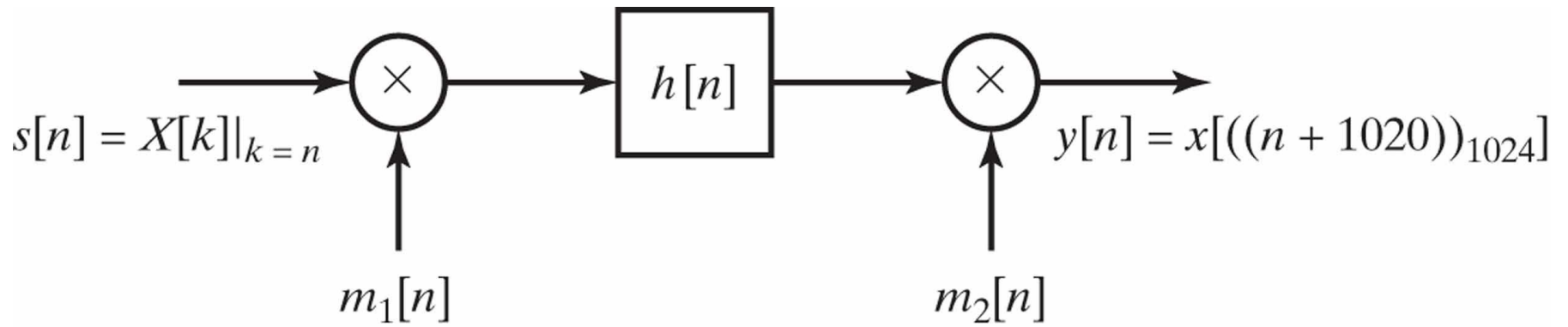


Figure P9.42-1

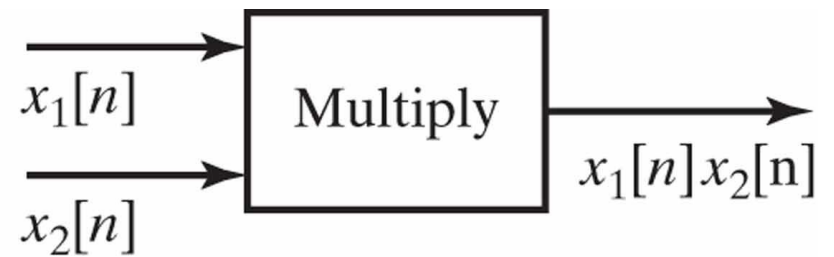
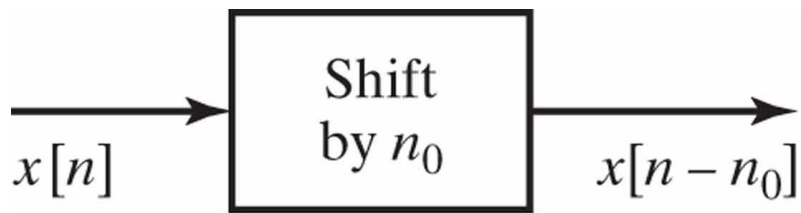
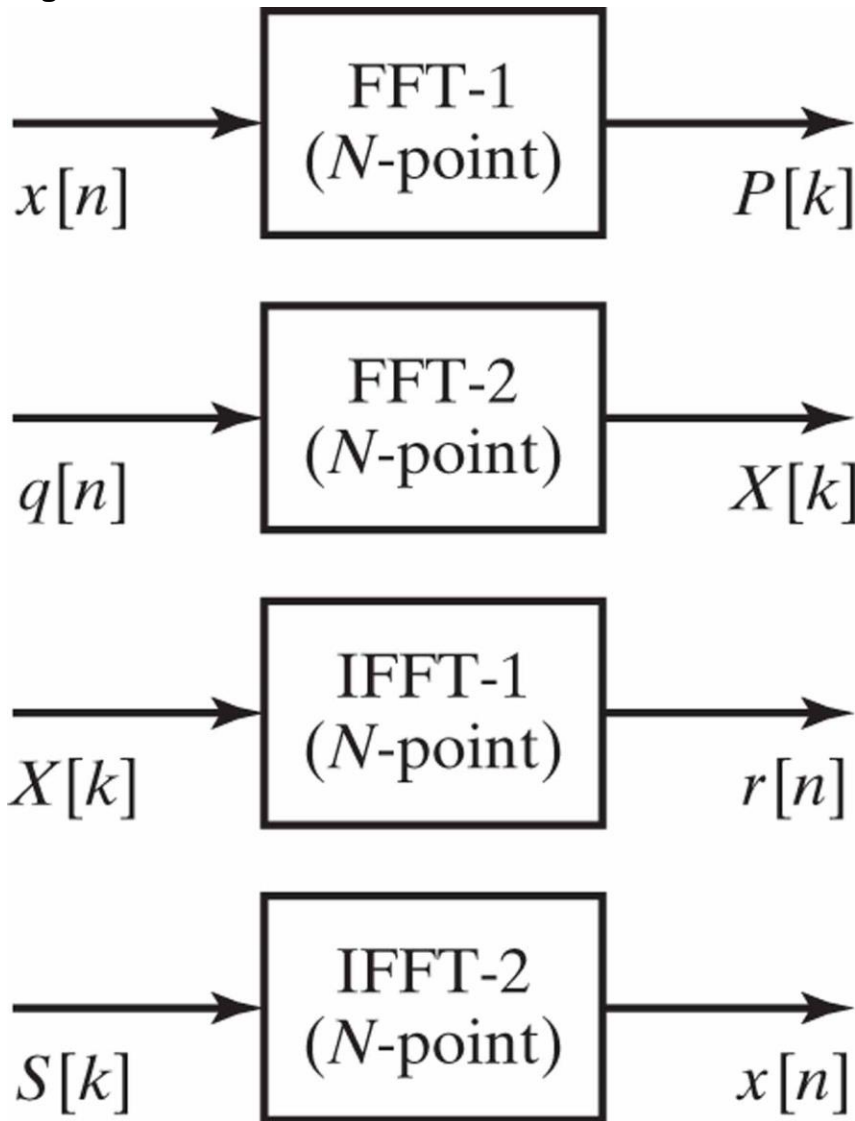


Figure P9.42-2



where  $P[k]$  is  $X[k]$  in bit-reversed order.

where  $q[n]$  is  $x[n]$  in bit-reversed order.

where  $r[n]$  is  $x[n]$  in bit-reversed order.

where  $S[k]$  is  $X[k]$  in bit-reversed order.

Figure P9.43

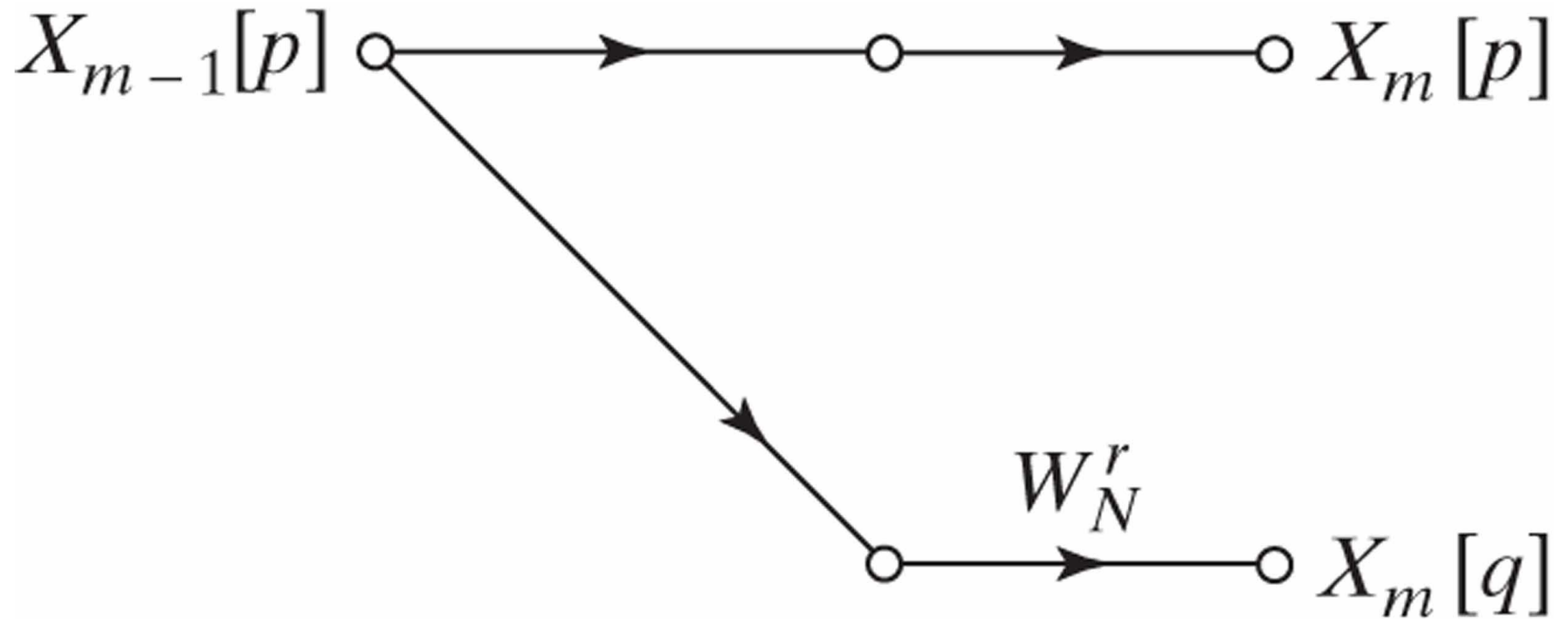




Figure P9.45

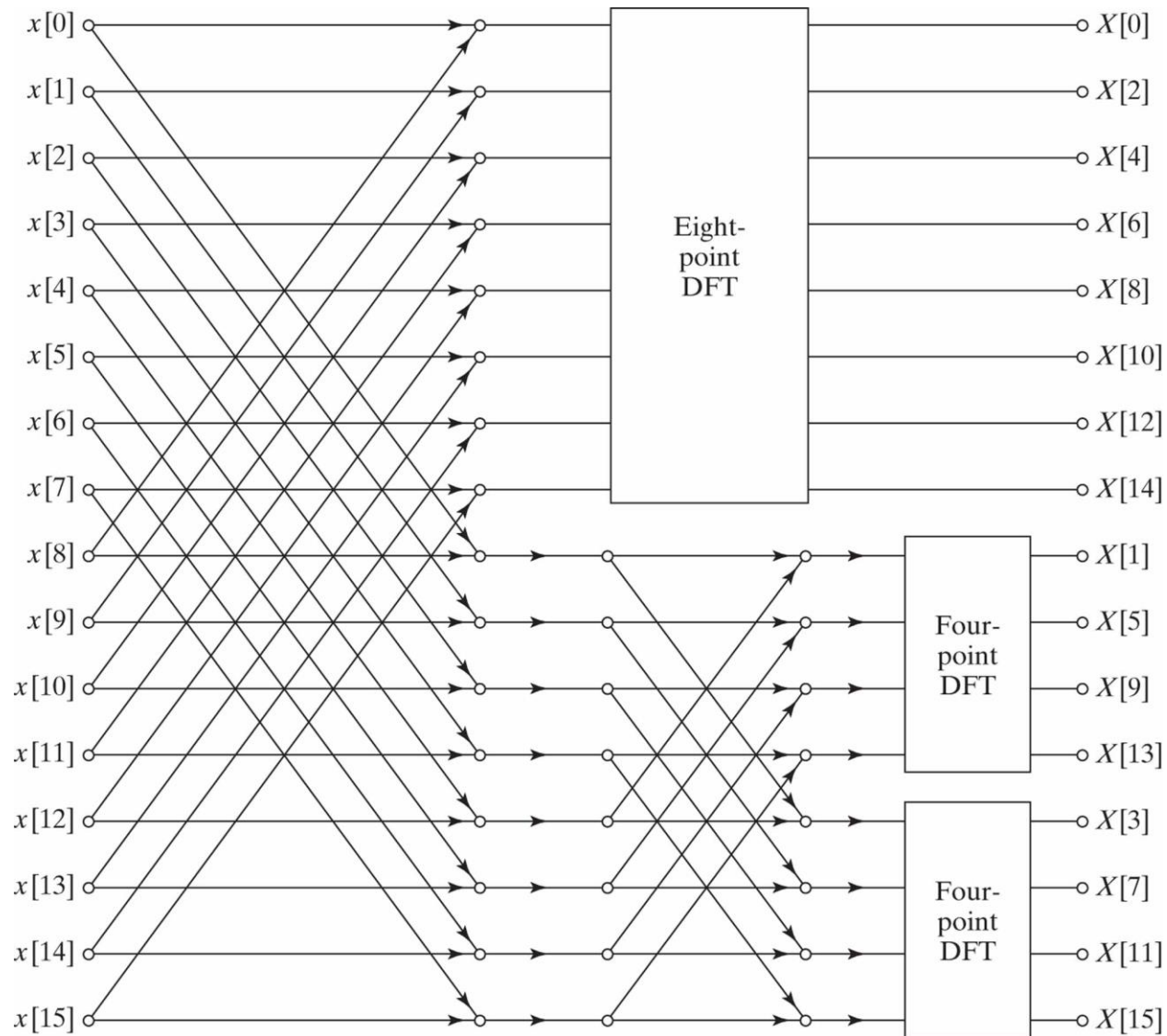


Figure P9.48

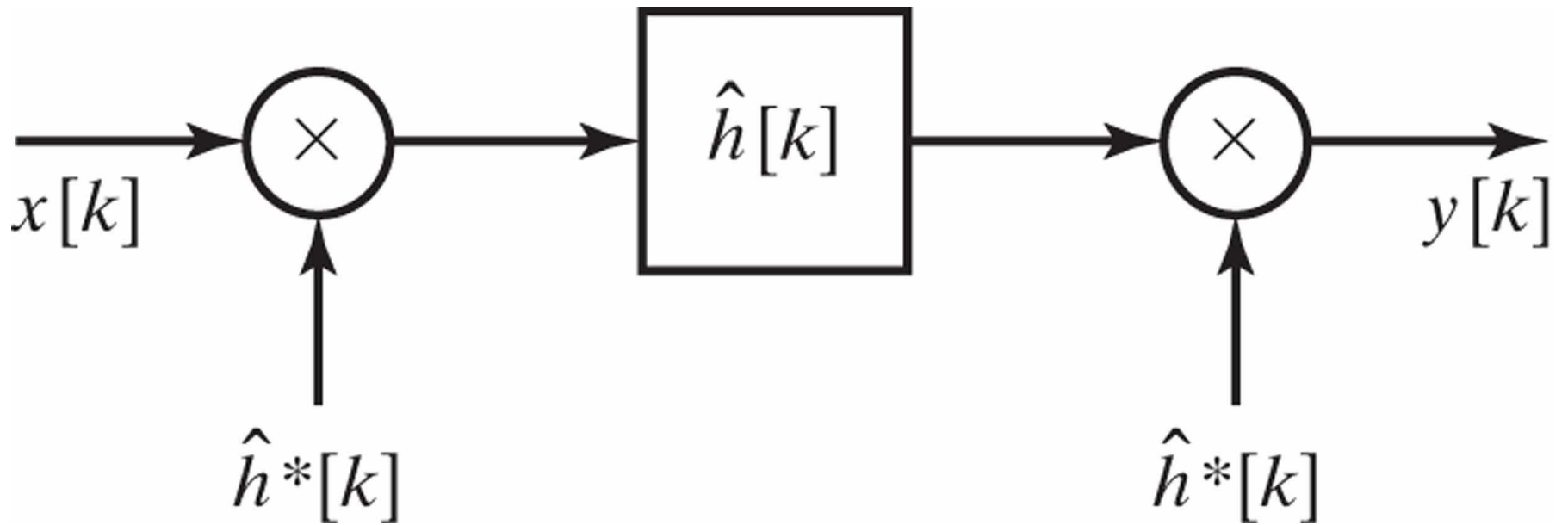


Figure P9.49

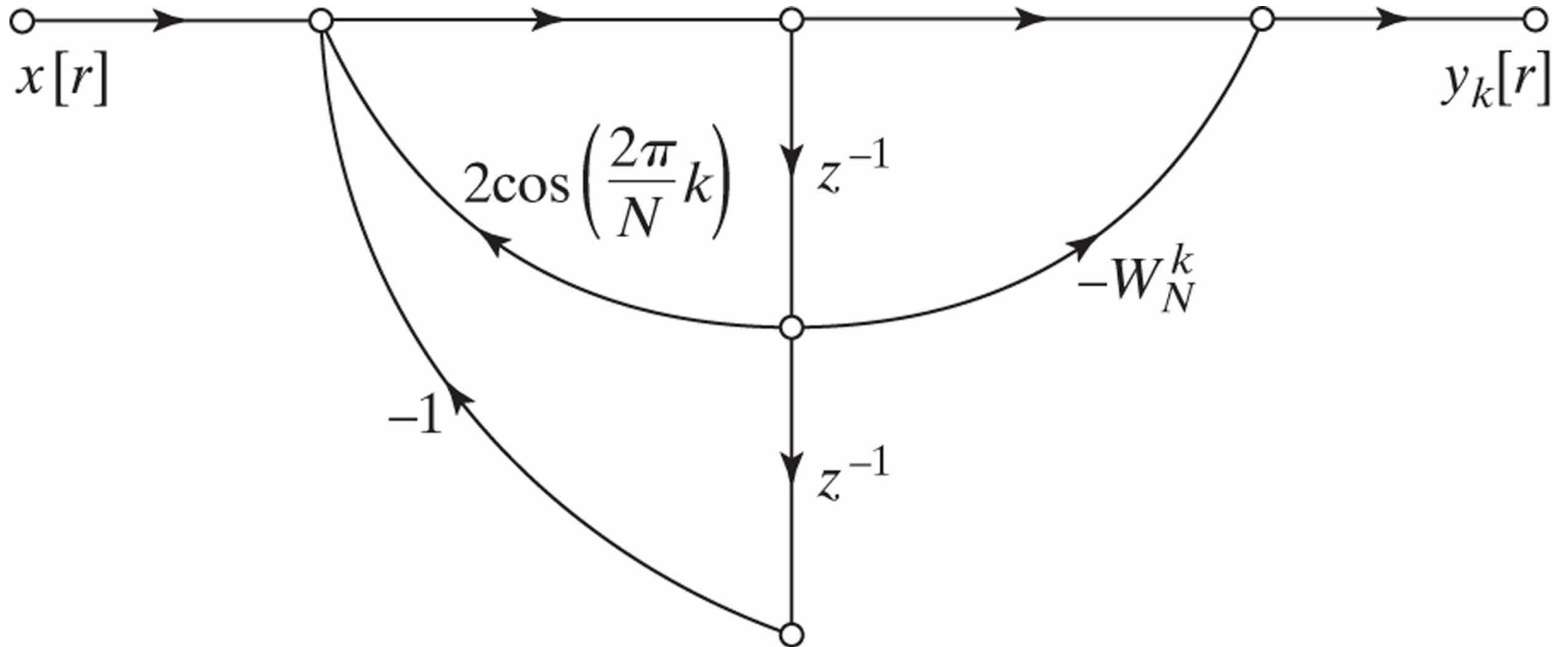


Figure P9.58

